



ใบรับรองวิทยานิพนธ์

บัณฑิตวิทยาลัย สถาบันเทคโนโลยีพระจอมเกล้าฯ พระนครเหนือ

เรื่อง การจัดการทำงานของรีเลอร์ระยะทาง ให้ทำงานสัมพันธ์กัน เพื่อป้องกันสาขส่งที่มีการจ่ายไฟแบบลูปปิดโดยไม่มีระบบสื่อสาร

โดย นายสัตย์ ใจดี

ได้รับอนุมัติให้นับเป็นส่วนหนึ่งของการศึกษาตามหลักสูตร
วิศวกรรมศาสตรมหาบัณฑิต สาขาวิชาศึกกรรมไฟฟ้า

คณบดีบัณฑิตวิทยาลัย

(อาจารย์ ดร.มงคล วงศ์สกิดย์วงศ์)

21 พฤษภาคม 2550

คณะกรรมการสอบวิทยานิพนธ์

ประธานกรรมการ

(อาจารย์ ดร.วิทวัต พ่องญาดิ)

กรรมการ

(อาจารย์ ดร.ธีรชารม บุณยะกุล)

กรรมการ

(อาจารย์ ดร.สมพร สิริสำราญนุกูล)

กรรมการ

(ดร.กันย์ กังวานสาขชาต)

การจัดการทำงานของรีเลอร์ระยะทาง ให้ทำงานสัมพันธ์กันเพื่อบริโภคกันสายส่งที่มีการจ่ายไฟ
แบบลูปปิดโดยไม่มีระบบสื่อสาร

นายสัตยา ใจดุ๊ง

วิทยานิพนธ์นี้เป็นส่วนหนึ่งของการศึกษาตามหลักสูตร
วิศวกรรมศาสตร์มหาบัณฑิต
สาขาวิชาวิศวกรรมไฟฟ้า ภาควิชาวิศวกรรมไฟฟ้า
บัณฑิตวิทยาลัย สถาบันเทคโนโลยีพระจอมเกล้าพระนครเหนือ
ปีการศึกษา 2549
ลิขสิทธิ์ของสถาบันเทคโนโลยีพระจอมเกล้าพระนครเหนือ

ชื่อ	: นายศักดิ์ ใจศุภ
ชื่อวิทยานิพนธ์	: การจัดการทำงานของรีเลย์ระบบทางให้ทำงานสัมพันธ์กันเพื่อป้องกันสายส่งที่มีการจ่ายไฟแบบลูปปิดโดยไม่มีระบบสื่อสาร
สาขาวิชา	: วิศวกรรมไฟฟ้า สถาบันเทคโนโลยีพระจอมเกล้าฯ พระนครเหนือ
ที่ปรึกษาวิทยานิพนธ์	: อาจารย์ ดร. วิภาวดี พ่องษุทธิ์ อาจารย์ ดร. ธีธรรม บุณยะฤทธิ์
ปีการศึกษา	: 2549

บทคัดย่อ

สายส่งกำลังไฟฟ้า (Transmission Line) เป็นสายตัวนำสำหรับส่งพลังงานไฟฟ้าจากระบบผลิตพลังงานไฟฟ้าไปยังสถานีเปลี่ยนแรงดันไฟฟ้า หรือใช้ในการเชื่อมโยงระบบไฟฟ้าจากระบบหนึ่งไปยังอีกระบบทะนึง ในกรณีที่ระบบหนึ่งมีกำลังผลิตไม่เพียงพอ ในปัจจุบันการส่งจ่ายพลังงานไฟฟ้าผ่านสายส่งกำลังไฟฟ้านิยมจ่ายไฟออกเป็น 2 รูปแบบ คือ การจ่ายไฟแบบเรเดียล และการจ่ายไฟแบบลูปปิด

การจ่ายไฟแบบเรเดียล (Radial) การจ่ายไฟแบบนี้ มีข้อดีคือสามารถเข้าใจได้ง่าย ราคาถูก ระบบป้องกันสายส่งสามารถทำได้ด้วยวิธีการจ่ายๆ แต่การจ่ายไฟแบบนี้มีข้อเสียคือ การรักษาระบบแรงดันไฟฟ้าให้คงที่ ทำได้ยาก ความปลดปล่อยในการจ่ายไฟฟ้าต่ำ และการตัดวงจรเมื่อเกิดเหตุการณ์ที่เกิดขึ้นจะต้องตัดวงจรทั้งหมดที่ไม่สามารถทำได้

การจ่ายไฟแบบลูปปิด (Close Loop System) การจ่ายไฟแบบนี้ มีข้อดีคือมีการสำรองของสายส่ง จึงมีความปลดปล่อยของระบบการจ่ายไฟสูงขึ้น มีความแตกต่างของแรงคลื่อนไฟฟ้าในยานอยมากสามารถที่จะทำการตัดวงจรเป็นแบบเลือกตัด ของระบบไฟฟ้าที่เกิดขึ้นที่นี่ได้ และมีข้อเสียคือระบบป้องกันสายส่งมีความซับซ้อน และมีการลงทุนสูง เมื่อระบบป้องกันของสายส่งที่มีการจ่ายไฟแบบลูปปิดนี้ ปกติแล้วจะเป็นระบบป้องกันที่มีระบบสื่อสาร จึงจำเป็นต้องมีการลงทุนในระบบสื่อสารด้วย

แม้ว่าระบบการจ่ายไฟแบบโกลลส์ลูป มีข้อดีในการจ่ายไฟ มากกว่าการจ่ายไฟแบบเรเดียล แต่ มีข้อเสียคือ ระบบการป้องกันค่อนข้างจะซับซ้อน และต้องมีการลงทุนในระบบการป้องกันสูง เพราะฉะนั้นวิทยานิพนธ์นี้ จะนำเสนอรีเลย์ระบบทางที่ใช้ในการป้องกันระบบไฟฟ้าที่มีการจ่ายไฟแบบเรเดียล มาใช้ในการป้องกัน สายส่งที่มีการจ่ายไฟลูปปิด พร้อมทั้งกำหนดค่าการทำงานของรีเลย์ และจัดการทำงานของรีเลย์ให้ทำงานสัมพันธ์กัน โดยทำการทดสอบการทำงานของรีเลย์ด้วย

โปรแกรม PSCAD/EMTDC และศึกษาการทำงานของระบบป้องกันด้วยการจำลองการเกิดฟอลต์ขึ้นในสายส่งทั้งแบบ 1 จุด และ 2 จุดพร้อมกัน ทั้งนี้ได้ทดสอบการทำงานของระบบป้องกันที่ศึกษานี้โดยใช้ระบบสายส่งของ การไฟฟ้าส่วนภูมิภาคช่วงสถานีไฟฟ้าหาดใหญ่ 2, หาดใหญ่ 3, หาดใหญ่ 4 และ อุดร

(วิทยานิพนธ์มีจำนวนทั้งสิ้น 111 หน้า)

คำสำคัญ : รีเลย์ระยะทาง, การจ่ายไฟแบบลูปปิด, การจ่ายไฟแบบเรเดียล

อาจารย์ที่ปรึกษาวิทยานิพนธ์

Name : Mr.Sattaya Jaitui
Thesis Title : Distance Relay Coordination for Close Loop Transmission System Without Communication Channel
Major Field : Electrical Engineering
King Mongkut's Institute of Technology North Bangkok
Thesis Advisors : Dr.Withawas Pongyart
Dr.Teratam Bunyagul
Academic Year : 2006

Abstract

Transmission systems is one part of power system which transfer electrical energy from generating power plants to subsation or from supplying points to receiving points. In general, transmission systems are divied into radial systems configuration and close loop system configuration.

The benefits of radial transmission system compared with close loop transmission system are easier to operate, less investment cost and basic protection system requirement. On the other hand, performance of radial system are less than close loop system in term of service availability, maintenance, faulty line section

Close loop transmission systems can give more reliable service, one faulty line section without outage but normally they need communication system for protective relays which cause big amount of investment cost need to be spent.

Although the close loop transmission system gives best performances but their protection systems are very complicate and cost much money for investment. This thesis presents to apply distance relay which is the common solution for radial system to protect close loop transmission system. Protective relay setting and protection coordination are studied and tested by PSCAD/EMTDC program with 1 point and 2 point simultaneously fault conditions. This concepts are applied and tested with the existing radial system of Provincial Electricity Authority to upgrade by making close loop system for Hat Yai 2 substation, Hat Yai 3 substation, Hat Yai 4 substation and Chalung substation around the city of Hat Yai in south of Thailand.

(Total 111 pages)

Keywords: Distance Relay, Close Loop System, Radial System



Advisor

กิตติกรรมประกาศ

วิทยานิพนธ์ฉบับนี้สำเร็จด้วยค โดยได้รับความช่วยเหลือจากอาจารย์ที่ปรึกษาวิทยานิพนธ์ทั้งสองท่าน คือ อาจารย์ ดร. วิภาวดี พ่องญาติ และอาจารย์ ดร. ธีรธรรม บุณยะกุล ที่ได้ให้โอกาสและคำปรึกษาในการแก้ไขปัญหาต่างๆ ระหว่างการทำวิจัย จนกระทั่งวิทยานิพนธ์เล่มนี้สำเร็จลงได้ด้วยค และขอขอบพระคุณคุณแม่สังฆาพร ใจดุ๊บ และคุณอาภัลยา ใจดุ๊บ คุณย่าแก้ว ที่เคยเดียงดูข้าพเจ้ามาตั้งแต่หัวเป็นเด็ก และเคยเป็นกำลังใจให้เสมอมา รวมทั้งให้การสนับสนุนในด้านต่างๆ ในการทำวิทยานิพนธ์ฉบับนี้

ขอขอบคุณ ท่านผู้อำนวยการกองอุปกรณ์ป้องกัน และรีเลย์ คุณณรงค์ ตันติราษฎร์ ที่ให้การสนับสนุนในด้านการศึกษาของข้าพเจ้าเป็นอย่างดี รวมทั้งพี่ๆ น้องๆ ทุกคนที่กองอุปกรณ์ป้องกัน และรีเลย์ กองมาตรฐานความปลอดภัย ที่เคยเป็นกำลังใจให้เสมอมา และถ้าไม่สามารถทุกข์สุดแคบ ระหว่างการทำวิทยานิพนธ์ รวมทั้งคุณชนะเดช เกาะแก้ว ที่เคยสนับสนุนเรื่องข้อมูลต่างๆด้วยค

สุดท้ายนี้ผู้เขียนขอขอบคุณเพื่อนๆ ทุกท่านที่ร่วมทุกๆ ร่วมสุข และทำให้รู้จักการทำงานเป็นกลุ่ม ซึ่งเป็นส่วนสำคัญในการใช้ชีวิตร่วมกับคนอื่นในสังคม และสำคัญที่สุดบุคคลที่ขาดไม่ได้คือ คุณสุชาสินี พูลพิพัฒน์ ผู้ที่ชุกประกายความคิดให้ข้าพเจ้าต้องศึกษาในระดับบัณฑิตศึกษา แม้ว่าบางสิ่งที่อยู่ในใจยังไม่ได้นอกออกไปก็ตาม

ท้ายที่สุดนี้ ข้าพเจ้าขอสัญญาว่าจะได้นำความรู้ และประสบการณ์ที่ได้รับในครั้งนี้ ไปใช้ให้เกิดประโยชน์ต่อหัวส่วนตัว สังคม และต่อประเทศชาติของเราต่อไป

ลัตยา ใจดุ๊บ

สารบัญ

	หน้า
บทคัดย่อภาษาไทย	๙
บทคัดย่อภาษาอังกฤษ	๑
กิตติกรรมประกาศ	๗
สารบัญตาราง	๘
สารบัญภาพ	๙
บทที่ ๑ บทนำ	๑
1.1 ระบบส่งกำลังไฟฟ้า	๑
1.2 วงจรสมมูลของสายส่งไฟฟ้ากำลัง	๑
1.3 รูปแบบการจ่ายไฟของ การไฟฟ้าส่วนภูมิภาค	๒
1.4 วัสดุประสงค์ของงานวิจัย	๑๑
1.5 ขอบเขตของการวิจัย	๑๑
1.6 ประโยชน์ของการวิจัย	๑๑
บทที่ ๒ รีเลย์ระบบทาง	๑๓
2.1 หลักการทำงานของรีเลย์ระบบทาง	๑๓
2.2 ขอบเขตของการป้องกัน	๑๕
2.3 อาร์-เยกซ์โดยแกรม	๑๖
2.4 ลักษณะการทำงานของรีเลย์	๑๗
2.5 รีเลย์ระบบทางที่ใช้ในการป้องกันสายส่งแบบมีระบบสื่อสาร	๒๗
2.6 รูปแบบการทำงานของรีเลย์ระบบทางที่นิยมนิยมนำมาใช้ในการป้องกัน สายส่งแบบมีระบบสื่อสาร	๒๘
บทที่ ๓ การวัดอินพีเดนซ์ของรีเลย์	๓๓
3.1 ประเภทของฟอลต์ที่เกิดขึ้นบนสายส่ง	๓๓
3.2 การป้องกันสายส่งเมื่อเกิดฟอลต์ทางด้านไฟฟ้า	๓๓
3.3 การป้องกันสายส่งเมื่อเกิดฟอลต์ทางด้านกราวด์	๓๘
3.4 อัมคyorร์ช	๔๔
3.5 โอลเวอร์ร์ช	๔๔
3.6 ผลของความต้านทานของอาร์คที่มีต่อการทำงานของรีเลย์	๔๔
3.7 ผลของไฟที่ป้อนเข้ามาที่มีต่อการทำงานของรีเลย์ระบบทาง	๔๔

สารบัญ (ต่อ)	หน้า
บทที่ 4 การกำหนดค่าการทำงานของรีเลย์ระบบทาง	47
4.1 ระบบสายส่งกำลังไฟฟ้าและระบบไฟฟ้าที่จะทำการศึกษาในงานวิจัย	48
4.2 การกำหนดค่าการทำงานของรีเลย์ระบบทาง	49
4.3 การใช้งานแบบจำลองของรีเลย์ระบบทางในโปรแกรม PSCAD/EMTDC	57
4.4 การกำหนดค่าการทำงานของรีเลย์เบรกเกอร์เฟลเกอร์	62
บทที่ 5 ผลการทดสอบการทำงานของรีเลย์ระบบทาง	63
5.1 การทดสอบการทำงานของรีเลย์ระบบทางเมื่อเกิดฟอลต์ชีนในระบบไฟฟ้า ในกรณีต่างๆ	63
5.2 การทดสอบการทำงานของรีเลย์ระบบทางเมื่อเกิดฟอลต์ชีนในระบบไฟฟ้า เที่ยง 1 ชุด	66
5.3 การทดสอบการทำงานของรีเลย์ระบบทางเมื่อเกิดความผิดพร่องชีนใน ระบบไฟฟ้าพร้อมกัน 2 ชุด	68
5.4 การทดสอบผลของไฟที่ป้อนเข้ามาที่มีต่อการทำงานของรีเลย์ระบบทาง	100
บทที่ 6 สรุปผลการทดสอบและข้อเสนอแนะ	103
6.1 สรุปผลการทดสอบ	103
6.2 ข้อเสนอแนะ	107
เอกสารอ้างอิง	109
ประวัติผู้วิจัย	111

สารบัญตาราง

ตารางที่	หน้า
5-1 เวลาการทำงานของอุปกรณ์ป้องกันของสายส่งช่วงสถานีฯหาดใหญ่ 2- สถานีฯฉลุง	66
5-2 เวลาการทำงานของอุปกรณ์ป้องกันของสายส่งช่วงสถานีฯฉลุง-สถานีฯหาดใหญ่ 3	67
5-3 เวลาการทำงานของอุปกรณ์ป้องกันสายส่งช่วงสถานีฯหาดใหญ่ 3-สถานีฯหาดใหญ่ 4	67
5-4 เวลาการทำงานของอุปกรณ์ป้องกันสายส่งช่วงสถานีฯหาดใหญ่ 4-สถานีฯหาดใหญ่ 2	67
5-5 เวลาการทำงานของอุปกรณ์ป้องกันสายส่ง สถานีฯหาดใหญ่ 2 - สถานีฯฉลุง และ สถานีฯฉลุง – สถานีฯหาดใหญ่ 3 ในกรณีการเกิดฟอลต์ในสายส่งทั้ง 2 พร้อมกันใน กรณีเกิดฟอลต์แบบ 1 เพลสลงคิน	72
5-6 เวลาการทำงานของอุปกรณ์ป้องกันสายส่ง สถานีฯหาดใหญ่ 2 - สถานีฯฉลุงและ สถานีฯฉลุง – สถานีฯหาดใหญ่ 3 ในกรณีการเกิดฟอลต์ในสายส่งทั้ง 2 พร้อมกันใน กรณีเกิดฟอลต์แบบ เพลสกับเพลสลงคิน	73
5-7 เวลาการทำงานของอุปกรณ์ป้องกันสายส่ง สถานีฯหาดใหญ่ 2 - สถานีฯฉลุง และ สถานีฯฉลุง – สถานีฯหาดใหญ่ 3 ในกรณีการเกิดฟอลต์ในสายส่งทั้ง 2 พร้อมกันใน กรณีเกิดฟอลต์แบบ เพลสกับเพลส	73
5-8 เวลาการทำงานของอุปกรณ์ป้องกันสายส่ง สถานีฯหาดใหญ่ 2 – สถานีฯฉลุง และ สถานีฯฉลุง – สถานีฯหาดใหญ่ 3 ในกรณีการเกิดฟอลต์ในสายส่งทั้ง 2 พร้อมกันใน กรณีเกิดฟอลต์แบบ 3 เพลส	73
5-9 เวลาการทำงานของอุปกรณ์ป้องกันสายส่ง สถานีฯหาดใหญ่ 2 - สถานีฯฉลุง และ สถานีฯหาดใหญ่ 3 – สถานีฯหาดใหญ่ 4 ใน กรณีการเกิดฟอลต์ในสายส่ง ทั้ง 2 พร้อมกันแบบ 1 เพลสลงคิน	77
5-10 เวลาการทำงานของอุปกรณ์ป้องกันของสายส่ง สถานีฯหาดใหญ่ 2-สถานีฯฉลุง และ สถานีฯหาดใหญ่ 3 – สถานีฯหาดใหญ่ 4 ใน กรณีการเกิดฟอลต์ในสายส่งทั้ง 2 พร้อมกันแบบ 2 เพลสลงคิน	78
5-11 เวลาการทำงานของอุปกรณ์ป้องกันของสายส่งสถานีฯหาดใหญ่ 2 สถานีฯฉลุง และ สถานีฯหาดใหญ่ 3 – สถานีฯหาดใหญ่ 4 ใน กรณีการเกิดฟอลต์ในสายส่งทั้ง 2 พร้อมกันแบบ 2 เพลส	78

สารบัญตาราง(ต่อ)

สารบัญตาราง(ต่อ)

ตารางที่	หน้า
5-21 เวลาการทำงานของอุปกรณ์ป้องกันสายส่ง สถานีฯฉลุง- สถานีฯหาดใหญ่3 และ สถานีฯหาดใหญ่ 4- สถานีหาดใหญ่ 2 ในกรณีการเกิดไฟอลต์ในสายส่งทั้ง 2 พร้อมกันแบบ 1 เพลสลงคิน	92
5-22 เวลาการทำงานของอุปกรณ์ป้องกันสายส่ง สถานีฯฉลุง - สถานีฯหาดใหญ่3 และ สถานีฯหาดใหญ่ 4 – สถานีหาดใหญ่ 2 ในกรณีการเกิดไฟอลต์ในสายส่งทั้ง 2 พร้อม กันแบบ 2 เพลสลงคิน	93
5-23 เวลาการทำงานของอุปกรณ์ป้องกันสายส่ง สถานีฯฉลุง - สถานีฯหาดใหญ่3 และ สถานีฯหาดใหญ่ 4 - สถานีหาดใหญ่ 2 ในกรณีการเกิดไฟอลต์ในสายส่งทั้ง 2 พร้อม กันแบบ 2 เพลส	93
5-24 เวลาการทำงานของอุปกรณ์ป้องกันสายส่ง สถานีฯฉลุง - สถานีฯหาดใหญ่3 และ สถานีฯหาดใหญ่ 4 – สถานีฯหาดใหญ่ 2 ในกรณีการเกิดไฟอลต์ในสายส่งทั้ง 2 พร้อมกันแบบ 3 เพลส	93
5-25 เวลาการทำงานของอุปกรณ์ป้องกันสายส่งช่วงสถานีฯหาดใหญ่ 3-สถานีฯ หาดใหญ่ 4 และ สถานีฯ หาดใหญ่4 – สถานีฯหาดใหญ่ 2 ในกรณีการเกิดไฟอลต์ ในสายส่งทั้ง 2 พร้อมกันแบบ 1 เพลสลงคิน	97
5-26 เวลาการทำงานของอุปกรณ์ป้องกันสายส่งช่วงสถานีฯ หาดใหญ่ 3-สถานีฯ หาดใหญ่ 4 และ สถานีฯ หาดใหญ่4 – สถานีฯหาดใหญ่ 2 ในกรณีการเกิดไฟอลต์ ในสายส่งทั้ง 2 พร้อมกันแบบ 2 เพลสลงคิน	98
5-27 เวลาการทำงานของอุปกรณ์ป้องกันสายส่งช่วงสถานีฯหาดใหญ่ 3-สถานีฯ หาดใหญ่ 4 และสถานีฯ หาดใหญ่4 – สถานีฯหาดใหญ่ 2 ในกรณีการเกิดไฟอลต์ ในสายส่งทั้ง 2 พร้อมกันแบบ 2 เพลส	98
5-28 เวลาการทำงานของอุปกรณ์ป้องกันสายส่งช่วงสถานีฯ หาดใหญ่3- สถานีฯ หาดใหญ่ 4 และ สถานีฯ หาดใหญ่4 – สถานีฯหาดใหญ่ 2 ในกรณีการเกิดไฟอลต์ใน สายส่งทั้ง 2 พร้อมกันแบบ 3 เพลส	98
5-29 ผลกระทบของการทำงานของรีเลย์สายส่งช่วง สถานีฯหาดใหญ่ 2- สถานีฯฉลุงใน กรณีที่มีแหล่งจ่ายเพิ่มเข้ามาอีก 1 แห่ง	101

สารบัญตาราง(ต่อ)

ตารางที่	หน้า
5-30 ผลการทดสอบการทำงานของรีเล耶สายสั่งช่วง สถานีฯกลุ่ม- สถานีฯหาดใหญ่ 3 ใน กรณีที่มีแหล่งจ่ายเพิ่มเข้ามาอีก 1 แห่ง	101

สารบัญภาค

ภาคที่	หน้า
1-1 วงศ์สมมูลของสายสั่งระยะสั้น	1
1-2 วงศ์สมมูลของสายสั่งระยะกลาง	2
1-3 วงศ์สมมูลของสายสั่งระยะยาว	2
1-4 การจ่ายไฟแบบเรเดียลระหว่าง กฟผ. และ สู้ใช้ไฟ	3
1-5 การจ่ายไฟแบบเรเดียลระหว่าง กฟผ. และ กฟภ. แบบที่ 1	3
1-6 การจ่ายไฟแบบเรเดียลระหว่าง กฟผ. และ กฟภ. แบบที่ 2	3
1-7 การจ่ายไฟแบบเรเดียลระหว่าง กฟผ. และ กฟภ. แบบที่ 3	4
1-8 การจ่ายไฟแบบเรเดียลระหว่าง กฟผ. และ กฟภ. แบบที่ 4	4
1-9 การจ่ายไฟแบบเรเดียลระหว่าง กฟผ. และ กฟภ. แบบที่ 5	5
1-10 การจ่ายไฟแบบเรเดียลระหว่าง กฟผ. และ กฟภ. แบบที่ 6	5
1-11 การจ่ายไฟแบบเรเดียลระหว่าง กฟผ. และ กฟภ. แบบที่ 7	6
1-12 การจ่ายไฟแบบเรเดียลระหว่าง กฟผ. และ กฟภ. แบบที่ 8	6
1-13 การจ่ายไฟแบบเรเดียลระหว่าง กฟผ. และ กฟภ. แบบที่ 9	7
1-14 การจ่ายไฟแบบเรเดียลระหว่าง กฟผ. และ กฟภ. แบบที่ 10	7
1-15 การจ่ายไฟแบบเรเดียลระหว่าง กฟผ. และ กฟภ. แบบที่ 11	8
1-16 การจ่ายไฟแบบเรเดียลระหว่าง กฟผ. และ กฟภ. แบบที่ 12	8
1-17 การจ่ายไฟแบบเรเดียลระหว่าง กฟผ. และ กฟภ. แบบที่ 13	9
1-18 การจ่ายไฟแบบเรเดียลระหว่าง กฟผ. และ กฟภ. แบบที่ 14	9
1-19 การจ่ายไฟแบบถูปีกของ กฟภ.	10
2-1 ตำแหน่งของฟอลต์และตำแหน่งติดตั้งรีเลย์	14
2-2 ข้อมูลของการทำงานของรีเลย์ระยะทาง	14
2-3 การทำงานของรีเลย์ระยะทางแบบคานสมดุล (Balanced Beam)	14
2-4 อาร์-เอ็กซ์โดยแกรม	17
2-5 ลักษณะการทำงานของอินพีเดนซ์รีเลย์	18
2-6 อินพีเดนซ์รีเลย์ที่ใช้งานร่วมกับรีเลย์แบบรู้ทิศทาง	18
2-7 โนมาร์ติลีรีเลย์แบบถัว�หนึ่งขวนำ	19
2-8 โนมาร์ติลีรีเลย์แบบสแตดติก	19

สารบัญภาพ (ต่อ)

ภาพที่	หน้า
2-9 ลักษณะการทำงานของเซลฟ์โพลาไรส์โนห์รีเลย์	20
2-10 ผลของความต้านทานของอาร์คที่มีต่อผลการทำงานของรีเลย์	21
2-11 ลักษณะการทำงานของอพเฟเชทโนห์รีเลย์	22
2-12 ลักษณะการทำงานของเด็นส์รีเลย์	22
2-13 ลักษณะการทำงานของเด็นส์รีเลย์เมื่อใช้งานร่วมกับโนห์รีเลย์	23
2-14 ลักษณะการทำงานของรีแอคแทนซ์รีเลย์	23
2-15 การใช้งาน รีแอคแทนซ์รีเลย์ร่วมกับ โนห์รีเลย์	24
2-16 ลักษณะการทำงานของรีเลย์ระบบทางแบบ ใบลน์เดอร์เดี่ยว	25
2-17 การใช้โนห์รีเลย์กับ ใบลน์เดอร์ในการจำกัดการทำงานของโซนของการป้องกัน	25
2-18 การใช้งาน ใบลน์เดอร์คู่ร่วมกับ โนห์รีเลย์	25
2-19 ลักษณะการทำงานของของความต้องการอัลตร้าโซนิก	26
2-20 หลักการทำงานของความต้องการอัลตร้าโซนิก	26
2-21 ตำแหน่งฟอลต์ที่เกิดขึ้นภายในสายส่ง	28
2-22 ไคร์อันเดอร์ริชชิ่งทรานส์ฟอร์มทริพ	28
2-23 ตำแหน่งฟอลต์ที่เกิดขึ้นในระบบไฟฟ้าที่มีการใช้การป้องกันแบบ ไคร์อันเดอร์ริชชิ่งทรานส์ฟอร์มทริพ	29
2-25 ตำแหน่งฟอลต์ที่เกิดขึ้นในระบบไฟฟ้าที่มีการใช้การป้องกันแบบ เพอร์มิสช์ฟอันเดอร์ริชชิ่งทรานส์ฟอร์มทริพ	29
2-26 เพอร์มิสช์ฟอยเวอร์ริชชิ่งทรานส์ฟอร์มทริพ	31
2-27 ตำแหน่งฟอลต์ที่เกิดขึ้นในระบบไฟฟ้าที่มีการใช้การป้องกันแบบ เพอร์มิสช์ฟอันเดอร์ริชชิ่งทรานส์ฟอร์มทริพ	31
3-1 ระบบไฟฟ้าที่เกิดฟอลต์แบบ 3 เฟส	33
3-2 แรงดันและกระแสของวงจรลำดับบวก (Positive Sequence Network) เมื่อเกิดฟอลต์ แบบ 3 เฟส	34
3-3 ระบบไฟฟ้าที่เกิดฟอลต์แบบ เฟส กับ เฟส	36
3-4 แรงดันและกระแสของวงจรลำดับบวก (Positive Sequence Network) และลำดับลบ (Negative Sequence Network) ของการเกิดฟอลต์แบบ เฟส กับ เฟส	38

สารบัญภาค (ต่อ)

ภาคที่	หน้า
3-6 วงจรล่าดับของการเกิดลักษณะแบบ 1 เฟสลงดิน	39
3-7 การเกิดฟอลต์แบบ 2 เฟสลงดิน	40
3-8 แรงดันและกระแสของวงจรล่าดับบวก (Positive Sequence Network) ล่าดับลบ (Negative Sequence Network) และล่าดับศูนย์ (Zero Sequence Network) ของการเกิดฟอลต์แบบ 2 เฟสลงดิน	41
3-9 การทำงานแบบอันเดอร์ริชของรีเลอร์ระยะทางเนื่องจากเกิดผลผลกระทบของแหล่งกำเนิดไฟแหล่งอื่นเมื่อต่อเข้าระบบ	44
4-1 แผ่นภาพเส้นเดียวของระบบลูปปิด	47
4-2 สภาพการจ่ายไฟที่สถานีไฟฟ้าหาดใหญ่ 2	49
4-3 ทิศทางการไหลของกระแสไฟฟอลต์ผ่านเบรกเกอร์ในทิศทางตามเข็มนาฬิกา	50
4-4 ทิศทางการไหลของกระแสไฟฟอลต์และกระแสโหลดในทิศทางตามเข็มนาฬิกา	50
4-5 ไทน์สเตปป์โดยแกรมของรีเลอร์ระยะทางที่สถานีฯหาดใหญ่ 2 ป้องกันสายส่งช่วงสถานีฯ หาดใหญ่ 2 – สถานีฯฉลุย	51
4-6 ไทน์สเตปป์โดยแกรมของรีเลอร์ระยะทางที่สถานีฯฉลุย ป้องกันสายส่งช่วงสถานีฯ ฉลุย – สถานีฯหาดใหญ่ 3	51
4-7 ไทน์สเตปป์โดยแกรมของรีเลอร์ระยะทางที่สถานีฯหาดใหญ่ 3 ป้องกันสายส่งช่วงสถานีฯหาดใหญ่ 3 – สถานีฯหาดใหญ่ 4	52
4-8 ไทน์สเตปป์โดยแกรมของรีเลอร์ระยะทางที่สถานีฯหาดใหญ่ 4 ป้องกันสายส่งช่วงสถานีฯหาดใหญ่ 4 – สถานีฯหาดใหญ่ 2	53
4-9 การจัดลำดับการทำงานของรีเลอร์ระยะทางที่ดำเนินการต่าง ในทิศทางตามเข็มนาฬิกา เมื่อนำมาใช้ในป้องกันสายส่งที่มีการจ่ายไฟแบบลูปปิด	53
4-10 ทิศทางการไหลของกระแสลักษณะผ่านเซอร์กิตเบรกเกอร์ในทิศทางทวนเข็มนาฬิกาในกรณีที่มีการจ่ายไฟแบบเรเดียล	54
4-11 ทิศทางการไหลของกระแสไฟฟอลต์ในทิศทางทวนเข็มนาฬิกามีพิจารณาการจ่ายไฟเป็นแบบเรเดียล	54
4-12 ไทน์สเตปป์โดยแกรมของรีเลอร์ระยะทางที่ สถานีฯหาดใหญ่ 2 ป้องกันสายส่งช่วงสถานีฯหาดใหญ่ 2 – สถานีฯหาดใหญ่ 4	55

สารบัญภาค (ต่อ)

ภาคที่	หน้า
4-13 แสดงไทม์สเตปไป lokale ของรีเลียร์ระบบทางที่ สถานีฯหาดใหญ่ 4 ป้องกันสายส่งช่วงสถานีฯหาดใหญ่ 4 – สถานีฯหาดใหญ่ 3	55
4-14 ไทม์สเตปไป lokale ของรีเลียร์ระบบทางที่ สถานีฯหาดใหญ่ 3 ป้องกันสายส่งช่วงสถานีฯหาดใหญ่ 3 - สถานีฯฉลุย	56
4-15 ไทม์สเตปไป lokale ของรีเลียร์ระบบทางที่ สถานีฯฉลุย ป้องกันสายส่งช่วง สถานีฯฉลุย – สถานีฯหาดใหญ่ 3	57
4-17 แสดงการจัดลำดับการทำงานของรีเลียร์ระบบทางในตำแหน่งต่างๆ ในทิศทางทวนเข็มนาฬิกาเมื่อนำมาใช้ในป้องกันสายส่งที่มีการจ่ายไฟแบบฉุบปิด	57
4-18 ขั้นตอนการใช้งานโมเดลของรีเลียร์ระบบทางในโปรแกรม PSCAD/EMTDC เพื่อป้องกันฟอลต์ทางค้านเฟส	58
4-18 การใช้งานโมเดลของรีเลียร์ระบบทางในโปรแกรม PSCAD/EMTDC เพื่อใช้ป้องกันฟอลต์ทางค้านเฟส	59
4-19 ขั้นตอนการใช้งานโมเดลของรีเลียร์ระบบทางในโปรแกรม PSCAD/EMTDC เพื่อป้องกันฟอลต์ทางค้านกราวด์	60
4-20 การใช้งานโมเดลของรีเลียร์ระบบทางในโปรแกรม PSCAD/EMTDC เพื่อใช้ป้องกันฟอลต์ทางค้านเฟส	61
4-21 การทำงานของรีเลียร์เบรกเกอร์เฟลเดอร์	62
5-1 การทำงานของรีเลียร์ระบบทาง	63
5-2 ตำแหน่งการเกิดฟอลต์ที่เกิดขึ้นในสายส่ง	64
5-3 ตำแหน่งการเกิดฟอลต์ที่เกิดขึ้นในสายส่งในกรณีที่ 1	64
5-4 ตำแหน่งการเกิดฟอลต์ที่เกิดขึ้นในสายส่งในกรณีที่ 2	65
5-5 ตำแหน่งการเกิดฟอลต์ที่เกิดขึ้นในสายส่งในกรณีที่ 3	65
5-6 สายส่งช่วงต่างๆ ที่จะทำการป้องกัน	66
5-7 ตำแหน่งของการเกิดฟอลต์ในระบบไฟฟ้าพร้อมกัน 2 จุด	68
5-8 การเกิดฟอลต์ขึ้นพร้อมกันในสายส่งช่วง สถานีฯหาดใหญ่ 2 – สถานีฯฉลุย และสายส่งช่วง สถานีฯฉลุย – สถานีฯหาดใหญ่ 3 ในกรณีที่ 1 กรณีที่ 2 และ กรณีที่ 3	69
5-9 การเกิดฟอลต์ขึ้นในสายส่งช่วง สถานีฯหาดใหญ่ 2 – สถานีฯฉลุยในกรณีที่ 1	69

สารบัญภาค (ต่อ)

สารบัญภาค (ต่อ)

ภาคที่		หน้า
5-34 การเกิดฟอลต์ขึ้นในสายส่งช่วง สถานีฯหาดใหญ่ 3 – สถานีฯฉลุงในการณ์ที่ 3		86
5-35 การเกิดฟอลต์ขึ้นในสายส่งช่วงสถานีฯหาดใหญ่ – สถานีฯหาดใหญ่ 4 ในกรณีที่ 3		87
5-26 การเกิดฟอลต์ขึ้นพร้อมกันในสายส่งช่วงสถานีฯฉลุง–สถานีฯหาดใหญ่3 และสายส่งช่วง สถานีฯหาดใหญ่ 4 – สถานีฯหาดใหญ่ 2 ในกรณีที่ 1 กรณีที่ 2 และ กรณีที่ 3		89
5-37 การเกิดฟอลต์ขึ้นในสายส่งช่วง สถานีฯฉลุง – สถานีฯหาดใหญ่3 ในกรณีที่ 1		89
5-38 การเกิดฟอลต์ขึ้นในสายส่งช่วง สถานีฯหาดใหญ่ 4 – สถานีฯหาดใหญ่ 2 ในกรณีที่ 1		90
5-39 การเกิดฟอลต์ขึ้นในสายส่งช่วง สถานีฯฉลุง – สถานีฯหาดใหญ่3 ในกรณีที่ 2		90
5-40 การเกิดฟอลต์ขึ้นในสายส่งช่วง สถานีฯหาดใหญ่ 4 – สถานีฯหาดใหญ่ 2 ในกรณีที่ 2		91
5-41 การเกิดฟอลต์ขึ้นในสายส่งช่วง สถานีฯฉลุง – สถานีฯหาดใหญ่3 ในกรณีที่ 3		91
5-42 การเกิดฟอลต์ขึ้นในสายส่งช่วง สถานีฯหาดใหญ่ 4 – สถานีฯหาดใหญ่ 2 ในกรณีที่ 3		92
5-43 การเกิดฟอลต์ขึ้นพร้อมกันในสายส่งช่วง สถานีฯหาดใหญ่ 3 – สถานีฯ หาดใหญ่ 4 และสายส่งช่วง สถานีฯหาดใหญ่ 4 – สถานีฯหาดใหญ่ 2 ในกรณีที่ 1 กรณีที่ 2 และ กรณีที่ 3		94
5-44 การเกิดฟอลต์ขึ้นในสายส่งช่วงสถานีฯหาดใหญ่ 4 – สถานีฯหาดใหญ่ 2 ในกรณีที่ 1		94
5-45 การเกิดฟอลต์ขึ้นในสายส่งช่วง สถานีฯหาดใหญ่ 3 – สถานีฯ หาดใหญ่ 4 ในกรณีที่ 1		95
5-46 การเกิดฟอลต์ขึ้นในสายส่งช่วงสถานีฯหาดใหญ่ 4 – สถานีฯหาดใหญ่ 2 ในกรณีที่ 2		95
5-47 การเกิดฟอลต์ขึ้นในสายส่งช่วง สถานีฯหาดใหญ่ 3 – สถานีฯ หาดใหญ่ 4 ในกรณีที่ 2		96
5-48 การเกิดฟอลต์ขึ้นในสายส่งช่วงสถานีฯหาดใหญ่ 4 – สถานีฯหาดใหญ่ 2 ในกรณีที่ 3		96
5-49 การเกิดฟอลต์ขึ้นในสายส่งช่วง สถานีฯหาดใหญ่ 3 – สถานีฯ หาดใหญ่ 4 ในกรณีที่ 3		97
5-50 การเกิดความผิดพร่อง 2 จุดขึ้นในระบบไฟฟ้า		99
5-51 สภาพการจ่ายไฟแบบโคลสลูปที่สถานีฯหาดใหญ่ 2 กรณีที่มี สถานีไฟฟ้าของ กฟผ. จ่ายให้กับที่สถานีฯฉลุงอิกแห่งหนึ่ง		100
6-1 การเกิดฟอลต์ไกล์ແหลงผลิตของการจ่ายไฟแบบลูปปีด		104
6-2 เวลาการทำงานของรีเลย์ระยะทาง และรีเลย์กระแสเกินแบบรู้ทึกทาง กรณีที่ยังไม่เพื่นเวลาในการทำงาน		105
6-3 เวลาการการทำงานของรีเลย์ระยะทาง และรีเลย์กระแสเกินแบบรู้ทึกทาง เมื่อเพิ่มเวลาการทำงาน		105

สารบัญภาพ (ต่อ)

ภาพที่

หน้า

6-4 ตำแหน่งของการเกิดฟอลต์ที่เกิดขึ้นบนสายสั่งพร้อมกัน 2 จุด

106

บทที่ 1

ระบบส่งกำลังไฟฟ้า

1.1 ระบบส่งกำลังไฟฟ้า(Transmission System)

สายส่งกำลังไฟฟ้า (Transmission Line) เป็นสายตัวนำสำหรับส่งพลังงานไฟฟ้า มีระดับแรงดันไฟฟ้าตั้งแต่ 69 - 765 กิโลโวลต์ [1] จากระบบผลิตพลังงานไฟฟ้าไปยังสถานีเปลี่ยนแรงดันไฟฟ้า หรือใช้ในการเชื่อมโยงระบบไฟฟ้าจากระบบหนึ่งไปยังอีกระบบหนึ่ง ในกรณีที่ระบบหนึ่งมีกำลังผลิตไม่เพียงพอ โดยสายส่งกำลังไฟฟ้าที่มีระดับแรงดันตั้งแต่ 138 กิโลโวลต์ [1] จนไปเรียกว่าสายส่งกำลังไฟฟ้า (Transmission Line) ส่วนสายส่งที่ส่งพลังงานไฟฟ้าตั้งแต่ 69 – 13 กิโลโวลต์ [1] เรียกสายส่งประเภทนี้ว่า สายส่งกำลังไฟฟ้าข่าย (Subtransmission Line) ซึ่งจะใช้ส่งพลังงานไฟฟ้าจากสถานีไฟฟ้าที่มีระดับแรงดันสูงกว่าไปยังสถานีไฟฟ้าข่าย เพื่อแปลงแรงดันลงเพื่อจ่ายให้กับผู้ใช้ไฟแต่ละประเภท ตามความต้องการ

สายส่งกำลังไฟฟ้าแบ่งออกเป็น 2 ประเภท คือ ระบบส่งกำลังไฟฟ้าเหนือศีรษะ (Overhead Transmission Line) และระบบส่งกำลังไฟฟ้าใต้ดิน (Under Ground Cable System) [1] การเลือกใช้ประเภทใดประเภทหนึ่งนั้น ขึ้นอยู่กับปัจจัยทางประการ เช่น ความปลอดภัย สิ่งแวดล้อม ระบบการป้องกัน และความประหยัด แต่โดยทั่วไปแล้วจะใช้สายส่งเหนือศีรษะ ซึ่งมีราคาต่ำกว่าระบบสายส่งใต้ดินมาก

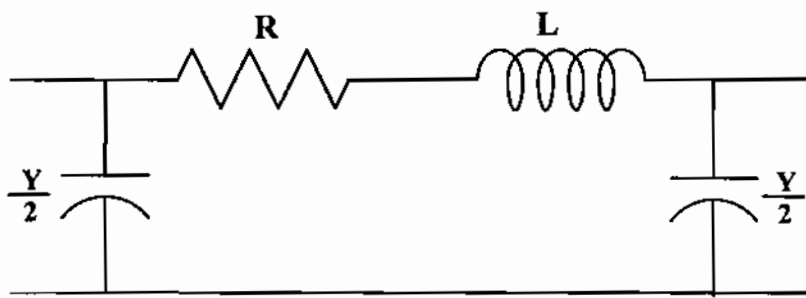
1.2 วงจรสมมูลของสายส่งไฟฟ้ากำลัง

1.2.1 สายส่งระยะสั้น (Short Transmission Line) มีความยาวไม่เกิน 80 กิโลเมตร (50 ไมล์) [2] ภาพวงจรสมมูลของสายส่งระยะสั้นแสดงในภาพที่ 1-1



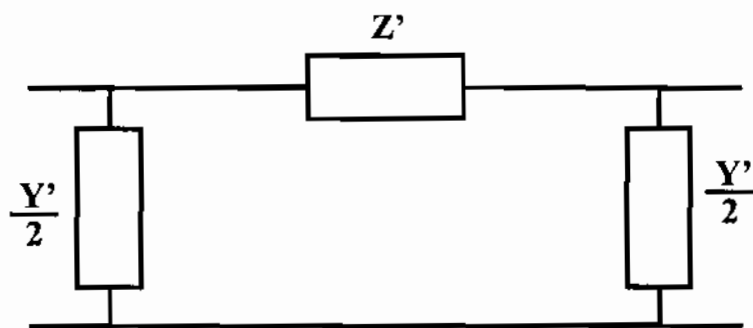
ภาพที่ 1-1 วงจรสมมูลของสายส่งระยะสั้น

1.2.2 สายส่งระยะปานกลาง(Medium Transmission Line) มีความยาวตั้งแต่ 80 – 24 กิโลเมตร [2] (50 – 150 ไมล์) ภาพวงจรสมมูลของสายส่งระยะปานกลางแสดงในภาพที่ 1-2



ภาพที่ 1-2 วงจรสมมูลของสายส่งระยะกลาง

1.2.3 สายส่งระยะยาว (Long Transmission Line) มีความยาวมากกว่า 240 กิโลเมตรขึ้นไป [2]
ภาพวงจรสมมูลของสายส่งระยะยาวแสดงในภาพที่ 1-3



ภาพที่ 1-3 วงจรสมมูลของสายส่งระยะกลาง

1.3 รูปแบบการจ่ายไฟของ การไฟฟ้าส่วนภูมิภาค

1.3.1 สายส่งไฟฟ้าแบบเรเดียล (Radial System) ระบบสายส่งไฟฟ้าแบบเรเดียลนี้คือ ระบบสายส่งที่มีการป้อนกำลังไฟฟ้าเข้าไปในสายส่งเพียงด้านเดียว และมีสาขาแยก โดยส่วนใหญ่แล้วก็ กระจายไปยังแหล่งผู้ใช้ไฟต่างๆ แบบเป็นเส้นกระจาย

ข้อดี

ลักษณะการส่งจ่ายแบบนี้สามารถเดินทางได้ไกล ราคาถูก การป้องกันสายส่งสามารถที่ได้ด้วยวิธีการจ่ายๆ

ข้อเสีย

การรักษาระดับแรงดันไฟฟ้าให้คงที่ทำได้ยาก ความปลอดภัยในการจ่ายไฟฟ้าต่ำ และการตัดวงจรแบบเลือกตัดในตำแหน่งที่เกิดชุดขัดข้องนั้นไม่สามารถทำได้

1.3.1.1 สถานีไฟฟ้าด้านทางของ กฟผ. จ่ายไฟผ่านสายส่งย่อย 115 kV จ่ายให้กับผู้ใช้ไฟ 115 kV.



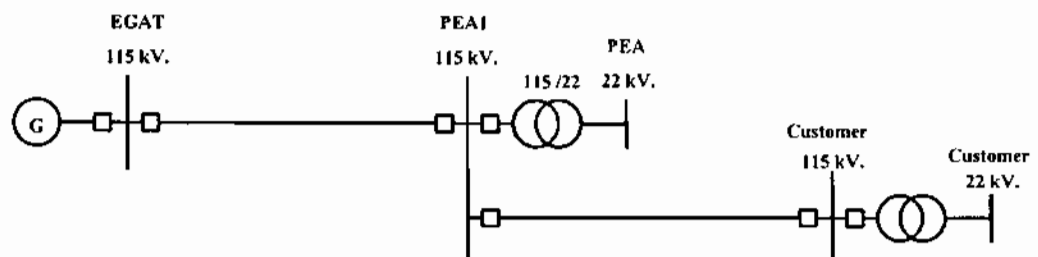
ภาพที่ 1-4 การจ่ายไฟแบบเรเดียลระหว่าง กฟผ. และ ผู้ใช้ไฟ

1.3.1.2 สถานีไฟฟ้าด้านทางของ กฟผ. จ่ายไฟผ่านสายส่งย่อย 115 kV จ่ายให้กับสถานีไฟฟ้าปลายทางของ กฟภ.



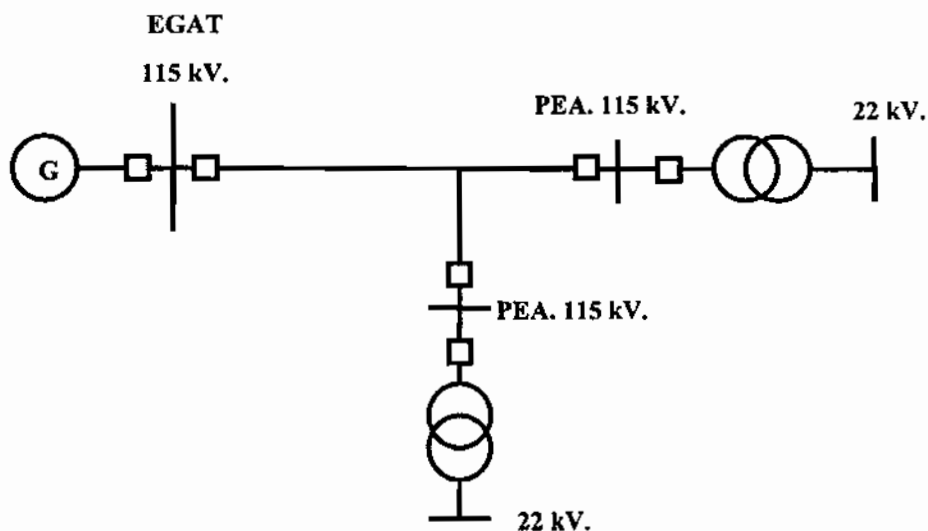
ภาพที่ 1-5 การจ่ายไฟแบบเรเดียลระหว่าง กฟผ. และ กฟภ. แบบที่ 1

1.3.1.3 สถานีไฟฟ้าด้านทางของ กฟผ. จ่ายไฟผ่านสายส่งย่อย 115 kV จ่ายให้กับสถานีไฟฟ้าของ กฟภ. และสถานีไฟฟ้าของ กฟภ. จ่ายให้กับผู้ใช้ไฟ



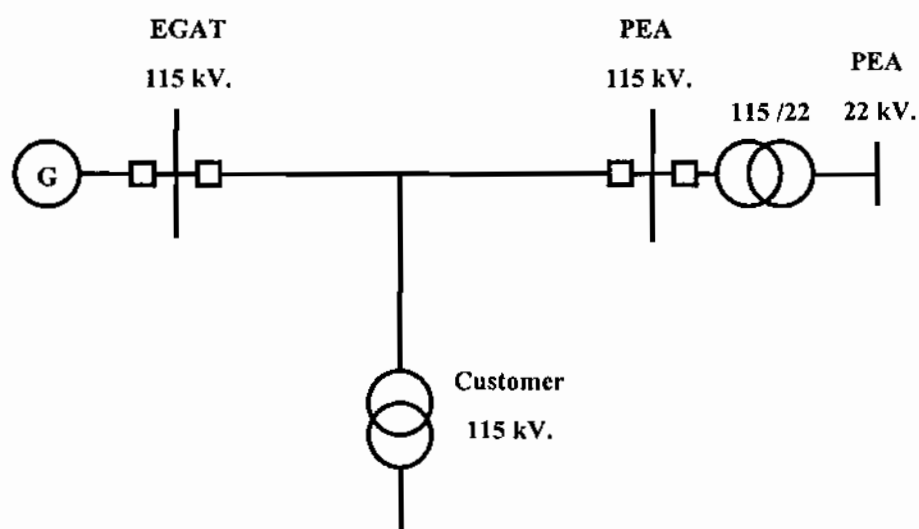
ภาพที่ 1-6 การจ่ายไฟแบบเรเดียลระหว่าง กฟผ. และ กฟภ. แบบที่ 2

1.3.1.4 สถานีไฟฟ้าด้านทางของ กฟผ. จ่ายไฟผ่านสายส่งย่อ 115 kV จ่ายให้กับสถานีไฟฟ้าปลายทางของ กฟภ. และมีสถานีไฟฟ้าของ กฟภ. ต่ออยู่ตรงกลางสายส่ง



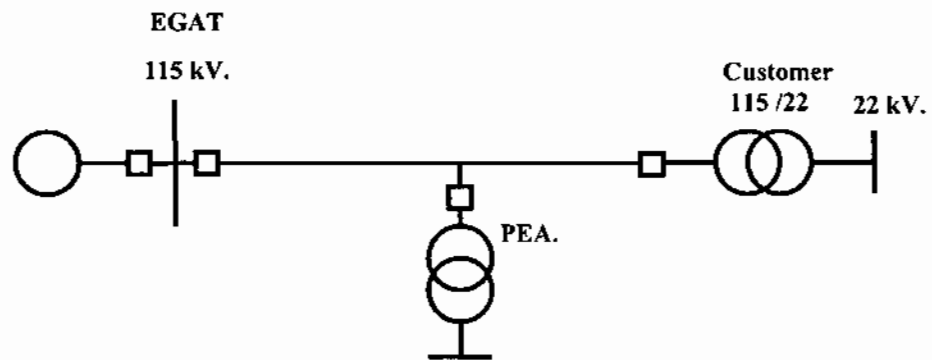
ภาพที่ 1-7 การจ่ายไฟแบบเรเดียลระหว่าง กฟผ. และ กฟภ. แบบที่ 3

1.3.1.5 สถานีไฟฟ้าของ กฟผ. จ่ายไฟผ่านสายส่งย่อ 115 kV จ่ายให้กับ สถานีไฟฟ้าของ กฟภ. โดยที่มีหม้อแปลงของผู้ใช้ไฟต่ออยู่ตรงกลางสายส่ง



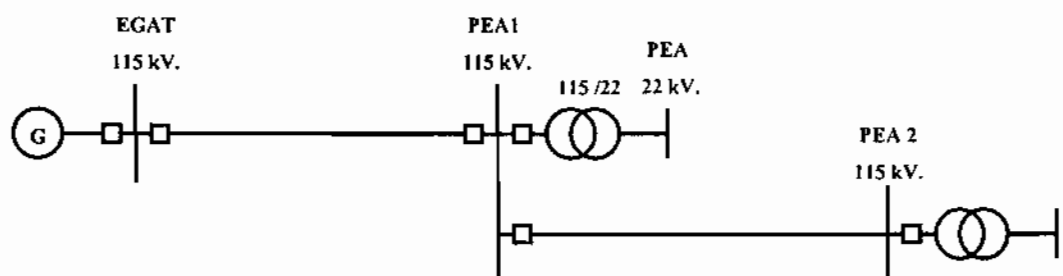
ภาพที่ 1-8 การจ่ายไฟแบบเรเดียลระหว่าง กฟผ. และ กฟภ. แบบที่ 4

1.3.1.6 สถานีไฟฟ้าด้านทางของ กฟผ. จ่ายไฟผ่านสายส่งย่อย 115 kV. จ่ายให้กับผู้ใช้ไฟโดยนี่ สถานีไฟฟ้าของ กฟภ. ต่ออยู่ตรงกลาง



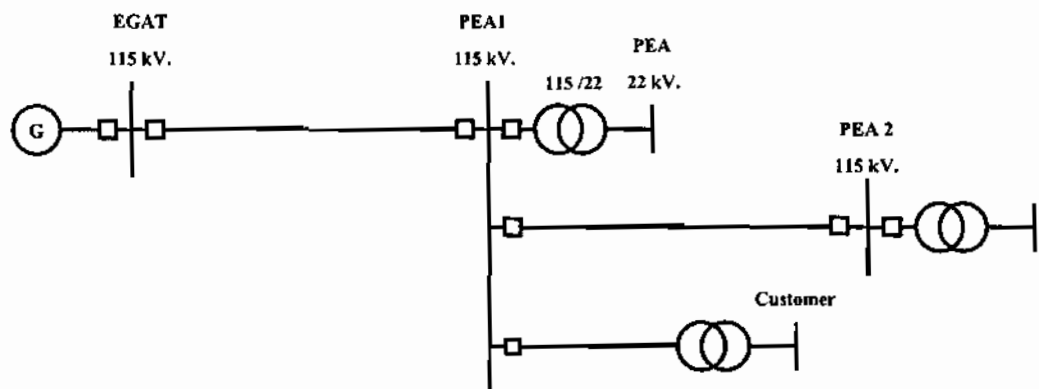
ภาพที่ 1-9 การจ่ายไฟแบบเรเดียลระหว่าง กฟผ. และ กฟภ. แบบที่ 5

1.3.1.7 สถานีไฟฟ้าด้านทางของ กฟผ. จ่ายไฟผ่านสายส่งย่อย 115 kV. จ่ายให้กับสถานีไฟฟ้าของ กฟภ. และ สถานีไฟฟ้าของ กฟภ. จ่ายให้สถานีไฟฟ้าของ กฟภ. อีก 1 สถานี



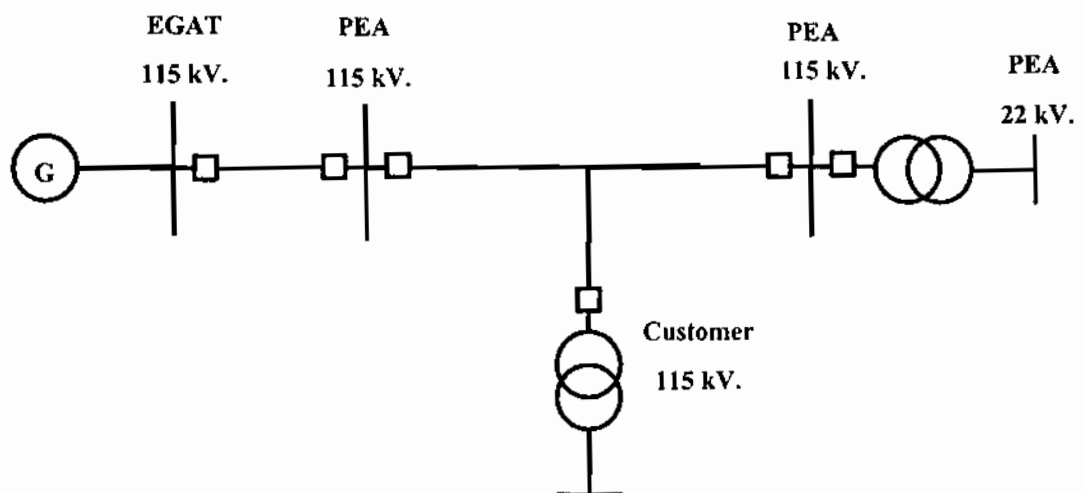
ภาพที่ 1-10 การจ่ายไฟแบบเรเดียลระหว่าง กฟผ. และ กฟภ. แบบที่ 6

1.3.1.8 สถานีไฟฟ้าต้นทางของ กฟผ. จ่ายไฟผ่านสายส่งข่าย 115 kV จ่ายให้กับสถานีไฟฟ้าของ กฟภ. และ สถานีไฟฟ้าของ กฟภ. จ่ายให้สถานีไฟฟ้าของ กฟภ. เชิง และจ่ายให้กับผู้ใช้ไฟ



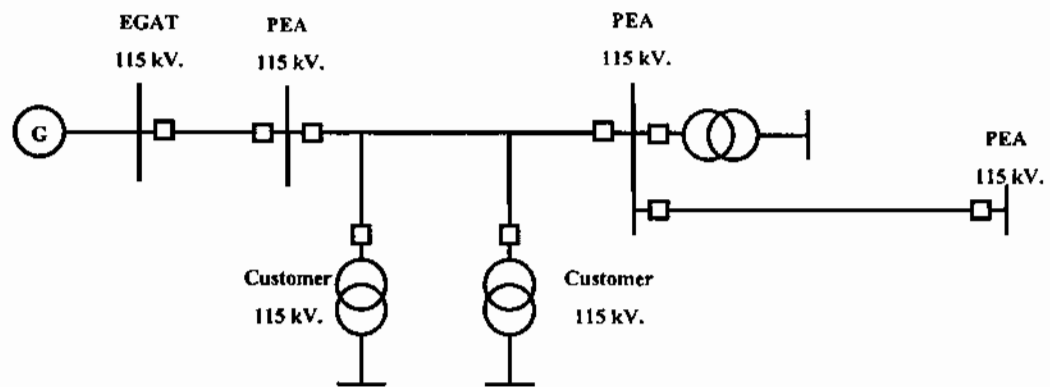
ภาพที่ 1-11 การจ่ายไฟแบบเรเดียลระหว่าง กฟผ. และ กฟภ. แบบที่ 7

1.3.1.9 สถานีไฟฟ้าต้นทางของ กฟผ. จ่ายไฟผ่านสายส่งข่าย 115 kV จ่ายให้กับสถานีไฟฟ้าของ กฟภ. และ สถานีไฟฟ้าของ กฟภ. จ่ายให้สถานีไฟฟ้าของ กฟภ. และนี้ผู้ใช้ไฟต่ออยู่ตรงกลาง เพียงสถานีเดียว ระหว่าง สถานีไฟฟ้าของ กฟภ.



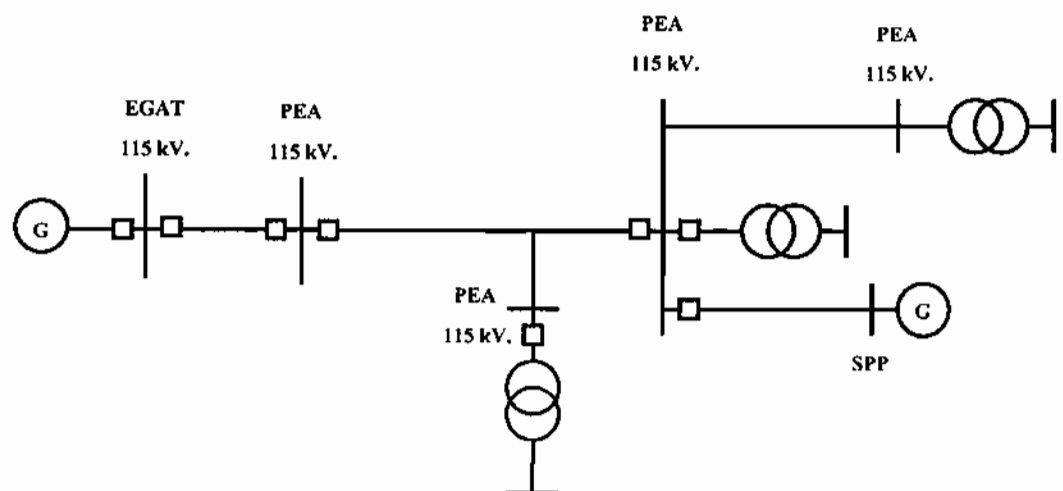
ภาพที่ 1-12 การจ่ายไฟแบบเรเดียลระหว่าง กฟผ. และ กฟภ. แบบที่ 8

1.3.1.10 สถานีไฟฟ้าของ ด้านทาง กฟผ. จ่ายไฟผ่านสายส่งย่อย 115 kV จ่ายให้กับสถานีไฟฟ้าของ กฟภ. และ สถานีไฟฟ้าของ กฟภ. จ่ายให้สถานีไฟฟ้าของ กฟภ. มากกว่า 1 สถานี และมีผู้ใช้ไฟต่ออยู่ตรงกลาง ระหว่าง สถานีไฟฟ้าของ กฟภ. มากกว่า 1 สถานี



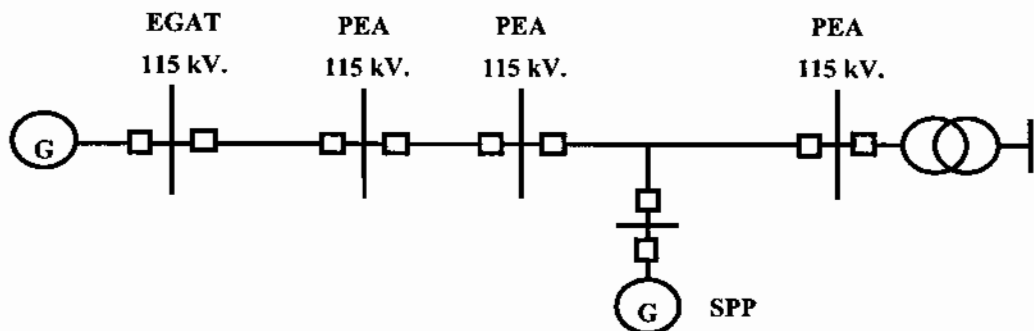
ภาพที่ 1-13 การจ่ายไฟแบบเรเดียลระหว่าง กฟผ. และ กฟภ. แบบที่ 9

1.3.1.11 สถานีไฟฟ้าของ ด้านทาง กฟผ. จ่ายไฟผ่านสายส่งย่อย 115 kV จ่ายให้กับสถานีไฟฟ้าของ กฟภ. และ สถานีไฟฟ้าของ กฟภ. จ่ายให้สถานีไฟฟ้าของ กฟภ. เอง และมีผู้ใช้ไฟต่ออยู่ตรงกลาง ระหว่าง สถานีไฟฟ้าของ กฟภ. และมี โรงจักรไฟฟ้านำคเด็ก ต่ออยู่ที่บัสของ กฟภ.



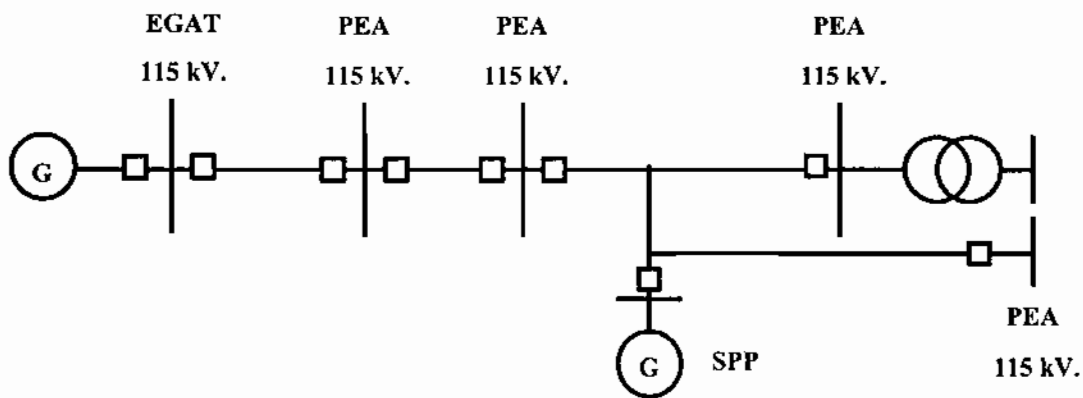
ภาพที่ 1-14 การจ่ายไฟแบบเรเดียลระหว่าง กฟผ. และ กฟภ. แบบที่ 10

1.3.1.12 สถานีไฟฟ้าของ ด้านทาง กฟผ. จ่ายไฟผ่านสายส่งย่อช 115 kV จ่ายให้กับสถานีไฟฟ้าของ กฟภ. และ สถานีไฟฟ้าของ กฟภ. จ่ายให้สถานีไฟฟ้าของ กฟภ. เอง และมีผู้ใช้ไฟต่ออยู่ ตรงกลาง ระหว่าง สถานีไฟฟ้าของ กฟภ. และ มีโรงจักรไฟฟ้าขนาดเล็ก ต่ออยู่ตรงกลางสายส่ง



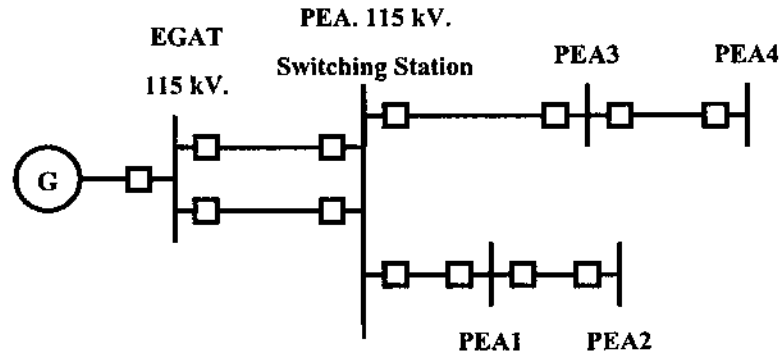
ภาพที่ 1-15 การจ่ายไฟแบบเรเดียลระหว่าง กฟผ. และ กฟภ. แบบที่ 11

1.3.1.13 สถานีไฟฟ้าของ ด้านทาง กฟผ. จ่ายไฟผ่านสายส่งย่อช 115 kV จ่ายให้กับสถานีไฟฟ้าของ กฟภ. และ สถานีไฟฟ้าของ กฟภ. จ่ายให้สถานีไฟฟ้าของ กฟภ. เอง และมีผู้ใช้ไฟต่ออยู่ ตรงกลาง ระหว่าง สถานีไฟฟ้าของ กฟภ. และ มีโรงจักรไฟฟ้าขนาดเล็ก และ มีสถานีของ กฟภ. ต่ออยู่ตรงกลางสายส่ง



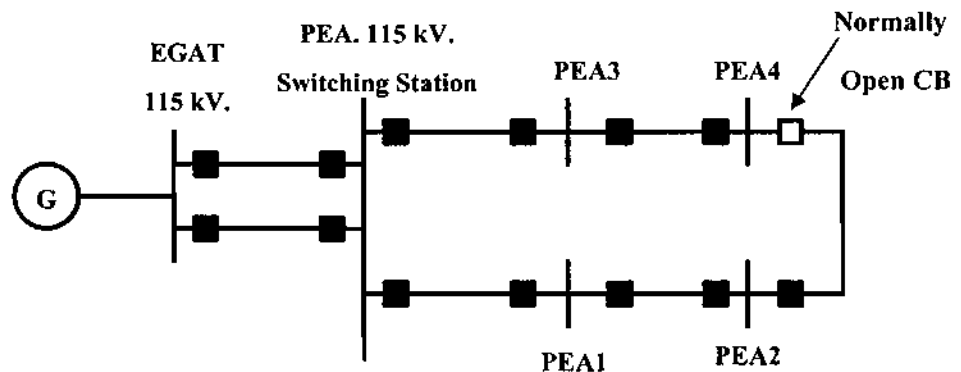
ภาพที่ 1-16 การจ่ายไฟแบบเรเดียลระหว่าง กฟผ. และ กฟภ. แบบที่ 12

1.3.1.14 สถานีไฟฟ้าของ กฟผ. จ่ายไฟผ่านสายส่ง 115 kV จ่ายให้กับสถานีไฟฟ้าของ กฟภ. และ สถานีไฟฟ้าของ กฟภ. จ่ายให้สถานีไฟฟ้าของ กฟภ. มากกว่า 1 สถานี



ภาพที่ 1-17 การจ่ายไฟแบบเรเดียลระหว่าง กฟผ. และ กฟภ. แบบที่ 13

1.3.1.15 สถานีไฟฟ้าของ กฟผ. จ่ายไฟผ่านสายส่ง 115 kV จ่ายให้กับสถานีไฟฟ้าดันทาง ของ กฟภ. และ สถานีไฟฟ้าดันทางของ กฟภ. จ่ายให้สถานีไฟฟ้าปลายทางของ กฟภ. มากกว่า 1 สถานี และ สถานีไฟฟ้าปลายทางของ กฟภ. สามารถที่จะรับไฟจากสถานีไฟฟ้าดันทางเดียวกัน ได้ 2 ทิศทางจาก

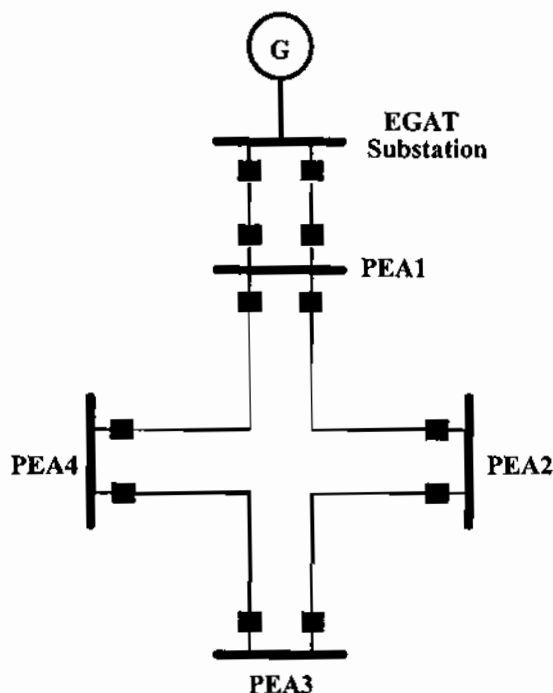


ภาพที่ 1-18 การจ่ายไฟแบบเรเดียลระหว่าง กฟผ. และ กฟภ. แบบที่ 14

1.3.2 สายส่งไฟฟ้าแบบลูปปิด (Close Loop System) ลักษณะของสายส่งแบบนี้จะวงสายส่ง โดยท่านเป็นรูปของวงแหวน โดยที่ต้นของสายส่ง และปลายของสายส่งที่ส่งมาจากการ สถานีไฟฟ้าเดียวกันจะถูกนำมาต่อเข้าด้วยกันเป็นวงกลม หรือวงแหวน สายส่งแบบวงแหวนนี้ในการใช้งาน

ที่แท้จริง บางครั้งจะเป็นความรอกไม่เป็นวงแหวน การทำเช่นนี้ เมื่อเกิดข้อขัดข้องที่ตรงส่วนหนึ่ง ส่วนใดของวงจรก็สามารถจะตัดวงจรส่วนนั้นๆ ออกไป และส่วนของวงจรที่เหลืออยู่ก็สามารถดีที่ จะจ่ายไฟต่อไปได้ตามปกติ

1.3.2.1 สถานีไฟฟ้าของ กฟผ. จ่ายไฟผ่านสายส่ง 115 กิโลโวัลต์ จ่ายให้กับสถานีไฟฟ้า ด้านทางของ กฟภ. และ สถานีไฟฟ้าด้านทางของ กฟภ. จ่ายให้สถานีไฟฟ้าปลายทางของ กฟภ. ใน ลักษณะเป็นโคลสสูป ซึ่งการจ่ายไฟในลักษณะนี้ซึ่งไม่เคยเกิดใน กฟภ. แต่จะจำลองการจ่ายไฟใน ลักษณะนี้ในวิทยานิพนธ์ฉบับนี้



ภาพที่ 1-19 การจ่ายไฟแบบวงแหวนระหว่าง กฟผ. และ กฟภ.

ข้อดี

มีการสำรองสายส่ง มีความปลอดภัยของระบบการจ่ายไฟฟ้าสูงขึ้น มีความแตกต่าง ของแรงเคือนไฟฟ้าน้อยมากสามารถที่จะทำการตัดวงจรเป็นแบบเลือกตัด ของระบบไฟฟ้าที่เกิด ขัดข้อง ขึ้นได้

ข้อเสีย

การจ่ายไฟแบบนี้สามารถทำได้โดยการจ่ายไฟผ่านสถานีไฟฟ้าด้านทางเพียงสถานีเดียว เท่านั้น หากสถานีไฟฟ้าด้านทางเกิดข้อข้องก็จะทำให้เกิดไฟฟ้าดับเป็นบริเวณกว้างได้ นอกจากนี้ ระบบป้องกันสายส่งมีความยุ่งยาก และมีการลงทุนสูง

งานวิจัยนี้จะนำเสนอการป้องกันสายส่งพลังงานไฟฟ้า ที่มีรูปแบบการจ่ายไฟแบบโคลสูป โดยนำรีเลอร์ระยะทางที่ไม่มีระบบสื่อสาร ที่ใช้ในการป้องกันระบบเรเดียล มาใช้เป็นระบบป้องกัน เพื่อลดการลงทุนในระบบป้องกันให้น้อยลง และเพิ่มความมั่นคงในการจ่ายไฟ ให้มากขึ้น

1.4 วัตถุประสงค์ของการวิจัย

งานวิจัยนี้มีวัตถุประสงค์ที่จะศึกษาการทำงานของรีเลอร์ระยะทาง ที่ในการป้องกันสายส่งย่อย 115 กิโลโวลต์ ที่มีการจ่ายไฟแบบเรเดียล เพื่อที่จะพิจารณานำรีเลอร์ชนิดนี้มาประยุกต์ใช้ในการป้องกันสายส่งย่อย 115 กิโลโวลต์ ที่มีการจ่ายไฟแบบลูปปิด ซึ่งการนำรีเลอร์ระยะทางมาใช้ในการป้องกันสายส่งย่อยที่มีการจ่ายไฟแบบลูปปิดนี้ จะทำการป้องกันโดยไม่นำระบบสื่อสารมาใช้งานร่วมกับรีเลอร์ระยะทาง และศึกษาการจัดการทำงานของรีเลอร์ระยะทางให้ทำงานสัมพันธ์กัน พร้อมทั้งศึกษาผลกระทบอื่นๆ ที่มีผลต่อการทำงานของรีเลอร์

1.5 ขอบเขตของการวิจัย

งานวิจัยนี้ได้ศึกษาการทำงานของรีเลอร์ระยะทางที่ใช้ในการป้องกันสายส่งย่อย 115 กิโลโวลต์ ที่มีการจ่ายไฟแบบลูปปิดโดยไม่มีระบบสื่อสาร โดยจะพิจารณาทำการกำหนดค่าการทำงานของรีเลอร์ระยะทางที่ใช้ในการป้องกันสายส่งช่วง สถานีไฟฟ้าหาดใหญ่ 2 (HYB), สถานีไฟฟ้าเจดุง (CLU), สถานีไฟฟ้าหาดใหญ่ 3 (HYC) และสถานีไฟฟ้าหาดใหญ่ 4 (HYD) และทดสอบการทำงานของรีเลอร์โดยการจำลองการเกิดฟอลต์ (Fault) ขึ้นในสายส่งที่ทำการป้องกัน เพื่อศึกษาจัดลำดับของการทำงานของรีเลอร์ หรือเพื่อศึกษาการทำงานของรีเลอร์ว่าทำงานสัมพันธ์กันหรือไม่

1.6 ประโยชน์ของการวิจัย

- 1.6.1 เพื่อศึกษากำหนดค่าการทำงานของอุปกรณ์ป้องกันสายส่ง 115 กิโลโวลต์ที่จะทำการจ่ายไฟแบบโคลสูปโดยไม่มีระบบสื่อสาร
- 1.6.2 เพื่อเพิ่มความมั่นคง และความเชื่อถือได้ในการจ่ายไฟ
- 1.6.3 เพื่อลดการลงทุนในระบบป้องกันให้น้อยลง

บทที่ 2

รีเลย์ระยะทาง

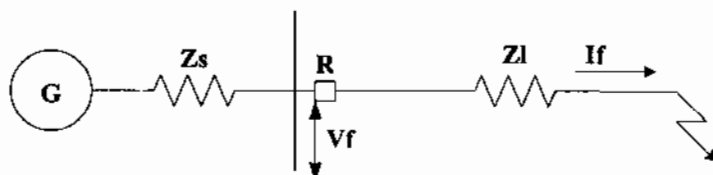
สายส่งกำลังไฟฟ้านิความสำคัญในการส่งจ่ายพลังงานไฟฟ้านาก เนื่องจากปริมาณการใช้ไฟฟานิสกิดเพิ่มสูงขึ้นในทุกๆปี จึงจำเป็นต้องมีการก่อสร้างสายส่งเพิ่มขึ้น เพื่อเชื่อมต่อกับระบบผสัคไฟฟ้าต่างๆ เพื่อทำให้การจ่ายไฟมีความมั่นคง มีความต่อเนื่องในการจ่ายไฟ และมีความเชื่อถือได้สูงขึ้น แต่ปัญหาอย่างหนึ่งของสายส่งที่จะเกิดตามมา เนื่องจากสายส่งกำลังไฟฟ้าเป็นการเชื่อมต่อระบบไฟฟ้านาดใหญ่เข้าด้วยกัน เมื่อเกิดฟอลต์ (Fault) ขึ้นในสายส่ง จะมีกระแสฟอลต์ (Fault Current) จะมีค่าสูงมาก เมื่อฟอลต์อยู่ในระบบไฟฟ้านา จะทำอุปกรณ์ไฟฟ้าเสียหาย ดังนั้นจึงจำเป็นที่จะต้องตัดกระแสฟอลต์ออกจากระบบไฟฟ้าให้เร็วที่สุด

รีเลย์ระยะทางซึ่งเป็นอุปกรณ์ป้องกันชนิดหนึ่งที่นิยมนิยมนำมาใช้ป้องกันสายส่ง เนื่องจากมีความไวในการตรวจจับการเกิดฟอลต์ จึงสามารถตัดกระแสฟอลต์ออกจากระบบไปได้อย่างรวดเร็ว เมื่อเปรียบเทียบกับรีเลย์กระแสเกิน อิกทั้งมีความจําบดีของการกำหนดค่าการทำงาน และจําบดีของการทำงานให้สันพันธ์กัน และมีราคาที่เหมาะสมเมื่อเปรียบเทียบกับการใช้งาน และสามารถใช้งานเป็นระบบป้องกันหลัก (Primary Protection) และระบบป้องกันสำรอง (Backup Protection) ของสายส่งได้

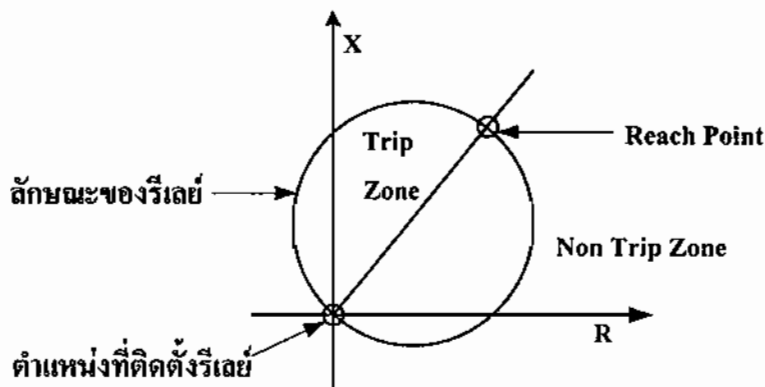
2.1 หลักการทำงานของรีเลย์ระยะทาง (Distance Relay)

หลักการทำงานของรีเลย์ระยะทาง คือการวัดค่าอิมพีเดนซ์ (Impedance) ของสายส่งจากตัวแทนที่ติดตั้งรีเลย์ไปจนถึงตัวแทนที่เกิดฟอลต์ [3] เมื่ออิมพีเดนซ์ที่วัดได้อยู่ในขอบเขตของ การทำงานของรีเลย์ที่กำหนดไว้ รีเลย์ก็จะสั่งให้เซอร์กิตเบรกเกอร์ตัดวงจรกระแสฟอลต์ออกจากระบบไฟฟ้าวัดค่าอิมพีเดนซ์ของรีเลย์ระยะทางนั้น โดยทั่วไปแล้วจะคำนวณจากหลักการง่ายๆคือ อัตราส่วนของแรงดันที่ตกคร่อมค่าอิมพีเดนซ์ ต่อกระแสที่ไหลผ่านค่าอิมพีเดนซ์ เพราะฉะนั้น อิมพีเดนซ์ของสายส่งที่รีเลย์ระยะทางวัดได้ จะเท่ากับอัตราส่วนของแรงดันในตัวแทนที่รีเลย์ติดตั้ง ต่อกระแสที่ไหลผ่านตัวรีเลย์ ค่าที่ได้ออกมาจะเป็นปริมาณสเกล่า (Scalar)

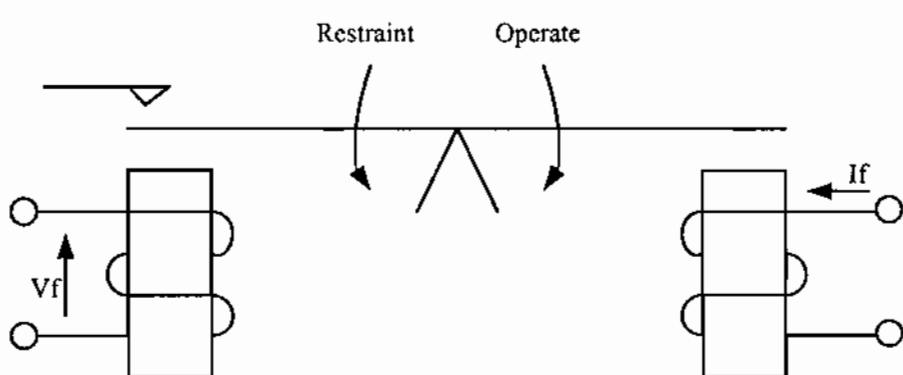
เมื่อฟอลต์เกิดขึ้นในระบบไฟฟ้าโดยคำแนะนำของการเกิดฟอลต์จะแสดงในภาพที่ 2-1 ฟอลต์ที่เกิดขึ้นอยู่ระหว่าง ตำแหน่งที่ติดตั้งรีเลย์ และขอบเขตของการป้องกันดังแสดงในภาพที่ 2-2 รีเลย์จะคำนวณค่าอิมพีเดนซ์ และเปรียบเทียบ กับค่าอิมพีเดนซ์ที่กำหนดไว้ ถ้าอิมพีเดนซ์ที่วัดได้น้อยกว่าค่าที่กำหนดไว้ หรืออยู่ในโซนการทำงานของรีเลย์ รีเลย์ก็จะส่งให้ เชอร์กิตเบรกเกอร์ (Circuit Breaker) เปิดวงจรเพื่อตัดกระแสฟอลต์ ออกจากระบบไฟฟ้า



ภาพที่ 2-1 ตำแหน่งของฟอลต์และตำแหน่งติดตั้งรีเลย์



ภาพที่ 2-2 ขอบเขตของการทำงานของรีเลย์ระบบทาง



ภาพที่ 2-3 การทำงานของรีเลย์ระบบทางแบบคานสมดุล(Balanced Beam)

จากภาพที่ 2-3 แสดงถึงหลักการทำงานของรีเลย์ระบบทางแบบคานสมดุล อย่างง่ายๆคือ การเปรียบเทียบกระแส กับแรงดัน ซึ่งรีเลย์นี้นิยมไปด้วย 2 ข้อดีคือข้อดีของการทำงาน

(Operating Coil) หรือขดลวดกระแส ที่รับกระแสจากหม้อแปลงกระแส อีกขดลวดหนึ่งใช้สำหรับต้านการทำงานของรีเลย์ (Restrant Coil) หรือขดลวดแรงดันที่รับแรงดันมาจากหม้อแปลงแรงดัน และส่วนประกอบอีกอย่างหนึ่งของรีเลย์จะทางชนิดนี้คือ คานสมดุลใช้สำหรับติดตั้งหน้าสัมผัสของรีเลย์ โดยรีเลย์จะทำงานเมื่อหน้าสัมผัสของรีเลย์นี้ปิดวงจร

ในสภาพปกติที่ไม่มีการเกิดฟอลต์ขึ้นในระบบไฟฟ้า แรงดูดของขดลวดต้านการทำงานมีค่าเท่ากับแรงดูดของขดลวดทำงานของรีเลย์ ทำให้คานอยู่ในสภาพสมดุลหน้าสัมผัสของรีเลย์จะเปิดวงจร รีเลย์จึงไม่ทำงาน

เมื่อเกิดฟอลต์ขึ้นในระบบไฟฟ้า ดังแสดงในภาพที่ 2-1 จะมีกระแสฟอลต์ไฟลเข้าขดลวดกระแสเพิ่มขึ้นในขณะที่แรงดันของขดลวดแรงดัน ซึ่งเป็นขดลวดที่ต้านการทำงานของรีเลย์แรงดันจะไม่เพิ่มขึ้น ซึ่งในกรณีนี้ จะทำให้แรงดูดของขดลวดทำงานของรีเลย์ มีมากกว่าแรงดูดของขดลวดต้านการทำงานของรีเลย์ จึงทำให้คานของรีเลย์เกิดการไม่สมดุล ทำให้หน้าสัมผัสของรีเลย์ปิดวงจร รีเลย์จึงทำงาน โดยจะสั่งให้เซอร์กิตเบรกเกอร์ตัดวงจรกระแสฟอลต์ออกจากระบบไฟฟ้า

2.2 ขอบเขตของการป้องกัน (Zone of Protection)

ขอบเขตการป้องกันของรีเลย์ หรือ โซนการป้องกันของรีเลย์นั้น โดยทั่วไปแล้วรีเลย์จะขยายตัวในโซนที่ 3 โซน โดยโซน 1 จะกำหนดให้ทำงานเป็นแบบทันทีทันใจ ส่วนโซนอื่นๆ จะมีเวลาเหลือมล้ากันไป เพื่อแยกแยะการทำงานของรีเลย์ในแต่ละ โซนออกจากกัน

การตั้งค่าการทำงานของโซน 1 ของรีเลย์จะขยายตัวให้ทำงานแบบทันทีทันใจ โดยจะมีขอบเขตของการป้องกันไว้ที่ 80-85 เปอร์เซ็นต์ [3] ของสายส่งที่ป้องกัน ซึ่งสามารถที่ไม่ต้องค่าการทำงานของรีเลย์จะขยายตัวที่ 100 เปอร์เซ็นต์ ของสายส่งเนื่องจากหากเกิดฟอลต์ในบริเวณบนโซนแล้วจะทำให้รีเลย์อาจจะทำงานพร้อมกับรีเลย์ป้องกันตัวอื่นๆ เนื่องจากความผิดพลาดของหม้อแปลงกระแส และ หม้อแปลงแรงดัน และความผิดพลาดของตัวรีเลย์เองเช่นเดียวกัน 20 เปอร์เซ็นต์ของสายส่งไว้เป็นค่า เทพติมาร์จิน (Safety Margin) [3]

การตั้งค่าการทำงานของโซน 2 นี้จะกำหนดให้ทำงานครอบคลุมสายส่งทั้งหมด ที่จะป้องกันซึ่งจะรวมทั้ง 15 – 20 ปอร์เซ็นต์ ที่เหลือจากการป้องกันของโซน 1 บวกกับ 20-50 ปอร์เซ็นต์ ของสายส่งซึ่งตัดไปหรือ 120 ปอร์เซ็นต์ [3] ของสายส่งซึ่งที่มันป้องกันการทำงานของโซน 2 นี้จะเป็นการทำงานแบบหน่วงเวลา เนื่องจากการทำงานของโซน 2 จะมีบางส่วนของขอบเขตการป้องกันทับซ้อนกัน ขอบเขตการป้องกันของโซน 1 ของสถานีที่อยู่ตัดไป หากตั้งค่าให้โซน 2 ทำงานแบบทันทีทันใจแล้ว เมื่อเกิดฟอลต์ขึ้นในสายส่งซึ่งตัดไปที่มีขอบเขตการป้องกันทับซ้อนกันอยู่กับโซน 2 ก็จะทำให้รีเลย์ทำงานพร้อมกันทั้ง 2 ตัวเกิดทำให้เกิดไฟฟ้าดับเป็นบริเวณกว้าง

เพื่อเป็นการแก้ไขเหตุการณ์ที่จะเกิดขึ้นในลักษณะนี้ จึงต้องใช้เวลาในการแยกแยะการทำงานของ 1 และ โชน 2 ออกจากกัน

การตั้งค่าการทำงานของ โชน 3 นอกจากรีเลย์ระบบจะทำงานเป็นระบบป้องกันเมืองดันให้กับสายส่งของที่ตัวมันเองป้องกันแล้ว ยังสามารถทำงานเป็นรีเลย์ป้องกันสำรองให้กับสายส่งที่ตัวมันเองป้องกัน และสายส่งที่อยู่ในช่วงถัดไปด้วย ดังนั้นการตั้งค่าการทำงานของรีเลย์ โชน 3 นี้จะกำหนดค่าการทำงานไว้ที่ 120 เมอร์เซ็นต์ของสายส่งที่ป้องกัน นรากับสายส่งที่ยาวที่สุดของสายส่งในช่วงถัดไป และแยกแยะการทำงานของ โชน 3 ด้วยการหน่วงเวลา

2.3 อาร์-เอ็กซ์ไออะแกรน (R-X Diagram)

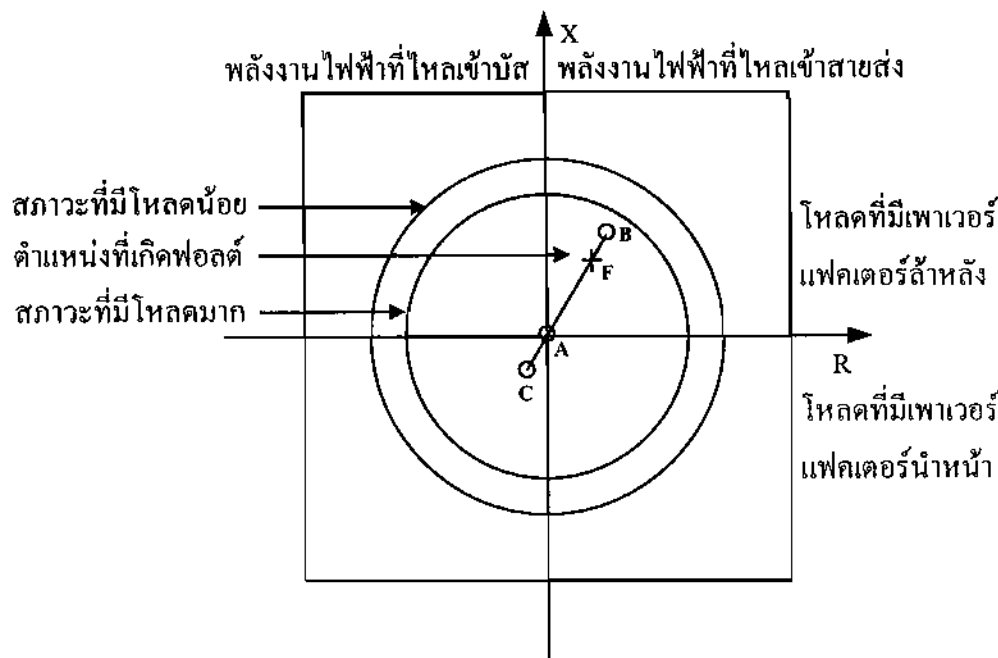
อาร์-เอ็กซ์ไออะแกรน เป็นแผ่นภาพที่ใช้สำหรับแสดงลักษณะการทำงาน หรือขอบเขตการทำงานของ รีเลย์ระบบทาง [4] ซึ่งรีเลย์ระบบนี้จะทำงานโดยการวัดค่าอิมพีเดนซ์จากจุดที่ติดตั้งรีเลย์ไปจนถึงตำแหน่งที่เกิดฟอลต์ แต่เนื่องจาก ฟอลต์ที่เกิดขึ้นในระบบไฟฟ้านี้หลายชนิด และแต่ละชนิดมีพารามิเตอร์ที่แตกต่างกันออกไป เช่น แรงดัน กระแส เพื่อจะนับว่าที่ใดที่จะนำ ทุกค่ามาวิเคราะห์ปัญหา และแสดงให้อยู่ในไออะแกรนเดียวกัน เพื่อเป็นการแก้ปัญหาเหล่านี้ จึงได้นำลักษณะการทำงาน หรือขอบเขตการทำงานของรีเลย์ ซึ่งสามารถแสดงอยู่ในรูปของอิมพีเดนซ์ มาแสดงใน อาร์-เอ็กซ์ไออะแกรน[4] ซึ่งแกนวางจะเป็นค่าของรีแอคแทนซ์ ส่วนแกนเอ็กซ์จะเป็นค่าของรีซิสแทนซ์ สำหรับอิมพีเดนซ์ที่แสดงบนอาร์-เอ็กซ์ไออะแกรนสามารถแสดงได้ทั้ง อิมพีเดนซ์ที่อยู่ในด้านทุกด้าน ไม่ว่าจะเป็นด้านปฐมภูมิ กลางด้านปฐมภูมิ ในกรณีที่อิมพีเดนซ์ที่แสดงอยู่ใน อาร์-เอ็กซ์ไออะแกรน เป็นค่าทางด้าน ทุกด้านของหน้าจอเปล่งแรงดัน และหน้าจอเปล่งกระแส อิมพีเดนซ์ที่ได้จากการเกิดฟอลต์เมื่อนำไปแสดงบนอาร์-เอ็กซ์ไออะแกรนแล้ว จะต้องคุณอัตราสวนของหน้าจอเปล่งกระแส และหน้าจอเปล่งแรงดันเพื่อให้อยู่ในค่าทางด้านทุกด้าน สำหรับพารามิเตอร์ต่างๆ ที่แสดงอยู่ใน อาร์-เอ็กซ์ไออะแกรนนี้ ซึ่งประกอบด้วย สถานี A ซึ่งเป็นจุดติดตั้งรีเลย์ และสถานี B ปลายทางของสายส่ง และจุดเกิดฟอลต์(F) แสดงอยู่ในภาพที่ 2-4 นอกจากนี้ขึ้นแบบพื้นที่ในส่วนต่างๆ ของ อาร์-เอ็กซ์ไออะแกรนออกเป็นส่วนต่างๆ ได้ดังนี้ [4]

บริเวณผิวงานของ อาร์-เอ็กซ์ไออะแกรน คือบริเวณที่มีพลังงานไฟฟ้าไหลเข้าสายส่ง

บริเวณผิงชัยของ อาร์-เอ็กซ์ไออะแกรน คือบริเวณที่มีพลังงานไฟฟ้าไหลเข้าบัส

บริเวณผิงบนของ อาร์-เอ็กซ์ไออะแกรน คือบริเวณที่มีเพาเวอร์เฟลกเตอร์ล้าหลัง

บริเวณผิงล่างของ อาร์-เอ็กซ์ไออะแกรน คือบริเวณที่มีเพาเวอร์เฟลกเตอร์นำหน้า



ภาพที่ 2-4 อาร์-เอ็กซ์ไดอะแกรม

2.4 ลักษณะการทำงานของรีเลย์ระยะทาง (Distance Relay Characteristic)

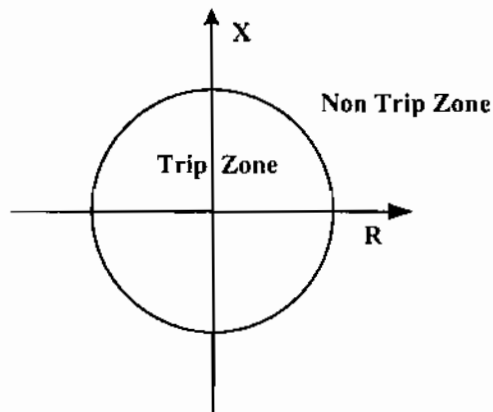
เส้นลักษณะการทำงานของรีเลย์ เป็นเส้นที่แสดงถึงลักษณะการทำงาน และขอบเขตการป้องกันของรีเลย์ระยะทาง โดยจะแสดงใน อาร์-เอ็กซ์ไดอะแกรม (R – X Diagram) เพื่อใช้วิเคราะห์ การทำงานของรีเลย์ และตำแหน่งฟอลต์ที่เกิดขึ้น ซึ่งเส้นลักษณะการทำงานของรีเลย์นี้ จะใช้วิเคราะห์การเกิดฟอลต์ร่วมกับเส้นอิมพีเดนซ์ของสายส่ง เมื่อเกิดฟอลต์ขึ้นในสายส่งและอยู่ใกล้ในโซนของการป้องกันแล้ว รีเลย์จะสั่งให้เซอร์กิตเบรกเกอร์ตัดวงจรกระแสฟอลต์ออกจากระบบไฟฟ้า

เส้นสมบัติลักษณะของรีเลย์ระยะทางที่แสดงบน อาร์-เอ็กซ์ไดอะแกรม จะมีรูปร่าง และหน้าที่การใช้งานแตกต่างกันออกไป ดังต่อไปนี้

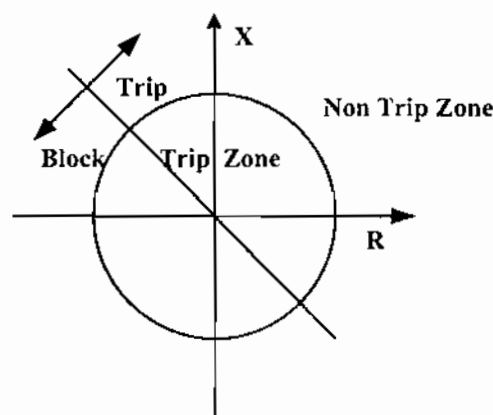
2.4.1 อิมพีเดนซ์เรลaid (Impedance Relay) ลักษณะสมบัติ ของอิมพีเดนซ์เรลaid ที่แสดงอยู่บน อาร์-เอ็กซ์ไดอะแกรม จะแสดงเป็นรูปวงกลม โดยมีจุดศูนย์กลางอยู่ที่จุด ออริจิน (Origin) รัศมีของ วงกลมจะเป็นค่าของขอบเขตของสายส่งที่ป้องกัน [3] ดังแสดงในภาพที่ 2-5 รีเลย์จะทำงานเมื่อ อิมพีเดนซ์ที่รีเลย์วัด ได้อยู่ในวงกลม (Trip Zone) หรือน้อยกว่าอิมพีเดนซ์ที่กำหนดไว้ รีเลย์ชนิดนี้ จึงเป็นการเปรียบเทียบโดยใช้ขนาดเพียงอย่างเดียวเหมือนกับรีเลย์ระยะทางแบบคานสมดุลรีเลย์ที่ แสดงในภาพที่ 2-3

ข้อเสียของอินพีเดนซ์รีเลย์

อินพีเดนซ์รีเลย์เป็นรีเลย์ระยะทางแบบไม่มีทิศทางทำให้ไม่ว่าจะเกิดฟอลต์ในตำแหน่งใด หากอยู่ภายในโซนการป้องกันของรีเลย์แล้ว รีเลย์ก็จะทำงาน ถ้าต้องการให้รีเลย์ทำงานแบบรู้ทิศทาง จะต้องให้รีเลย์ทำงานร่วมกับรีเลย์กำหนดทิศทางนิดอื่นแสดงในภาพที่ 2-6



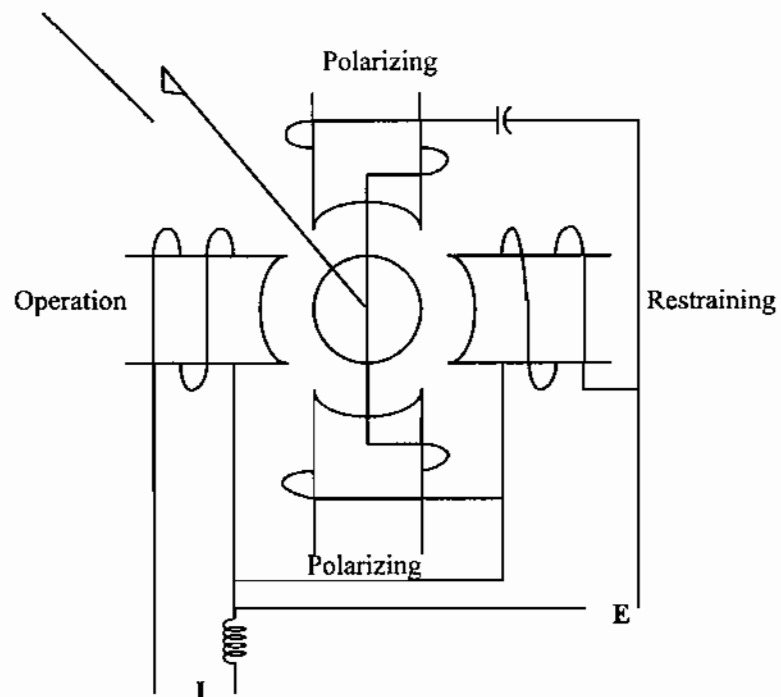
ภาพที่ 2-5 ลักษณะการทำงานของอินพีเดนซ์รีเลย์



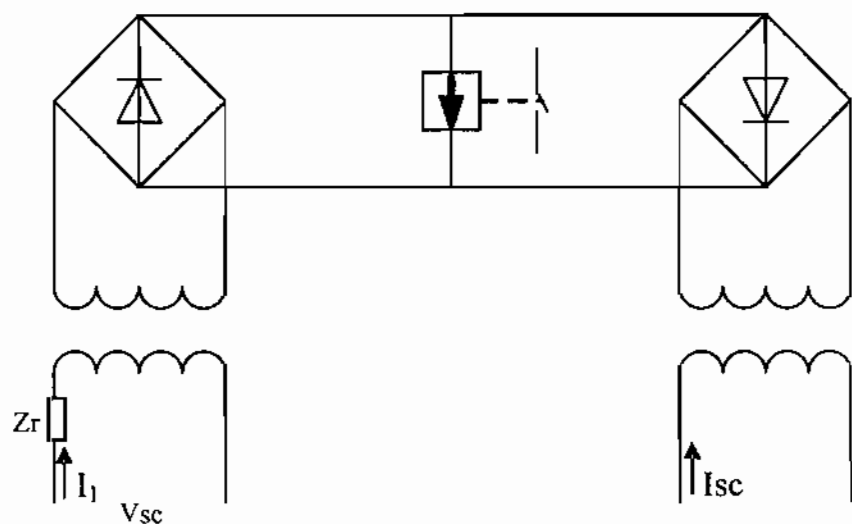
ภาพที่ 2-6 อินพีเดนซ์รีเลย์ที่ใช้งานร่วมกับรีเลย์แบบรู้ทิศทาง

2.4.2 โมห์รีเลย์ (Mho Relay) หรือแอดมิตตันซ์รีเลย์ (Admittance Relay) เป็นอินพีเดนซ์รีเลย์ลักษณะหนึ่งซึ่งการทำงานของรีเลย์นิดนี้คือรีเลย์จะทำงานในลักษณะการเปรียบเทียบมุมเฟสของสัญญาณ 2 สัญญาณ ได้แก่ V (โพลาไรส์โวลต์) และ $V-IZ$ โดยในการเรียกชื่อโมห์รีเลย์จะเรียกว่าตามการใช้แรงดัน (V) คือ เชลฟ์โพลาไรส์โมห์รีเลย์ (Self Polarized Mho Relay) และกรอสโพล่าไรส์โมห์รีเลย์ (Cross Polarize Mho Relay) [5] โดยรีเลย์จะทำงานอยู่ระหว่างมุม $90^\circ \leq \theta \leq 270^\circ$

[6] โครงสร้างของโน้ตต์เรลัยข่ายง่ายๆ ได้แก่ รีเลย์แบบถ้วยเหนี่ยววน้ำ (Induction Cup) [7] ซึ่งเป็น อิเล็กโทรเมติกแนคเกอร์รีเลย์ (Electromagnetic Relay) ซึ่งจะมีลักษณะการทำงานเหมือนกับมอเตอร์ เหนี่ยววน้ำ ดังแสดงในภาพที่ 2-7



ภาพที่ 2-7 โน้ตต์เรลัยแบบถ้วยเหนี่ยววน้ำ



ภาพที่ 2-8 โน้ตต์เรลัยแบบสแตติก

โดยที่

$$I_t \text{ คืออัตราส่วนระหว่าง } \frac{V_{sc}}{Z_r} \quad (2-1)$$

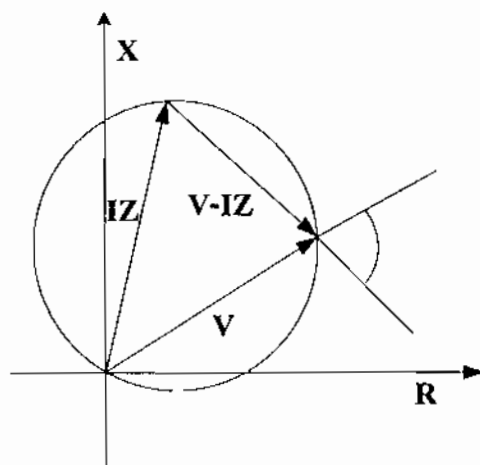
V_{sc} คือแรงดันที่รีเลย์วัดได้ขณะที่เกิดฟอลต์

Z_r คืออัมพีแคนซ์ที่กำหนดไว้

I_{sc} คือ กระแสฟอลต์ที่รีเลย์วัดได้

ภาพที่ 2-8 เป็นสแตติกโนห์รีเลย์แบบง่ายๆ [7] ซึ่งเป็นการเปรียบเทียบสัญญาณของกระแสฟอลต์ กับกับแรงดันที่ดำเนินแห่งติดตั้งรีเลย์ รีเลย์จะทำงานก็ต่อเมื่อ $I_{sc} > I_t$ [7]

เซลฟ์โพลาไรส์โนห์รีเลย์จะใช้แรงดันที่ดำเนินแห่งติดตั้งรีเลย์ในการเปรียบเทียบสัญญาณในขณะที่เกิดฟอลต์ลักษณะการทำงานของ โนห์รีเลย์ที่แสดงบน อาร์-เอ็กซ์-ไอโอแกรมนี้ จะเป็นวงกลม เมื่อมองกับอัมพีแคนซ์รีเลย์ แต่แตกต่างกันที่จะมีเส้นรอบวงผ่านจุดศูนย์จริง แทนที่จะเป็นจุดศูนย์กลางอยู่ที่จุดศูนย์จริง โดยเส้นผ่านศูนย์กลางของวงกลมจะมีขนาดเท่ากับอัมพีแคนซ์ของสายส่งที่จะป้องกัน [3] และแสดงในภาพที่ 2-9

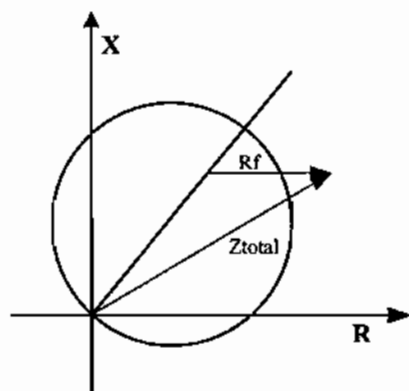


ภาพที่ 2-9 ลักษณะการทำงานของเซลฟ์โพลาไรส์โนห์รีเลย์
โดยที่ V คือ แรงดันขณะที่เกิดฟอลต์ที่วัดได้จากหน้าจอแปลงแรงดัน

I คือ กระแสฟอลต์ที่วัดได้จากหน้าจอแปลงกระแส

Z คือ ค่าอัมพีแคนซ์ที่กำหนดไว้ของรีเลย์ระบบทาง

ครอสโพลาไรส์โนห์รีเลย์ (Cross Polarized Mho Relay) ในกรณีของเซลฟ์โพลาไรส์โนห์รีเลย์เป็นการใช้แรงดันของรีเลย์ ในสายส่งที่เกิดฟอลต์ เป็นสัญญาณในการเปรียบเทียบมุมไฟฟ้าในขณะที่เกิดฟอลต์ แต่ในกรณีที่เกิดฟอลต์ไม่ถูกต้อง คือตั้งรีเลย์ จะทำให้แรงดันที่ตัวรีเลย์วัดได้ลดลงกว่ากับศูนย์ จึงทำให้ไม่สามารถใช้แรงดันในขณะที่เกิดฟอลต์มาเปรียบเทียบสัญญาณได้ เพื่อเป็นการแก้ปัญหานี้จึงได้ใช้แรงดันในสายส่งข้างเคียงมาเปรียบเทียบสัญญาณแทน โดยถ้าใช้ 100 เมอเรียร์ชั่นของแรงดันจะเรียกว่า พูลครอสโพลาไรส์โนห์รีเลย์ และถ้าใช้ 10 – 20 เมอเรียร์ชั่นจะเรียกว่า พาร์เทิลโพลาไรส์โนห์รีเลย์



ภาพที่ 2-10 ผลของความด้านทานของอาร์คที่มีต่อผลการทำงานของรีเลย์

ข้อดีของโนห์รีเลย์

รีเลย์ชนิดนี้เป็นแบบมีพิเศษทางในด้านของจังหวะ เป็นต้องใช้งานร่วมกับรีเลย์ที่รู้พิเศษทางด้านอื่น และมีพื้นที่การทำงานน้อยกว่าอิมพีเดนซ์รีเลย์ จึงทำให้โอกาสในการทำงานผิดพลาดน้อยจากสาเหตุอื่นที่ไม่ใช่ฟอลต์ จึงนิยมมากกว่าอิมพีเดนซ์รีเลย์

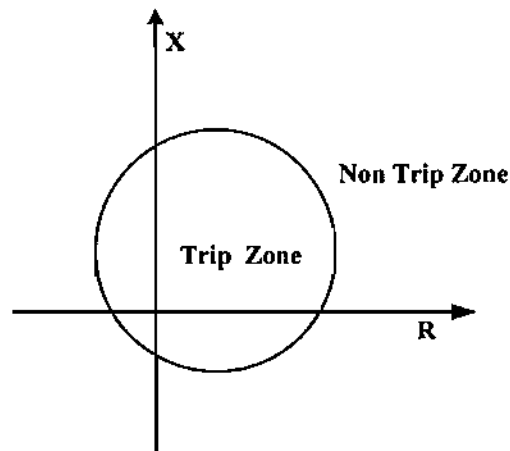
ข้อเสียของโนห์รีเลย์

เมื่อเกิดฟอลต์ในตำแหน่งที่ไม่ถูกต้อง รีเลย์จะทำให้แรงดันเป็นศูนย์ จึงทำให้รีเลย์ทำงานผิดพลาดเนื่องจากไม่มีแรงดันมาเปรียบเทียบสัญญาณ ข้อเสียอีกประการหนึ่งของรีเลย์ชนิดนี้คือ เมื่อเกิดฟอลต์บนริเวณ ปลายสายส่งที่จะป้องกันและเกิดอาร์คขึ้นจะทำให้รีเลย์ทำงานผิดพลาดเนื่องจากรีเลย์ได้รวมผลของความด้านทานของอาร์คเข้าไปด้วยทำให้อิมพีเดนซ์รวมมีค่ามากกว่าความเป็นจริง [8] ดังแสดงใน ภาพที่ 2-11

2.4.3 ออฟเซทโนห์รีเลย์ คุณลักษณะของออฟเซทโนห์รีเลย์จะเหมือนกับ โนห์รีเลย์แต่จะมีการเดือนวงกลมคุณลักษณะลงมาคลุมจุดอริจินเอาไว้ แสดงในภาพที่ 2-12

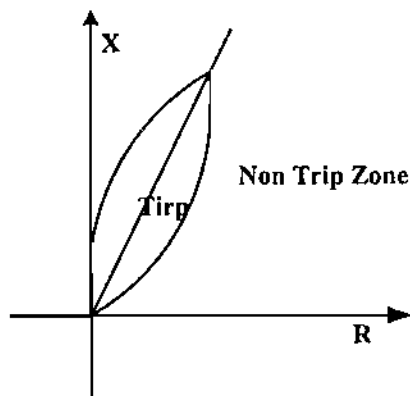
ข้อดีของออฟเซทโนห์รีเลย์

สามารถใช้งานเป็นรีเลย์ป้องกันฟอลต์ที่เกิดด้านหลังดำเนินดิคตั้งห์รีเลย์ และเป็นรีเลย์สำรองในการป้องกันบัญชาร์ [3]



ภาพที่ 2-11 ลักษณะการทำงานของออฟเซทโนห์รีเลย์

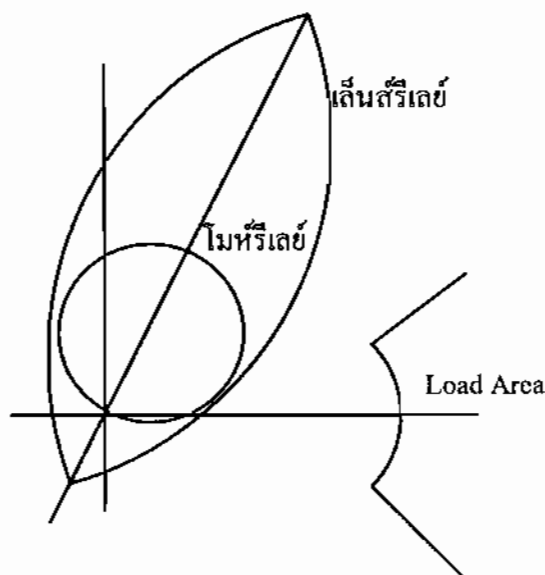
2.4.4 เลี้นส์รีเลย์(Lenticular Relay) เลี้นส์รีเลย์จะมีรูปร่างเหมือนกับเลี้นส์ โดยสามารถแบ่งออกได้เป็นสองส่วน คือ Trip Zone และ Non Trip Zone ตามที่แสดงในภาพที่ 2-10 ปกติแล้วเลี้นส์รีเลย์จะใช้งานร่วมกับ โนห์รีเลย์ในการป้องกันสายสั่ง



ภาพที่ 2-12 ลักษณะการทำงานของเลี้นส์รีเลย์

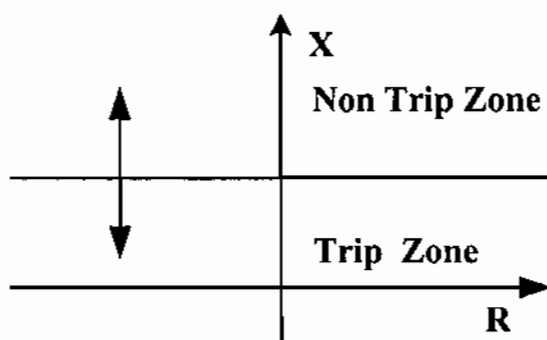
ข้อดีของเลื่อนส์รีเลย์

ใช้ร่วมกับ โนห์รีเลย์ป้องกันสายส่งที่มีความยาวสายส่งมากๆ หรือ ใช้ในการป้องกันสายส่งที่มีโหลดมากๆ [9, 10, 11] โดยจะใช้งานเลื่อนส์รีเลย์เป็น โซน 2 และ โซน 3 เพื่อป้องกันไม่ให้รีเลย์ทำงานผิดพลาด เนื่องจากอินพีเดนซ์ของโหลดเข้ามาอยู่ในโซนของการป้องกัน จากราฟที่ 2-14 ถ้า โซนการป้องกันของ โซน 2 และ โซน 3 เป็นแบบ โนห์รีเลย์ จะทำให้ค่าอินพีเดนซ์ของโหลดเข้ามาอยู่ในโซนของการป้องกันจะทำให้รีเลย์ทำงานด้วยอินพีเดนซ์ของโหลด

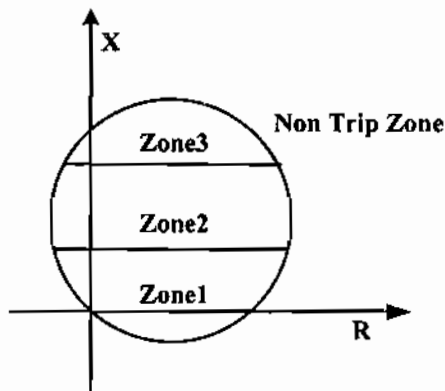


ภาพที่ 2-13 ลักษณะการทำงานของเลื่อนส์รีเลย์เมื่อใช้งานร่วมกับ โนห์รีเลย์

2.4.5 รีแอคเคนช์รีเลย์ (Reactance Relay) เป็นรีเลย์ที่ใช้วัสดุรีแอคเคนซ์ เพียงอย่างเดียว ลักษณะการทำงานของรีแอคเคนช์รีเลย์ที่แสดงบน อาร์ – เอ็กซ์ ไดอะแกรม จะเป็นสื้นตรงตัดแกน วาย ขนาดก้นแกนอีกซึ่งแสดงในภาพที่ 2-15 โดยส่วนมากแล้ว รีแอคเคนช์รีเลย์ จะใช้งานร่วมกับรีเลย์ชนิดอื่นๆ



ภาพที่ 2-14 ลักษณะการทำงานของรีแอคเคนช์รีเลย์



ภาพที่ 2-15 การใช้งาน รีแอคเคนช์รีเลย์ร่วมกับ โนมารีเลย์

ข้อดีของรีแอคเคนช์รีเลย์

ค่าความต้านทานไม่มีผลต่อโซนของการป้องกันของรีเลย์ชนิดนี้ [9]

ข้อเสียของรีแอคเคนช์รีเลย์

ในกรณีที่มีกระแสลัดวงจร โหลดเข้ามากจากปลายทั้งสองของที่มีอัตราส่วนของเอ็กซ์ต่อ อาร์ (X/R) ต่างกันจะทำให้รีเลย์ทำงานผิดพลาด รีเลย์ในตำแหน่งปลายหนึ่งทำงานแบบอันเดอร์ ริช ปลายอีกข้างหนึ่งทำงานเป็นแบบ โอลเวอร์ริช [5]

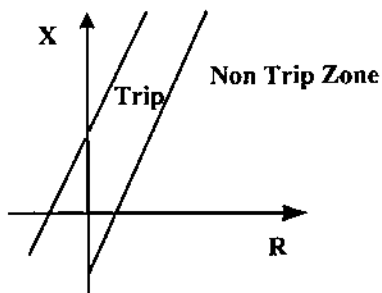
2.4.6 ไบลัน์เดอร์รีเลย์ (Blinder Relay) หรือชิสแตนช์รีเลย์ จะมีสมบัติลักษณะเป็นเป็น เส้นตรง ตัดกับแกน อาร์ โดยส่วนมากแล้วจะนานกว่าของเส้นอินพีเดนซ์ของสายส่ง [9,10] ดัง แสดงในภาพที่ 2-17 ไบลัน์เดอร์รีเลย์ จะแบ่งเป็น 2 ประเภท กือ ไบลัน์เดอร์เดียว (Single Blinder) และ ไบลัน์เดอร์คู่ (Double Blinder) โดยส่วนมากแล้วไบลัน์เดอร์นิยมใช้ร่วมกับรีเลย์ชนิดอื่นๆ เช่น โนมารีเลย์ ควบคู่ริเรหอคลอรีเลย์

ข้อดีของไบลัน์เดอร์รีเลย์

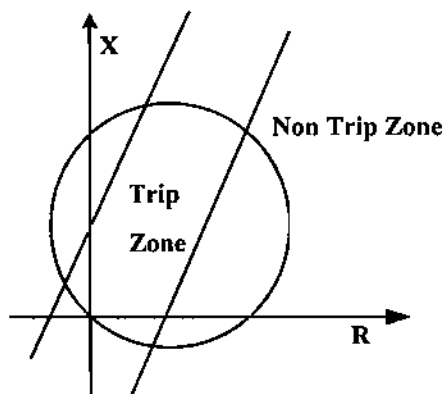
สามารถใช้ในการจำกัดค่าความต้านทานของโซนการป้องกันของรีเลย์ ในกรณีที่ใช้ป้องกัน สายส่งที่มีความยาวมากๆ หรือในพื้นที่ ที่มีโหลดมากๆ [9] จะทำให้โหลดเข้ามาอยู่ในโซนของการ ป้องกันของรีเลย์

ข้อเสียของไบลัน์เดอร์รีเลย์

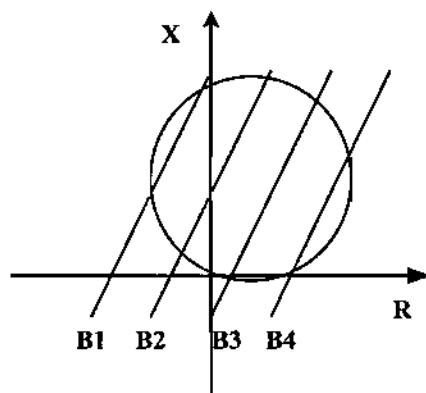
รีเลย์ไบลัน์เดอร์เดียว ไม่สามารถจะบล็อกการทำงานของรีเลย์เมื่อกิจเพาเวอร์สวิงขึ้นใน ระบบไฟฟ้าได้ การแก้ไขสามารถใช้เป็นแบบไบลัน์เดอร์คู่ [9]



ภาพที่ 2-16 ลักษณะการทำงานของรีเลย์ระยะทางแบบ ไบลน์เดอร์เดิ่ง



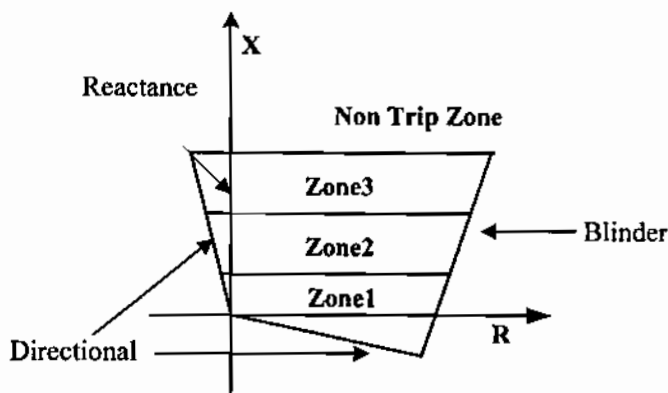
ภาพที่ 2-17 การใช้ ไม้หรีเลย์ กับ ไบลน์เดอร์ ใน การจำกัดการทำงานของโซนของการป้องกัน



ภาพที่ 2-18 การใช้งาน ไบลน์เดอร์คู่ร่วมกับไม้หรีเลย์

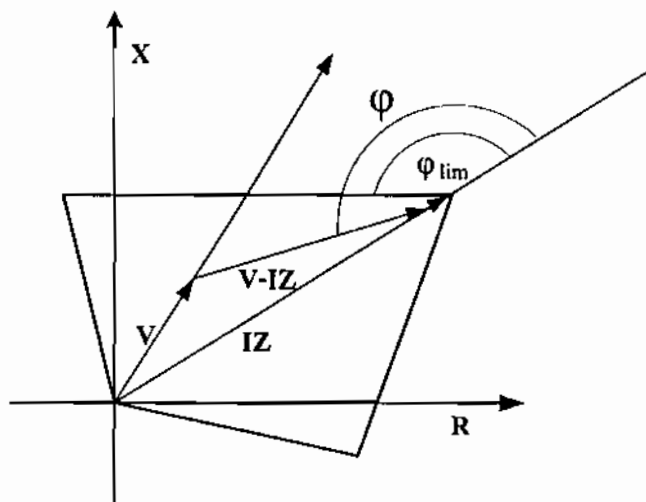
2.4.7 ความคริແಥเทรอລິເລຍ (Quadrilateral Relay) ເປັນຮີເລຍທີ່ມີເສັ້ນສມບັດລັກຜະທີ່ແສດງບັນອາວ-ເຟັກຊື່ໄດ້ອະແກນ ເປັນຮູບສິ່ແຫ້ນຄາງໜູ ຄວາມຄຣິແಥຕ່ເທອຣອລ ນັ້ນຈະປະກອບໄປດ້ວຍ 3 ສ່ວນ ຄືອສ່ວນທີ່ເປັນທີ່ຄາທາງ ສ່ວນທີ່ເປັນ ຮີເຟັກແຕນ໌ ແລະ ສ່ວນທີ່ເປັນໄບລນີເດອර ທີ່ຈຶ່ງ ຄວາມຄຣິແಥຕ່ເທອຣອລ ຮີເລຍທີ່ສ່ວນທີ່ເປັນ ຮີເຟັກແຕນ໌ (ແກນວາຍ) ແລະ ຮີເຈີສແຕນ໌ (ແກນເຟັກຊື່) ຈະເປັນອີສະຕ່ອກັນ [12]

ดังนั้นการเพิ่มค่าความต้านทานของอาร์คเข้าไปในค่ารีซิสแตนซ์ ของค่าการทำงานของรีเลย์ ก็จะไม่ทำให้ค่ารีแอคเคนซ์ เพิ่มขึ้น



ภาพที่ 2-19 ลักษณะการทำงานของความคริແಥเทอรอลรีเลย์

ความคริແಥเทอรอลรีเลย์ เป็นสแตดิกรีเลย์ชนิดหนึ่ง โดยจะมีหลักการทำงานคล้ายกับโน้มรีเลย์คือ จะทำงานโดยการเปรียบเทียบมุมไฟฟ้าของสัญญาณของสัญญาณ 2 สัญญาณ ได้แก่ V (โผลาไวร์สวอลเตช) และ $V-IZ$ โดยรีเลย์จะทำงานเมื่อ $\phi > \phi_{lim}$ [13]



ภาพที่ 2-20 หลักการทำงานของความคริແಥเทอรอล

โดยที่

- V คือ แรงดันไฟฟ้าที่เกิดฟอลต์ที่วัดได้จากหน้าจอปุ่มแรงดัน
- I คือ กระแสไฟฟ้าที่วัดได้จากหน้าจอปุ่มกระแส
- Z คือ ค่าอัมพิเด肯ซ์ที่กำหนดไว้ของรีเลย์ระยะทาง

ข้อดีของความคริແಥເທອຣອຄຣີເລີ່ມ

ຮູບແບບນີ້ສາມາດກຳຫານດໍາການທຳງານຂອງຮູບແບບໄຫ້ກວດຄຸມຄ່າຄວາມຕ້ານຖານຂອງການເກີດອາຮົາໄດ້ນາກກວ່າໃນຮູບແບບໄດ້ບໍ່ໄມ້ທຳໄຫ້ໃຫຍນຂອງການປັບປຸງກັນຂອງຮູບແບບເພີ່ມເຂົ້າ [12] ແລະສາມາດໃຊ້ໃນການປັບປຸງສາຍສ່າງທີ່ເປັນເຄີບເສີດໄດ້ຕື່ [9]

ข้อເສີບຂອງความครີແຖທເທອຣອຄຣີເລີ່ມ

ໃນການປັບປຸງສາຍສ່າງທີ່ເປັນແບບໜານແຮງເຄີຍອິນເນັ້ນຂາງສາຍສ່າງອີກເຕັ້ນທີ່ຈະມີພາທໍາໃຫ້ຮູບແບບທຳງານພຶດພາດ ນອກຈາກນີ້ໃນຮະບບທີ່ສາຍສ່າງມີອິມພີແດນຊື້ໄມ້ເທົ່າກັນ ແລະຫຍວັງສອມພີແດນຊື້ມີຄ່າໄມ້ເທົ່າກັນກີ່ຈະທໍາໃຫ້ຮູບແບບທຳງານພຶດພາດໄດ້ [9]

2.5 ຮູບແບບຮະທາງທີ່ໃຊ້ໃນການປັບປຸງສາຍສ່າງແບບນີ້ຮະບບສື່ສາຮ

ຮູບແບບຮະທາງທີ່ໃຊ້ປັບປຸງສາຍສ່າງນີ້ໂດຍທີ່ໄປແລ້ວໄນ້ສາມາດຈະປັບປຸງໄດ້ກວດຄຸມຄວາມຂາວຂອງສາຍສ່າງໄດ້ທັງໝາດ ຈຶ່ງໂທນ 1 ຂອງຮູບແບບຮະທາງຈະຕັ້ງຄ່າການທຳງານໄວ້ທີ່ 80 ເປົ້ອງເຊັນດົ້ອງຄວາມຍາວສາຍສ່າງ ສ່ວນອີກ 20 ເປົ້ອງເຊັນດົ້ອງຄວາມຍາວສາຍສ່າງທີ່ເຫັນຈະປັບປຸງໄວ້ດ້ວຍໂທນ 2 ຈຶ່ງຈະເປັນການທຳງານຂອງຮູບແບບນີ້ການຫຸ້ນວ່າງເວລາ ເພົ່າຈະນີ້ມີເກີດພົດຕົ້ນກາຍໃນໂທນ 2 ຮູບແບບຮະທາງຈະຫຸ້ນວ່າງເວລາໄວ້ແລ້ວຈຶ່ງຕົວຈະຮຽນແສຟຝອດຕົ້ອກຈາກຮະບບ ບົກດ້ວຍຢ່າງເຫັນເຫັນມີເກີດພົດຕົ້ນໃນສາຍສ່າງ ດັ່ງແສດງໃນກາພທີ່ 2-22 ຈຶ່ງຕໍ່ແນ່ນທີ່ເກີດພົດຕົ້ນຈະອູ້ໃນໂທນ 1 ຂອງຮູບແບບທີ່ສະຕັບນີ້ A ແລະອູ້ໃນໂທນ 2 ຂອງຮູບແບບທີ່ສະຕັບນີ້ B ມີເກີດພົດຕົ້ນກັບຍົນຮູບແບບທີ່ສະຕັບນີ້ A ຈະທຳການໃນການຕັດກະແສຟຝອດຕົ້ອກຈາກຮະບບໄຟຟ້າແບບທັນທຶນໄດ້ດ້ວຍໂທນ 1 ສ່ວນຮູບແບບທີ່ສະຕັບນີ້ B ນັ້ນ ເພື່ອຈາກພົດຕົ້ນທີ່ເກີດບັນຍື່ນຈະອູ້ໃນໂທນ 2 ຮູບແບບທີ່ສະຕັບນີ້ B ຈຶ່ງມີການຫຸ້ນວ່າງເວລາໄວ້ຊ່ວງເວລາທີ່ຈຶ່ງຈະທຳການໂດຍການສ່າງໃຫ້ເຊື່ອຮົກດົກເບຣກເກອຣ໌ຕົວຈະຮຽນແສຟຝອດຕົ້ອກຈາກຮະບບໄຟຟ້າ ຈະເຫັນວ່າໃນການປັບປຸງສາຍສ່າງໂດຍໃຫ້ຮູບແບບຮະທາງໂດຍໄມ້ໃຫ້ຮະບບສື່ສາຮນີ້ຈະມີຂໍອເສີບຄື່ອ ມີພົດຕົ້ນເກີດບັນຍື່ນ ກາຍໃນໂທນ 2 ຂອງຂອງຮູບແບບຮະທາງຈະຫຸ້ນວ່າງເວລາໄວ້ແລ້ວຈຶ່ງທຳການ ເພື່ອເປັນການແກ້ປັບຜູ້ຫານີ້ຈຶ່ງໄດ້ເພີ່ມຂ່ອງທາງການຕິດຕໍ່ອສື່ສາຮເຂົ້າມາໃນຮະບບປັບປຸງ ໂດຍຮັບຮະບບປັບປຸງນີ້ວ່າ ການປັບປຸງສາຍສ່າງແບບນີ້ຮະບບສື່ສາຮ ອີເມວີເກີດບັນຍື່ນຫຸ້ນວ່າການປັບປຸງສາຍສ່າງໄດ້ຮົບທີ່ນໍາຮ່ວມ (Pilot Protection)

ການປັບປຸງສາຍສ່າງໂດຍໃຫ້ຮູບແບບຮະທາງແບບໃຫ້ຮະບບສື່ສາຮນີ້ ມີເກີດພົດຕົ້ນໃນຮະບບໄຟຟ້າ ດັ່ງໃນກາພທີ່ 2-22 ຮູບແບບທີ່ສະຕັບນີ້ A ຈະທຳການໃນການຕັດກະແສຟຝອດຕົ້ອກຈາກຮະບບໄຟຟ້າ ແບບທັນທຶນໄດ້ ໂດຍການສ່າງໃຫ້ເຊື່ອຮົກດົກເບຣກເກອຣ໌ທີ່ສະຕັບນີ້ໄຟຟ້າ A ເປົ້ອງຈະ ພ້ອມກັນສ່າງສັນຍາ ໄປສ້າງໃຫ້ຮູບແບບທີ່ສະຕັບນີ້ B ທຳການໃນການຕັດກະແສຟຝອດຕົ້ອກຈາກຮະບບໄຟຟ້າໄດ້ໄມ້ມີການຫຸ້ນວ່າງເວລາໄວ້ ແມ່ວ່າພົດຕົ້ນຈະເກີດບັນຍື່ນໃນໂທນ 2 ຂອງຮູບແບບທີ່ສະຕັບນີ້ B ກີ່ຕາມ ຂ່ອງທາງການອສື່ສາຮທີ່ນິຍານໃຫ້ໃນການປັບປຸງ ໂດຍທີ່ໄປມີ 5 ວິທີຄື່ອ [14]

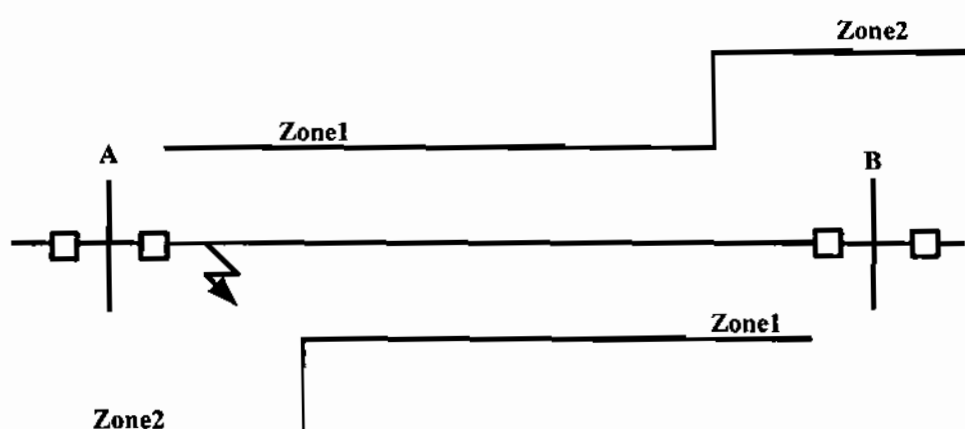
2.5.1 การใช้การสื่อสารโดยใช้สายส่งกำลัง (Power Line Carrier)

2.5.2 การใช้การสื่อสารโดยใช้อดิโอโทน (Audio Tones)

2.5.3 การใช้การสื่อสารโดยใช้ไมโครเวฟ (Microwave)

2.5.4 การใช้การสื่อสารโดยใช้ไฟเบอร์ออปติก (Fiber Optic)

2.5.5 การใช้การสื่อสารโดยใช้ไฟ Rothway (Pilot Wire)

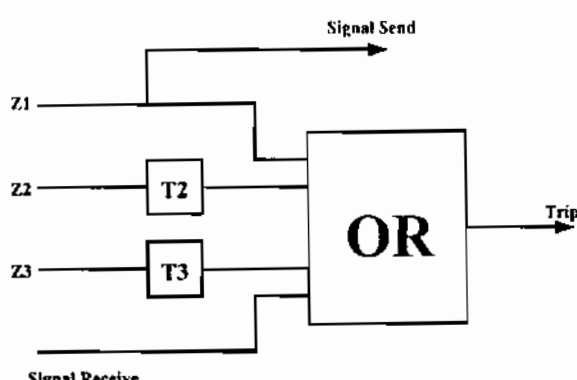


ภาพที่ 2-21 ตำแหน่งฟอล์ตที่เกิดขึ้นภายในสายส่ง

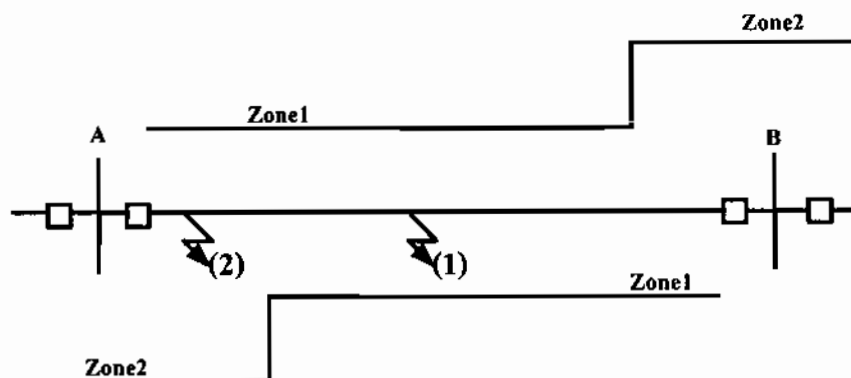
2.6 รูปแบบการทำงานของรีเลย์ระยะทางที่นิยมนำมาใช้ในการป้องกันสายส่งแบบมีระบบสื่อสาร

2.6.1 ไดเร็คอันเดอร์ริชชิ่งทรานส์เฟอร์ทริพ (Direct Under – Reaching Transfer Trip)

การทำงานของรีเลย์ระยะทางในกรณีที่มีระบบสื่อสารแบบนี้เป็นการเพิ่มความเร็วในการทำงาน ฟอล์ตที่เกิดขึ้นในโซน 2 อีกปลายสายส่งหนึ่ง โดยรีเลย์ระยะทางของสถานีไฟฟ้าต้นทางจะส่งสัญญาณไปสั่งให้รีเลย์อีกด้านหนึ่งที่อยู่ด้านตรงกันข้ามของสายส่งให้ทำงานในการตัดวงจรกระแสฟอล์ตออกจากระบบไฟฟ้า [14] โดยแบบแผนการทำงานของไดเร็คอันเดอร์ริชชิ่งทรานส์เฟอร์ทริพ ดังแสดงในภาพที่ 2-23



ภาพที่ 2-22 ไดเร็คอันเดอร์ริชชิ่งทรานส์เฟอร์ทริพ



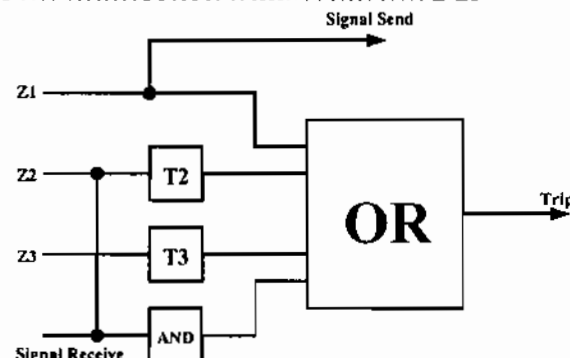
ภาพที่ 2-23 ค่าແහນັ້ງພອດຕີເກີດຈຶ່ງໃນຮະບນໄຟຟ້າທີ່ມີການໃຊ້ການປຶ້ງກັນແບບໄຟເຣັ້ນເຄອຣົຈິ່ງທຽນສີເຟອຣ໌ທຣິພ

ການທ່າງວາງຂອງຮີເລຍ໌ຮະຫາກເມື່ອໃຊ້ການປຶ້ງກັນແບບໄຟເຣັ້ນເຄອຣົຈິ່ງທຽນສີເຟອຣ໌ທຣິພ ເມື່ອເກີດພອດຕີໃນດໍາແහນັ້ງທີ່ 1 ດັ່ງແສດງໃນກາພທີ່ 2-4 ຮີເລຍ໌ທີ່ສຕານີ A ແລະ ສຕານີ B ຈະທ່າງວາງດ້ວຍ ໂຊນ 1 ໃນການຕັດກະແສພອດຕີອອກຈາກຮະບນໄຟຟ້າ

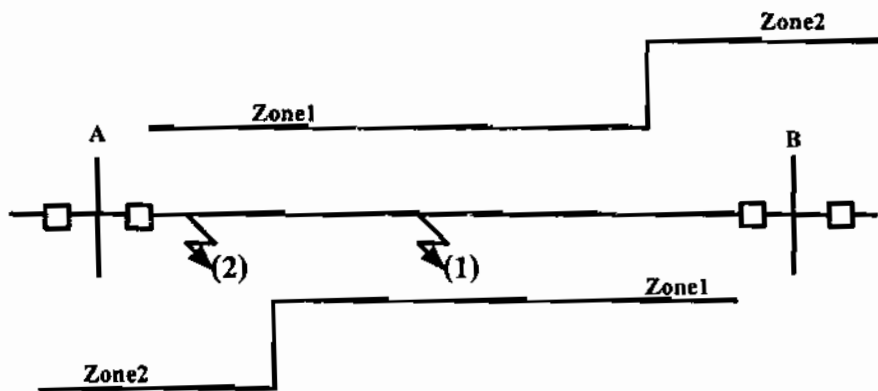
ເມື່ອເກີດພອດຕີໃນດໍາແහນັ້ງທີ່ 2 ດັ່ງແສດງໃນກາພທີ່ 2-4 ຮີເລຍ໌ທີ່ສຕານີ A ຈະທ່າງວາງໃນການຕັດ ກະແສພອດຕີອອກຈາກຮະບນໄຟຟ້າແບບທັນທຶນໄດ້ ພຣອມກັນສ່າງສ້າງສູງຍາວໄປສ້າງໃຫ້ຮີເລຍ໌ທີ່ສຕານີ B ໃນການຕັດຈຳກະແສພອດຕີອອກຈາກຮະບນໄໂດຍໄມ້ຕ້ອງນີ້ການໜ່ວງເວລາ

2.6.2 ເພອຣົນສີເພັນເຄອຣົຈິ່ງທຽນສີເຟອຣ໌ທຣິພ (Permissive Under – reach Transfer Trip)

ເພື່ອປຶ້ງກັນໄນ້ໃຫ້ຮີເລຍ໌ທ່າງວາງທີ່ມີຄົມພາດເນື່ອງຈາກສ້າງຍາວທີ່ສ່າງມາຈາກທາງດ້ານສຕານີໄຟຟ້າ ດ້ນທາງ ສຕານີໄຟຟ້າປາຍທາງຈຶ່ງຈໍາເປັນດ້ອງທຽບສອນສ້າງຍາວທີ່ສ່າງມາຈາກສຕານີໄຟຟ້າດ້ນທາງ ໂດຍ ໃຊ້ໂຊນ 2 ຂອງຮີເລຍ໌ຮະຫາກທີ່ສຕານີໄຟຟ້າປາຍທາງ ນາມທຽບສອນສ້າງຍາວທີ່ສ່າງມາຈາກສຕານີໄຟຟ້າ ດ້ນທາງ ການປຶ້ງກັນສາຍສ່າງແບບມີການໃຊ້ຮະບນສ້ອສາງໃນລັກຍະນະນີ້ ຈະໃຊ້ຂ່ອງສ້າງຍາວໃນການ ສ້ອສາງເພີ່ມຂ່ອງສ້າງຍາວ ເຕີວາ ແລະ ໃຊ້ໂຊນ 1 ໃນການສ່າງສ້າງຍາວ [14] ໂດຍແບບແຜນການທ່າງວາງຂອງ ເພອຣົນສີເພັນເຄອຣົຈິ່ງທຽນສີເຟອຣ໌ທຣິພ ດັ່ງແສດງໃນກາພທີ່ 2-25



ກາພທີ່ 2-24 ເພອຣົນສີເພັນເຄອຣົຈິ່ງທຽນສີເຟອຣ໌ທຣິພ



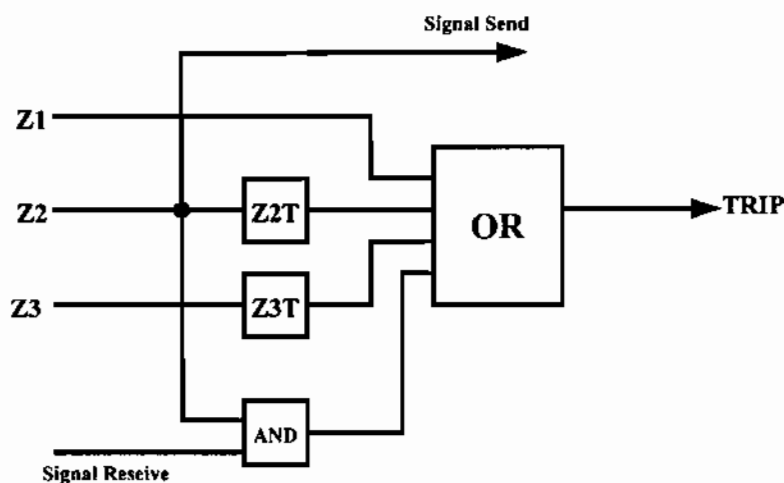
ภาพที่ 2-25 ตำแหน่งฟอลต์ที่เกิดขึ้นในระบบไฟฟ้าที่มีการใช้การป้องกันแบบ เพอร์มิสซีฟอันเดอร์ริชชิ่งทรานส์เฟอร์ทริพ

การทำงานของรีเลย์ระยะทางเมื่อใช้การป้องกันแบบ เพอร์มิสซีฟอันเดอร์ริชชิ่งทรานส์เฟอร์ ทริพ เมื่อเกิดฟอลต์ในตำแหน่งที่ 1 ดังแสดงในภาพที่ 2-26 รีเลย์ที่สถานี A และสถานี B จะทำงาน ด้วยโซน 1 เพื่อตัดกระแสไฟฟ้า

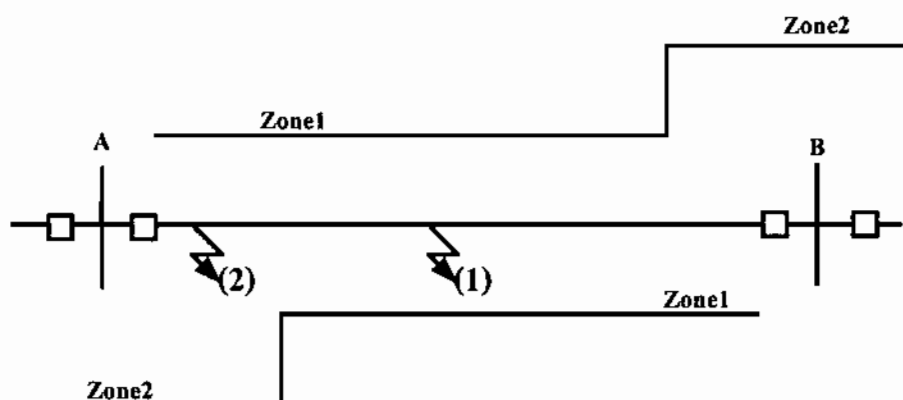
เมื่อเกิดฟอลต์ในตำแหน่งที่ 2 ดังแสดงในภาพที่ 2-26 รีเลย์ที่สถานี A จะทำงานในการตัด กระแสไฟฟ้า ทั้งที่หันไปด้วยโซน 1 พร้อมกับใช้โซน 1 ส่งสัญญาณไปให้ รีเลย์ที่สถานี B รีเลย์ที่สถานี B จะตรวจสอบสัญญาณจากสถานี A ว่าฟอลต์เกิดขึ้นในสายส่งด้วย โซน 2 ของสถานี B หากเกิดฟอลต์ขึ้นในสายส่งจริง รีเลย์ที่สถานี B ก็จะสั่งให้เซอร์กิเบรกเกอร์ตัด วงจรกระแสไฟฟ้าโดยไม่ต้องมีการหน่วงเวลา

2.6.3 เพอร์มิสซีฟไโอล์เวอร์ริชชิ่งทรานส์เฟอร์ทริพ (Permissive Over – reach Transfer Trip)

เป็นอีกวิธีหนึ่งที่ป้องกัน การทำงานที่ผิดพลาดเมื่องจากสัญญาณที่ส่งมาจากทางค้านสถานี ไฟฟ้าด้านทาง ซึ่งวิธีการป้องกันสายส่งแบบเพอร์มิสซีฟไโอล์เวอร์ริชชิ่งทรานส์เฟอร์ทริพนี้ สถานี ไฟฟ้าด้านทางจะใช้โซน 2 ใน การส่งสัญญาณให้กับสถานีไฟฟ้าปลายทางแบบหันที่หันไป โดยไม่ ต้องมีการหน่วงเวลา และสถานีไฟฟ้าปลายทางตรวจสอบสัญญาณที่ส่งมาจากสถานีไฟฟ้าด้านทาง โดยใช้โซน 2 ของรีเลย์ระยะทางที่สถานีไฟฟ้าปลายทาง มาตรวจสอบสัญญาณที่ส่งมาจากสถานี ไฟฟ้าด้านทาง การป้องกันสายส่งแบบมีการใช้ระบบสื่อสารในลักษณะนี้ จะใช้ช่องสัญญาณในการ สื่อสาร 2 ช่องสัญญาณที่มีความถี่เดียวกัน [14] และใช้โดยแบบแผนการทำงานของเพอร์มิสซีฟ ไโอล์เวอร์ริชชิ่งทรานส์เฟอร์ทริพ ดังแสดงในภาพที่ 2-27



ภาพที่ 2-26 เพอร์มิสชีพโดยอิริชชิ่งทรานส์ฟอร์มิวิพ



ภาพที่ 2-27 ตำแหน่งฟอลต์ที่เกิดขึ้นในระบบไฟฟ้าที่มีการใช้การป้องกันแบบเพอร์มิสชีพอันเดอร์ิชชิ่งทรานส์ฟอร์มิวิพ

การทำงานของรีเลย์จะทางเมื่อใช้การป้องกันแบบเพอร์มิสชีพอันเดอร์ิชชิ่งทรานส์ฟอร์มิวิพ เมื่อเกิดฟอลต์ในตำแหน่งที่ 1 ดังแสดงในภาพที่ 2-28 รีเลย์ที่สถานี A และสถานี B จะทำงานด้วยโซน 1 เพื่อตัดกระแสฟอลต์ออกจากระบบไฟฟ้า

เมื่อเกิดฟอลต์ในตำแหน่งที่ 2 ดังแสดงในภาพที่ 2-28 รีเลย์ที่สถานี A จะทำงานในการตัดกระแสฟอลต์ออกจากระบบไฟฟ้าแบบทันทีทันใจด้วยโซน 1 พร้อมกับใช้โซน 2 ของรีเลย์จะทางในการส่งสัญญาณไปให้รีเลย์ที่สถานี B รีเลย์ที่สถานี B จะตรวจสอบสัญญาณจากสถานี A ว่าฟอลต์เกิดขึ้นในสายส่งด้วยโซน 2 ของสถานี B หากเกิดฟอลต์ขึ้นในสายส่งจริง รีเลย์ที่สถานี B ก็จะสั่งให้เซอร์กิเบรกเกอร์ตัดวงจรกระแสฟอลต์ออกจากระบบโดยไม่ต้องมีการหน่วงเวลา

บทที่ 3

การวัดอัมพิแคนซ์ของรีเลย์

ในการป้องกันสายส่งเราไม่สามารถใช้รีเลย์ตัวเดียวป้องกัน การเกิดฟอลต์ได้ทุกชนิด เมื่อจาก การเกิดฟอลต์มีทั้ง การเกิดฟอลต์ทางด้านไฟสี และ การเกิดฟอลต์ทางด้านกราวด์ เห็นจะนั้นในการป้องกันสายส่งโดยใช้รีเลย์ระบบทางนั้นจะใช้รีเลย์ระบบทางในการป้องกัน 6 ชุด การป้องกันต่อ 1 โซนการป้องกัน โดยแบ่งเป็นชุดป้องกันทางไฟสี 3 ชุดป้องกัน ชุดป้องกันทาง ทางด้านกราวด์ 3 ชุดป้องกัน [15]

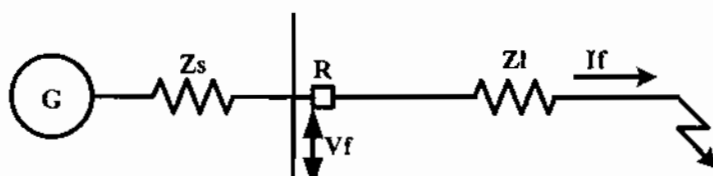
3.1 ประเภทของฟอลต์ที่เข้าในสายส่งนั้นสามารถแบ่งได้ดังนี้ [2]

- 3.1.1 การเกิดลักษณะของไฟฟ้าในสายส่ง (Single Line to Ground Fault)
- 3.1.2 การเกิดการลักษณะของไฟฟ้ากับไฟฟ้า (Phase to Phase Fault)
- 3.1.3 การเกิดการลักษณะของไฟฟ้าสองสาย (Double Line to Ground Fault)
- 3.1.4 การเกิดการลักษณะของสามไฟฟ้า (Three Phase Fault)

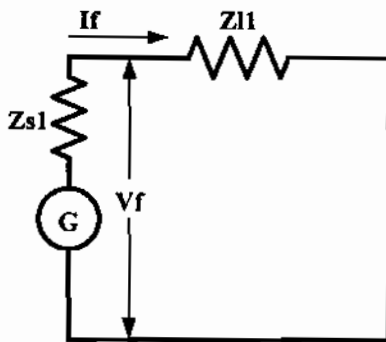
3.2 การป้องกันสายส่งเมื่อเกิดฟอลต์ทางด้านไฟฟ้า

การป้องกันทางด้านไฟฟ้าของรีเลย์ระบบทาง เมื่อเกิดฟอลต์ทั้ง 3 ไฟฟ้า และเกิดฟอลต์ระหว่างไฟฟ้า รีเลย์ระบบทางสามารถวัดอัมพิแคนซ์ได้ดังนี้ [4],[15]

3.2.1 การวัดอัมพิแคนซ์ของรีเลย์ระบบทางเมื่อเกิดฟอลต์แบบ 3 ไฟฟ้า เมื่อเกิดฟอลต์แบบ 3 ไฟฟ้า ดังแสดงในภาพที่ 3-1 จะปรากฏแรงดันและกระแสของวงจรลำดับบวก (Positive Sequence Network) เพียงอย่างเดียว และสามารถแสดงออกมาเป็นวงจรลำดับ (Sequence Network) ดังภาพที่ 3-2



ภาพที่ 3-1 ระบบไฟฟ้าที่เกิดฟอลต์แบบ 3 ไฟฟ้า



ภาพที่ 3-2 แรงดันและกระแสของวงจรลำดับบวก (Positive Sequence Network) เมื่อเกิดฟอลต์แบบ 3 เฟส

จากภาพที่ 3-2 เราสามารถหาค่าแรงดัน และกระแสที่จุดติดตั้งรีเลย์ได้ดังนี้

$$V_{f1} = I_{f1} Z_1 \quad (3-1)$$

$$I_{f1} = \frac{G}{Z_{s1} + Z_{ll}} \quad (3-2)$$

เนื่องจากเป็นการเกิดฟอลต์แบบ 3 เฟส เป็นฟอลต์แบบสมมาตร ในวงจรลำดับในภาพที่ 3-2 จึงไม่ปรากฏ ลำดับลบ และลำดับศูนย์ ของแรงดันและกระแส เพราะฉะนั้น $V_{f2}=V_{f0}=0$ และ $I_{f2}=I_{f0}=0$ ดังนั้น เมื่อเปลี่ยนจากกระแสและแรงดันลำดับบวก เป็นแรงดันที่เฟส และกระแสที่เฟส จะได้ผลดังนี้

$$V_a = V_{f1} \quad (3-3)$$

$$V_b = a^2 V_{f1} \quad (3-4)$$

$$V_c = a V_{f1} \quad (3-5)$$

$$I_a = I_{f1} \quad (3-6)$$

$$I_b = a^2 I_{f1} \quad (3-7)$$

$$I_c = a I_{f1} \quad (3-8)$$

กรณีที่หน้าแปลงกระแส และหน้าแปลงแรงดันต่อแบบวาย รีเลย์จะหางจะวัดอิมพีเดนซ์ ลำดับบวกได้ดังนี้

$$Z_{f1} = \frac{V_a}{I_a} = \frac{V_{f1}}{I_{f1}} \quad (3-9)$$

$$Z_{f1} = \frac{V_b}{I_b} = \frac{a^2 V_{f1}}{a^2 I_{f1}} \quad (3-10)$$

$$Z_{f1} = \frac{V_c}{I_c} = \frac{aV_{f1}}{aI_{f1}} \quad (3-11)$$

กรณีที่หม้อแปลงกระแส และหม้อแปลงแรงดันต่อแบบเดลต้า รีเลียร์จะวัดอิมพีเดนซ์ลำดับบวกได้ดังนี้

$$Z_{f1} = \frac{V_a - V_b}{I_a - I_b} = \frac{V_{f1} - a^2 V_{f1}}{I_{f1} - a^2 I_{f1}} = \frac{V_{f1}(1-a^2)}{I_{f1}(1-a^2)} \quad (3-12)$$

$$Z_{f1} = \frac{V_b - V_c}{I_b - I_c} = \frac{a^2 V_{f1} - a V_{f1}}{a^2 I_{f1} - a I_{f1}} = \frac{V_{f1}(a^2 - 1)}{I_{f1}(a^2 - 1)} \quad (3-13)$$

$$Z_{f1} = \frac{V_c - V_a}{I_c - I_b} = \frac{a V_{f1} - V_{f1}}{a I_{f1} - I_{f1}} = \frac{V_{f1}(a - 1)}{I_{f1}(a - 1)} \quad (3-14)$$

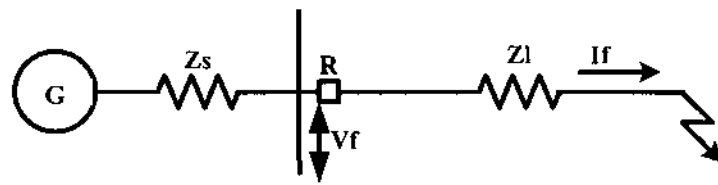
กรณีที่หม้อแปลงกระแส ต่อแบบราย และหม้อแปลงแรงดันต่อแบบเดลต้า รีเลียร์จะวัดอิมพีเดนซ์ลำดับบวกได้เท่ากับ

$$\sqrt{3}Z_{f1} = \frac{V_a - V_b}{I_a} = \frac{V_{ab}}{I_a} = \frac{\sqrt{3}V_a}{I_a} = \frac{\sqrt{3}V_{f1}}{I_{f1}} \quad (3-15)$$

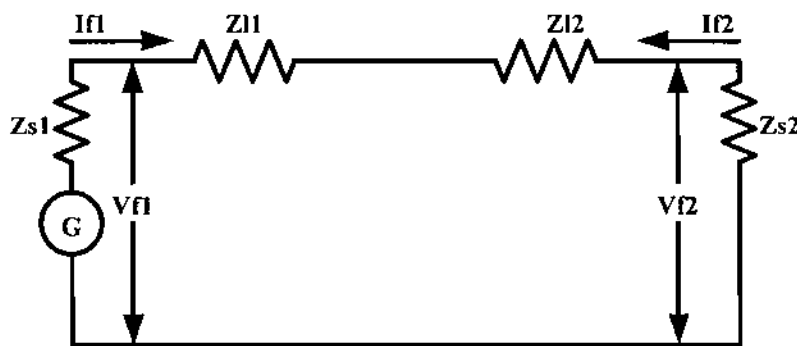
$$\sqrt{3}Z_{f1} = \frac{V_b - V_c}{I_b} = \frac{V_{bc}}{I_b} = \frac{\sqrt{3}V_b}{I_b} = \frac{\sqrt{3}a^2 V_{f1}}{a^2 I_{f1}} \quad (3-16)$$

$$\sqrt{3}Z_{f1} = \frac{V_c - V_a}{I_c} = \frac{V_{ca}}{I_c} = \frac{\sqrt{3}V_c}{I_c} = \frac{\sqrt{3}a V_{f1}}{a I_{f1}} \quad (3-17)$$

3.2.2 การวัดอิมพีเดนซ์ของรีเลียร์จะวัดเมื่อกีดฟอลต์ระหว่างเฟสกับเฟส (Phase to Phase Fault) การกีดฟอลต์ระหว่างเฟสที่แสดงในภาพที่ 3-3 นั้นสมมุติให้เกิดในตำแหน่งเดียวทั่วทุกการกีดฟอลต์ 3 เฟส ดังที่ได้กล่าวไว้ในหัวข้อที่ผ่านมาแล้ว ในการกีดฟอลต์แบบ 3 เฟส และการกีดฟอลต์ระหว่างเฟสนั้น ค่าอิมพีเดนซ์ที่รีเลียร์จะวัดได้จะมีค่าเท่ากันเนื่องจากกีดฟอลต์ในตำแหน่งเดียวทั่วทุก เมื่อกีดฟอลต์ระหว่างเฟสขึ้นมาแล้วในวงจรลำดับของฟอลต์ระหว่างเฟส นอกจากจะมีลำดับบวกแล้วยังมีลำดับลบ (Negative Phase Sequence) เพิ่มเข้ามาอีกหนึ่งลำดับและแสดงวงจรลำดับดังภาพที่ 3-4



ภาพที่ 3-3 ระบบไฟฟ้าที่เกิดฟอลต์แบบ เฟส กับเพส



ภาพที่ 3-4 แรงดันและกระแสของวงจรลำดับบวก (Positive Sequence Network) และลำดับลบ (Negative Sequence Network) ของการเกิดฟอลต์แบบเฟสกับเพส

เมื่อเกิดฟอลต์ระหว่างเฟสเราจะพิจารณาเงื่อนไข ดังต่อไปนี้ $I_a = 0; I_b = -I_c$ [1] เมื่อเปลี่ยนให้อยู่ในรูปของวงจรลำดับ จะได้กระแสลำดับลงดังนี้

$$I_{f1} = -I_{f2} \quad (3-18)$$

$$I_a = 0; I_b = -I_c \quad (3-19)$$

จากภาพที่ 3-4 สามารถหาแรงดันลำดับบวกและแรงดันลำดับลบได้ดังนี้

$$V_{f1} = I_{f1}(2Z_{f1} + Z_{s1}) \quad (3-20)$$

$$V_{f2} = I_{f1}Z_{s1} \quad (3-21)$$

$$\begin{bmatrix} V_a \\ V_b \\ V_c \end{bmatrix} = \begin{bmatrix} 1 & 1 & 1 \\ a^2 & a & 1 \\ a & a^2 & 1 \end{bmatrix} \begin{bmatrix} V_{f1} \\ V_{f2} \\ V_{f0} \end{bmatrix} \quad (3-22)$$

$$\begin{bmatrix} V_a \\ V_b \\ V_c \end{bmatrix} = \begin{bmatrix} 1 & 1 & 1 \\ a^2 & a & 1 \\ a & a^2 & 1 \end{bmatrix} \begin{bmatrix} I_{f1}(2Z_{ll} + Z_{sl}) \\ I_{f1}Z_{sl} \\ 0 \end{bmatrix} \quad (3-23)$$

เพราะจะนั่นเรงคันที่เฟสต่างๆจะเท่ากัน

$$V_a = 2I_{f1}(Z_{ll} + Z_{sl}) \quad (3-24)$$

$$V_b = 2a^2 I_{f1} Z_{ll} + (a^2 + a) I_{f1} Z_{sl} \quad (3-25)$$

$$V_c = 2aI_{f1}Z_{f1} + (a^2 + a)I_{f1}Z_{sl} \quad (3-26)$$

กระแสล้ำดับบวก กระแสล้ำดับลบสามารถเปลี่ยนให้เป็นกระแสที่เฟสໄດ้ดังนี้

$$\begin{bmatrix} I_a \\ I_b \\ I_c \end{bmatrix} = \begin{bmatrix} 1 & 1 & 1 \\ a^2 & a & 1 \\ a & a^2 & 1 \end{bmatrix} \begin{bmatrix} I_{f1} \\ I_{f2} \\ I_{f0} \end{bmatrix} \quad (3-27)$$

$$\begin{bmatrix} I_a \\ I_b \\ I_c \end{bmatrix} = \begin{bmatrix} 1 & 1 & 1 \\ a^2 & a & 1 \\ a & a^2 & 1 \end{bmatrix} \begin{bmatrix} I_{f1} \\ -I_{f1} \\ 0 \end{bmatrix} \quad (3-28)$$

เพราะจะนั่นกระแสที่เฟสต่างๆจะเท่ากัน

$$I_a = I_{f1} + I_{f2} \quad (3-29)$$

$$I_b = a^2 I_{f1} - a I_{f1} \quad (3-30)$$

$$I_c = a I_{f1} - a^2 I_{f1} \quad (3-31)$$

กรณีที่หน้อแปลงกระแส ต่อแบบเดลต้า และหน้อแปลงเรงคันต่อแบบเดลต้า รีเลียจฉวัด

อินพ์เดนซ์ล้ำดับบวกໄได้เท่ากัน

$$Z_{f1} = \frac{V_b - V_c}{I_b - I_c} \quad (3-32)$$

$$Z_{ll} = \frac{(2a^2 I_{f1} Z_{ll} + (a^2 + a) I_{f1} Z_{sl}) - (2a I_{f1} Z_{ll} + (a^2 + a) I_{f1} Z_{sl})}{(a^2 I_{f1} - a I_{f1}) - (a I_{f1} - a^2 I_{f1})} \quad (3-33)$$

$$Z_{f1} = \frac{(a^2 - a)2I_{f1}Z_{f1}}{(a^2 I_{f1} - aI_{f1}) - (aI_{f1} - a^2 I_{f1})} \quad (3-34)$$

$$Z_{f1} = Z_{f1} \quad (3-35)$$

กรณีที่หน้าแปลงกระแส ต่อแบบนวย และหน้าแปลงแรงดันต่อแบบเดสต้า รีเลย์จะวัด อินพีเคนซ์ลำดับบวกได้เท่ากัน

$$Z_{f1} = \frac{V_b - V_c}{I_b} \quad (3-36)$$

$$Z_{f1} = \frac{(2a^2 I_{f1} + (a^2 + a)I_{f1}Z_{sl}) - (2aI_{f1}Z_{ll} + (a^2 + a)I_{f1}Z_{sl})}{(a^2 I_{f1} + aI_{f2})} \quad (3-37)$$

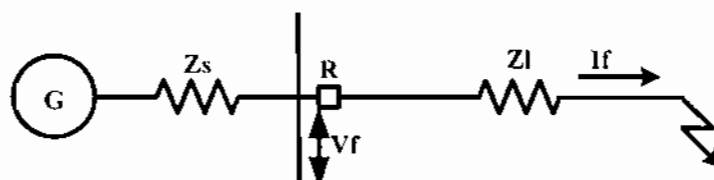
$$Z_{f1} = \frac{(a^2 - a)2I_{f1}Z_{f1}}{(a^2 - a)I_{f1}} \quad (3-38)$$

$$Z_{f1} = 2Z_{f1} \quad (3-39)$$

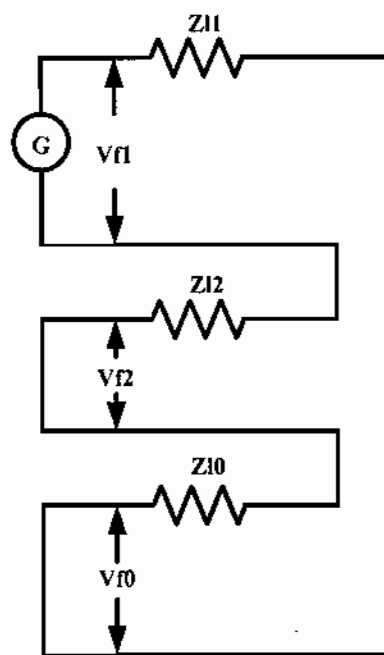
3.3 การป้องกันสายส่งเมื่อเกิดฟอลต์ทางด้านกราวต์

หน่วยวัดทางด้านกราวต์ใช้สำหรับการวัดอินพีเคนซ์ ของความผิดพร่องทางด้านกราวต์ นอกจาก วงจรลำดับ (Symmetrical Component) จะปรากฏ วงจรลำดับบวก (Positive Sequence) และวงจรลำดับลบแล้ว (Negative Sequence) แล้วแต่ขั้นนำวงจรลำดับศูนย์ (Zero Sequence) เพิ่มขึ้นมาอีก 1 ลำดับ ซึ่งการมีลำดับศูนย์เพิ่มเข้ามาจะทำให้รีเลย์ระยะทางวัดค่าอินพีเคนซ์ผิดพลาด เพื่อป้องกันการวัดอินพีเคนซ์เกิดการผิดพลาด จึงต้องมีการซัดเซยการวัดค่าอินพีเคนซ์ของรีเลย์ เพื่อที่จะทำให้รีเลย์ทำงานได้อย่างถูกต้อง [4],[15]

3.3.1 เมื่อเกิดฟอลต์แบบ 1 เฟส ลงดิน (Single Line to Ground Fault)



ภาพที่ 3-5 ตัวแหน่งของการเกิดฟอลต์ 1 เฟสลงดิน



ภาพที่ 3-6 วงจรลำดับของการเกิดลักษณะแบบ 1 เพลสลงคิน

จากภาพที่ 3-6 เพื่อความง่ายจะไม่พิจารณาอิมพีเดนซ์ของแหล่งผลิต สามารถหาแรงดันที่ต่ำเหนือติดตั้งรีเลย์ได้ดังนี้

$$V_f = V_{f1} + V_{f2} + V_{f0} \quad (3-40)$$

$$V_f = I_{f1} Z_{ll} + I_{f2} Z_{l2} + I_{f0} Z_{l0} \quad (3-41)$$

เนื่องจาก $Z_{ll} = Z_{l2}$ $V_f = I_f Z_{ll} + \frac{I_f}{3} (Z_{l0} - Z_{ll})$

$$V_f = I_{f1} Z_{ll} + I_{f2} Z_{l2} + I_{f0} Z_{l0} + I_{f0} Z_{ll} - I_{f0} Z_{ll} \quad (3-42)$$

$$V_f = (I_{f1} + I_{f2} + I_{f0}) Z_{ll} + I_{f0} Z_{l0} - I_{f0} Z_{ll} \quad (3-43)$$

$$V_f = I_f Z_{ll} + I_{f0} (Z_{l0} - Z_{ll}) \quad (3-44)$$

$$V_f = I_f Z_{ll} + \frac{I_f}{3} (Z_{l0} - Z_{ll}) \quad (3-45)$$

$$V_f = Z_{ll} (I_f + \frac{I_f (\frac{Z_{l0}}{Z_{ll}} - 1)}{3}) \quad (3-46)$$

$$\text{กำหนดให้ } k = \frac{Z_{10}}{Z_{11}}$$

$$V_f = Z_{11} I_f \left(1 + \frac{(k-1)}{3}\right) \quad (3-47)$$

กระแสลัดวงจรของการเกิดฟอลต์แบบ 1 เพื่อสลงคิน $I_f = I_{f1} + I_{f2} + I_{f0}$

เมื่อคำนวณอิมพีเดนซ์ของมาเด็วจะเท่ากับ $Z_{11} \left(1 + \frac{(k-1)}{3}\right)$ จากภาพที่ 3-5 จะเห็นว่าตำแหน่ง

การเกิดการลัดวงจรห่างจากตำแหน่งการติดตั้งรีเลย์ Z_1 แต่จากการคำนวณจะได้อิมพีเดนซ์มากกว่าตำแหน่งที่เกิดการลัดวงจรเท่ากับ $Z_{11} \frac{(k-1)}{3}$ เพราะฉะนั้นถ้าต้องการให้ค่าอิมพีเดนซ์ที่วัดได้ตรงกับความเป็นจริง กระแสลัดวงจรที่รีเลย์จะทางวัดได้จะต้องบวกค่าคงที่เข้าไปอีก $Z_{11} \frac{(k-1)}{3}$

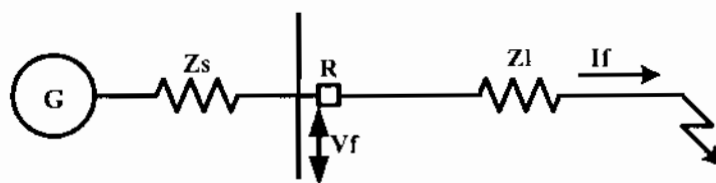
เพื่อที่จะคำนวณค่าอิมพีเดนซ์ได้อย่างถูกต้องดังนี้

$$Z_l = \frac{V_f}{I_f + \frac{I_f(k-1)}{3}} \quad (3-48)$$

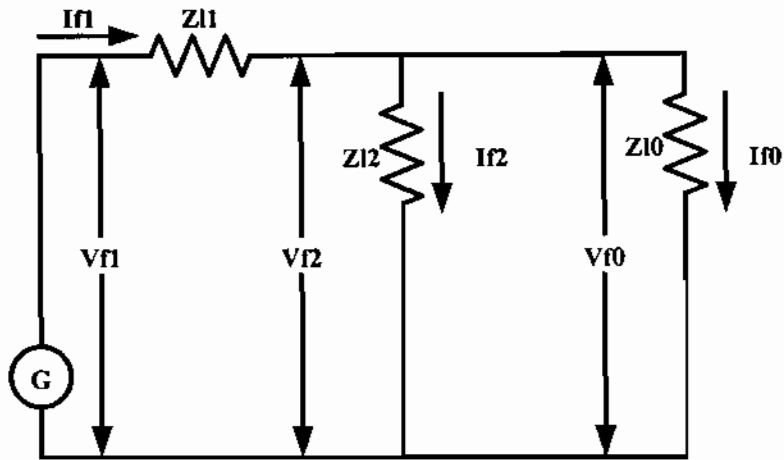
$$Z_1 = \frac{Z_{11}(I_f + \frac{I_f(k-1)}{3})}{I_f + \frac{I_f(k-1)}{3}} \quad (3-49)$$

$$Z_1 = Z_{11} \quad (3-50)$$

3.3.2 เมื่อเกิดฟอลต์แบบ 2 เพส ลงคิน (Line to Line to Ground Fault)



ภาพที่ 3-7 การเกิดฟอลต์แบบ 2 เพส ลงคิน



ภาพที่ 3-8 แรงดันและกระแสของวงจรลำดับบวก (Positive Sequence Network) ลำดับลบ (Negative Sequence Network) และลำดับศูนย์ (Zero Sequence Network) ของ การเกิดฟอลต์แบบ 2 เพลสลงดิน

จากภาพที่ 3-8 เราจะหากระแส และแรงดันของวงจรลำดับ ได้ดังนี้

$$V_{f1} = I_{f1} Z_{f1} + I_{f1} \frac{(Z_{f2} \times Z_{f0})}{(Z_{f2} + Z_{f0})} \quad (3-51)$$

เนื่องจากอิมพีเดนซ์ลำดับบวกเท่ากับอิมพีเดนซ์ลำดับลบ

$$V_{f1} = I_{f1} Z_{f1} + I_{f1} \frac{(Z_{f1} \times Z_{f0})}{(Z_{f1} + Z_{f0})} \quad (3-52)$$

$$V_{f2} = I_{f2} Z_{f2} \quad (3-53)$$

$$V_{f0} = I_{f0} Z_{f0} \quad (3-54)$$

จากเงื่อนไขของการเกิดฟอลต์ 2 เพลสลงดิน จะได้ $I_{f1} + I_{f2} + I_{f0} = 0$ (3-55)

ดังนั้น $I_{f0} = -I_{f1} - I_{f2}$ (3-56)

$$I_{f2} = -I_{f1} - I_{f0} \quad (3-57)$$

จากภาพที่ 3-8 $Z_{f2} I_{f2} = Z_{f0} I_{f0}$ (3-58)

แทนค่าสมการที่ (3-56) ในสมการที่ (3-58) $Z_{f2} I_{f2} = Z_{f0} (-I_{f1} - I_{f2})$ (3-59)

จะได้ $I_{f2} = \frac{-Z_{f0} I_{f1}}{(Z_{f0} + Z_{f2})}$ (3-60)

แทนค่าสมการที่ (3-52) ในสมการที่ (3-53) จะได้ $V_{f2} = -Z_{f1} \frac{Z_{f0} I_{f1}}{(Z_{f0} + Z_{f2})}$ (3-61)

เนื่องจากอินพีเดนซ์สำาดับบวกเท่ากับอินพีเดนซ์สำาดับลบ

$$\text{เพาะฉะนั้น} \quad V_{f2} = -Z_{11} \frac{Z_{10} I_{f1}}{(Z_{10} + Z_{11})} \quad (3-62)$$

$$\text{แทนค่าแทนค่าสมการที่ } (3-57) \text{ ในสมการที่ } (3-58) \quad Z_{12}(-I_{f1} - I_{f0}) = Z_{10} I_{f0} \quad (3-63)$$

$$\text{จะได้} \quad I_{f0} = \frac{-Z_{12} I_{f1}}{(Z_{10} + Z_{12})} \quad (3-64)$$

$$\text{แทนค่าสมการที่ } (3-64) \text{ ในสมการที่ } (3-54) \text{ จะได้} \quad V_{f0} = \frac{-Z_{10} Z_{12} I_{f1}}{(Z_{10} + Z_{12})} \quad (3-65)$$

เนื่องจากอินพีเดนซ์สำาดับบวกเท่ากับอินพีเดนซ์สำาดับลบ

$$\text{จะได้} \quad V_{f0} = \frac{-Z_{10} Z_{11} I_{f1}}{(Z_{10} + Z_{11})} \quad (3-66)$$

$$\begin{bmatrix} V_a \\ V_c \\ V_c \end{bmatrix} = \begin{bmatrix} 1 & 1 & 1 \\ a^2 & a & 1 \\ a & a^2 & 1 \end{bmatrix} \begin{bmatrix} V_{f1} \\ V_{f2} \\ V_{f0} \end{bmatrix} \quad (3-67)$$

$$V_a = V_{f1} + V_{f2} + V_{f0} \quad (3-68)$$

$$V_b = a^2 V_{f1} + a V_{f2} + V_{f0} \quad (3-69)$$

$$V_c = a V_{f1} + a^2 V_{f2} + V_{f0} \quad (3-70)$$

$$\begin{bmatrix} I_a \\ I_c \\ I_c \end{bmatrix} = \begin{bmatrix} 1 & 1 & 1 \\ a^2 & a & 1 \\ a & a^2 & 1 \end{bmatrix} \begin{bmatrix} I_{f1} \\ I_{f2} \\ I_{f0} \end{bmatrix} \quad (3-71)$$

$$I_b = a^2 I_{f1} - a \frac{Z_{10} I_{f1}}{(Z_{10} + Z_{11})} - \frac{Z_{11} I_{f1}}{(Z_{10} + Z_{11})} \quad (3-72)$$

$$I_c = a I_{f1} - a^2 \frac{Z_{10} I_{f1}}{(Z_{10} + Z_{11})} - \frac{Z_{11} I_{f1}}{(Z_{10} + Z_{11})} \quad (3-73)$$

ในการนี้ที่หน้าเปล่งกระแสต่อเป็นแบบเดลต้า รีเลย์จะทางสามารถคำนวณค่าอินพุตแคนช์ได้ดังนี้

$$V_b - V_c = (a^2 - a)V_{f1} - (a^2 - a)V_{f2} \quad (3-74)$$

$$V_b - V_c = (a^2 - a)I_{f1}Z_{f1} + (a^2 - a)I_{f1} \frac{Z_{11}Z_{10}}{(Z_{11} + Z_{10})} + (a^2 - a)I_{f1} \frac{Z_{11}Z_{10}}{(Z_{11} + Z_{10})} \quad (3-75)$$

$$I_b - I_c = (a^2 - a)I_{f1} + (a^2 - a) \frac{Z_{10}I_{f1}}{(Z_{11} + Z_{10})} \quad (3-76)$$

$$\frac{V_b - V_c}{I_b - I_c} = \frac{(a^2 - a)I_{f1}(Z_{11} + \frac{Z_{11}Z_{10}}{(Z_{11} + Z_{10})} + \frac{Z_{11}Z_{10}}{(Z_{11} + Z_{10})})}{(a^2 - a)(I_{f1} + \frac{Z_{10}}{(Z_{11} + Z_{10})}I_{f1})} \quad (3-77)$$

จากสมการที่ (3-77) เพื่อให้หารลงตัวจำเป็นที่จะต้องเพิ่มพจน์ในสมการ $I_b - I_c$ อีกหนึ่งพจน์

$$\text{จะได้ } \frac{V_b - V_c}{I_b - I_c} = \frac{(a^2 - a)I_{f1}(Z_{11} + \frac{Z_{11}Z_{10}}{(Z_{11} + Z_{10})} + \frac{Z_{11}Z_{10}}{(Z_{11} + Z_{10})})}{(a^2 - a)(I_{f1} + \frac{Z_{10}}{(Z_{11} + Z_{10})}I_{f1} + \frac{Z_{10}}{(Z_{11} + Z_{10})}I_{f1})} \quad (3-78)$$

$$\frac{V_b - V_c}{I_b - I_c} = \frac{(a^2 - a)I_{f1}Z_{11}(1 + \frac{Z_{10}}{(Z_{11} + Z_{10})} + \frac{Z_{10}}{(Z_{11} + Z_{10})})}{(a^2 - a)I_{f1}(1 + \frac{Z_{10}}{(Z_{11} + Z_{10})} + \frac{Z_{10}}{(Z_{11} + Z_{10})})} \quad (3-79)$$

$$\frac{V_b - V_c}{I_b - I_c} = \frac{(a^2 - a)I_{f1}Z_{11}(1 + \frac{k}{(1+k)} + \frac{k}{(1+k)})}{(a^2 - a)I_{f1}(1 + \frac{k}{(1+k)} + \frac{k}{(1+k)})} \quad (3-80)$$

$$\frac{V_b - V_c}{I_b - I_c} = Z_{11} \quad (3-81)$$

3.4 อันเดอร์รีช (Under-reach)

การทำงานแบบ อันเดอร์รีชคือการทำงานของรีเลย์ระยะทางในกรณีที่เกิดฟอลต์ในโซนของ การป้องกันแล้ว รีเลย์ระยะทางวัดค่าอิมพีเดนซ์ได้มากกว่าความเป็นจริง เสมือนหนึ่งกับว่าใช้นการ ป้องกันลดลง [3],[16]

3.5 โอเวอร์รีช (Over-reach) [3]

การทำงานแบบ โอเวอร์รีชคือการทำงานของรีเลย์ระยะทางในกรณีที่เกิดฟอลต์นอกโซนของ การป้องกันแล้ว รีเลย์ระยะทางวัดค่าอิมพีเดนซ์ได้น้อยกว่าความเป็นจริง ใช้นการป้องกันขยายออก

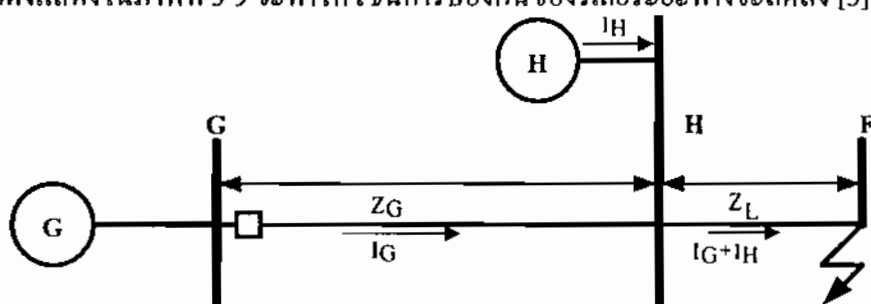
3.6 ผลของความด้านทานของอาร์คที่มีต่อการทำงานของรีเลย์

การเกิดฟอลต์ระหว่างเฟสกับเฟสหรือ 3 เฟสจะทำให้เกิดการอาร์คขึ้น ซึ่งอาร์คที่เกิดขึ้นนี้จะ มีความด้านทานภายในตัวมันเอง การเกิดอาร์คขณะเกิดฟอลต์จะทำให้อิมพีเดนซ์รวมของระบบที่ รีเลย์วัด ได้เพิ่มมากขึ้น จะทำให้รีเลย์ทำงานผิดพลาดคือรีเลย์จะวัดอิมพีเดนซ์ได้มากกว่าความเป็น จริง เช่น ในกรณีที่เราตั้งรีเลย์ระยะทางป้องกันสายส่ง โดยโซน 1 ตั้งค่าการทำงานไว้ที่ 80 เมตร เช่น ของสายส่งที่เราจะป้องกัน เมื่อเกิดฟอลต์เฟสกับเฟสในตำแหน่ง 80 เมตร เช่นของสายส่งที่ป้องกัน และมีอาร์คเกิดขึ้นด้วย จะทำให้รีเลย์ระยะทางวัดอิมพีเดนซ์ทำงานผิดพลาด แทนที่จะทำงานด้วย โซน 1 แบบทันทีทันใด กลับทำให้รีเลย์ระยะทางทำงานด้วยโซน 2 และมีการหน่วงเวลา จึงทำให้ เวลาในการทำงานของรีเลย์ในการตัดกระแสฟอลต์ออกจากระบบไฟฟ้า ช้ากว่าปกติ

3.7 ผลของไฟที่ป้อนเข้ามาที่มีต่อการทำงานของรีเลย์ระยะทาง

(The Infeed Effect of Distance Relay Application)

การทำงานของรีเลย์ระยะทางในการป้องกันสายส่งที่มี แหล่งกำเนิดกระแสฟอลต์ตั้งแต่ 2 แหล่งขึ้นไปดังแสดงในภาพที่ 3-9 จะทำให้ใช้นการป้องกันของรีเลย์ระยะทางจะลดลง [3]



ภาพที่ 3-9 การทำงานแบบ อันเดอร์รีชของรีเลย์ระยะทางเนื่องจากเกิดผลกระทบของ แหล่งกำเนิดไฟแหล่งอื่นเมื่อต่อเข้าระบบ

เมื่อกีดฟอลต์ขึ้นที่บัส F ในกรณีที่ไม่มีแหล่งกำเนิดไฟฟ้า H รีเลย์ระยะทางที่บัส G จะวัดกระแสฟอลต์เท่ากับ I_G และวัดแรงดันไฟฟ้าได้เท่ากับ V_G
 เพราะฉะนั้นรีเลย์ระยะทางวัดอิมพีเดนซ์ได้เท่ากับ

$$Z_G = \frac{V_G}{I_G} \quad (3-82)$$

$$= Z_L + Z_H \quad (3-83)$$

เมื่อกีดฟอลต์ขึ้นที่บัส F ในกรณีที่มีแหล่งกำเนิดไฟฟ้า H รีเลย์ระยะทางที่บัส G จะวัดกระแสฟอลต์เท่ากับ I_G และวัดแรงดันไฟฟ้าได้เท่ากับ

$$V_G = I_G Z_L + (I_G + I_H) Z_H \quad (3-84)$$

เพราะฉะนั้นรีเลย์ระยะทางวัดอิมพีเดนซ์ได้เท่ากับ

$$Z_G = \frac{V_G}{I_G} \quad (3-85)$$

$$= Z_L + Z_H + \frac{I_H}{I_G} Z_H \quad (3-86)$$

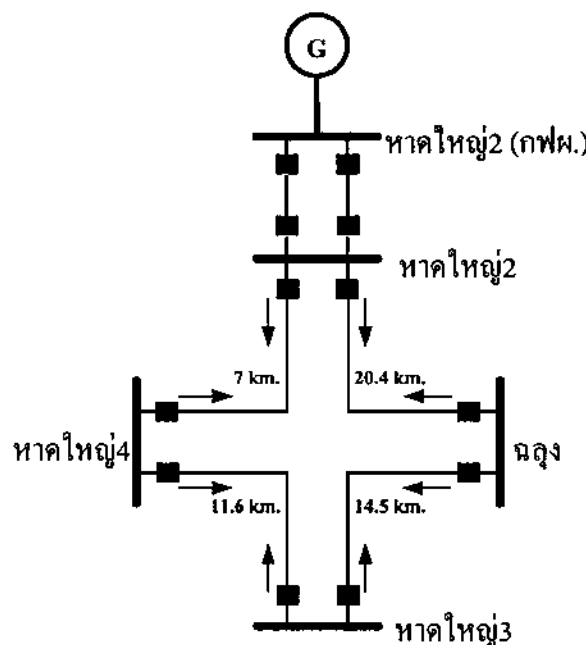
เมื่อเปรียบเทียบกันระหว่างสมการที่ (3-83) และสมการ (3-86) แล้วจะเห็นว่าในสมการที่ (3-86) จะมีส่วนของ $\frac{I_H}{I_G} Z_H$ เพิ่มเข้ามาจะทำให้รีเลย์มองเห็นอิมพีเดนซ์ได้มากกว่าความเป็นจริง

เสมอ กับว่า ใช้นองการป้องกันของรีเลย์ลดลง

บทที่ 4

การกำหนดค่าการทำงานของรีเลย์ระยะทาง

ระบบการจ่ายไฟที่จะพิจารณาว่าเป็นการจ่ายไฟแบบโคลสตูปคือ ระบบที่การจ่ายไฟในสถานะปกติจะมีกระแสไฟฟ้าจะไหลผ่านเบรกเกอร์ทุกตัวที่อยู่ในวงจร โคลสตูป (เซอร์กิตเบรกเกอร์ ทุกตัวปิดวงจร) ดังแสดงในภาพที่ 4-1 แต่ถ้ามีเซอร์กิตเบรกเกอร์ตัวใดตัวหนึ่งเปิดวงจร การจ่ายไฟระบบนั้นจะกลายเป็นการจ่ายไฟแบบ เรเดียล ทันที [17]



ภาพที่ 4-1 แผ่นภาพเส้นเดียวของระบบโคลสตูป

ระบบการป้องกันสายส่งของการจ่ายไฟโคลสตูปจะเหมือนกับระบบการป้องกันสายส่ง ของ การจ่ายไฟแบบเรเดียล แต่จะมีความยุ่งยาก และซับซ้อนกว่า เนื่องจากฟอลต์ที่เกิดขึ้นในสายส่ง ที่มี การจ่ายไฟแบบโคลสตูป กระแสฟอลต์จะมีการไหลมาจาก 2 ทิศทางเข้าหาตำแหน่งที่เกิดฟอลต์ เพราะฉะนั้น การป้องกันสายส่งที่จ่ายไฟแบบโคลสตูป จำเป็นต้องใช้การป้องกันแบบนีทิศทาง เพิ่ม เท่านานาในระบบป้องกัน โดยทั่วไปแล้วในการป้องกันสายส่งนั้นนิยมใช้รีเลย์ระยะทางในการป้องกัน

และรีเลียร์ระบบที่ใช้ จะต้องเป็นรีเลียร์แบบมีทิศทาง ในปัจจุบันนิยมใช้รีเลียร์แบบไม่รีเลียร์ หรือ ความคริสเตียนหรืออุดหนุนให้หันส่องชนิดร่วมกัน

การใช้รีเลียร์ระบบที่แบบมีทิศทางในปัจจุบันสายส่ง ที่มีการจ่ายไฟแบบโคลสูปันจะพิจารณาให้การจ่ายไฟแบบโคลสูป ให้เป็นการจ่ายไฟแบบเรเดียล 2 ทิศทาง เป็นไปตาม ทิศทาง การไหลของกระแสลักษณะ กระแสโอลด์คัมแสดงในภาพที่ 3-1 ซึ่งจะเห็นว่าจะแบ่งทิศทาง การไหลของ กระแสลักษณะ และกระแสโอลด์คัมเป็น 2 ทิศทาง ตามเข็มนาฬิกา และทวนเข็มนาฬิกา [14],[18] โดยจะสมมติให้เซอร์กิตเบรกเกอร์ของสถานีไฟฟ้าต้นทางเปิดวงจรเอาไว้ ด้านใด ด้านหนึ่งของการจ่ายไฟแบบสูปันปิด ในการพิจารณาการไหลของกระแสในแต่ละทิศทาง

การจัดลำดับการทำงานของรีเลียร์ระบบที่ใช้ปัจจุบันสายส่งที่มีการจ่ายไฟแบบสูปันปิด จะมีลักษณะเหมือนกับการจัดการทำงานของรีเลียร์ที่ใช้ปัจจุบันสายส่งที่มีการจ่ายไฟแบบเรเดียล โดยกำหนดค่าการทำงานของโซน 1 กำหนดไว้ที่ 80 เปอร์เซนต์ ของความยาวสายส่งที่จะปัจจุบัน การทำงานของ โซน 2 กำหนดไว้ที่ 120 เปอร์เซนต์ของสายส่งที่จะปัจจุบัน การทำงานของ โซน 3 กำหนดไว้ที่ 120 เปอร์เซนต์ความยาวของสายส่งทั้งหมดในช่วงที่จะปัจจุบันรวมกับ ความยาวของสายส่งช่วงถัดไป [2] สำหรับเวลาในการทำงานนั้น โซน 1 ให้ทำงานแบบทันทีทันใด ส่วน โซน 2 กำหนดให้มีการหน่วงเวลา ที่ 150 มิลลิวินาที และต้องมากกว่าเวลาการการทำงานของรีเลียร์เบรกเกอร์ เพลคเลอร์เนื่องจากรีเลียร์เบรกเกอร์เพลคเลอร์ถือว่าเป็นรีเลียร์ปัจจุบันสำรองชนิดหนึ่ง ซึ่งอยู่ภายใต้ สถานีไฟฟ้าเดียวกันกับรีเลียร์ระบบที่เป็นระบบปัจจุบันหลัก ควรจะทำงานก่อน โซน 2 ของรีเลียร์ ระบบที่อยู่ในสถานานี้ถัดไปซึ่งถือว่าเป็นรีเลียร์ปัจจุบันสำรองที่ไม่ได้อยู่ในสถานานี้เดียวกัน [19] ส่วน โซน 3 กำหนดให้มีการหน่วงเวลาที่ 300 มิลลิวินาที ตามลำดับ

4.1 สายส่งกำลังไฟฟ้าและระบบไฟฟ้าที่จะทำการศึกษาในงานนี้

สายส่งกำลังไฟฟ้าที่จะนำมาใช้ในการกำหนดค่าการทำงานของรีเลียร์ระบบที่ปัจจุบันนี้จะใช้สายส่งช่วง สถานีฯหาดใหญ่ 2, สถานีฯฉะเชิงเทรา, สถานีฯหาดใหญ่ 3, สถานีฯหาดใหญ่ 4 แสดงในภาพที่ 3-2 ซึ่งมีสภาพการจ่ายไฟดังนี้

4.1.1 สถานีฯหาดใหญ่ 2 ของ กฟภ. รับไฟจากสถานีฯหาดใหญ่ 2 ของ กฟภ. และสถานีฯหาดใหญ่ 2 ของ กฟภ. โดยรับโอลด์สูงสุด 200 เมกะวัตต์ และแบ่งการจ่ายไฟออกเป็น 4 วงจรดังนี้

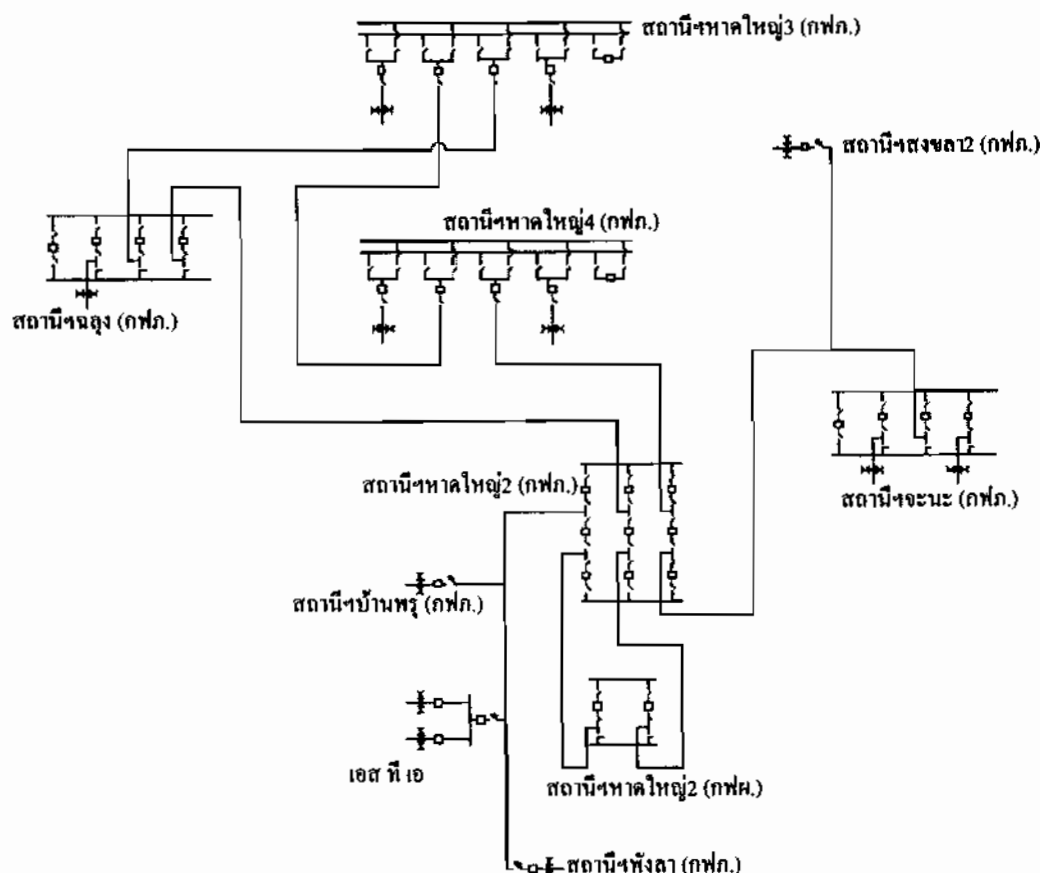
4.1.2 วงจรแรก จ่ายโอลด์ให้กับ สถานีฯบ้านพรุ, สถานีฯพังงา และสถานีฯของผู้ใช้ไฟ บริษัท เอส.ที.เอ

4.1.3 วงจรที่ 2 จ่ายโอลด์ให้กับ สถานีฯบ้านจะนะ, สถานีฯสงขลา 2

4.1.4 วงจรที่ 3 จ่ายโอลด์ให้กับ สถานีฯฉะเชิงเทรา

4.1.5 วงจรที่ 4 จ่ายไฟหลอดให้กับ สถานีฯหาดใหญ่ 3 และสถานีฯหาดใหญ่ 4

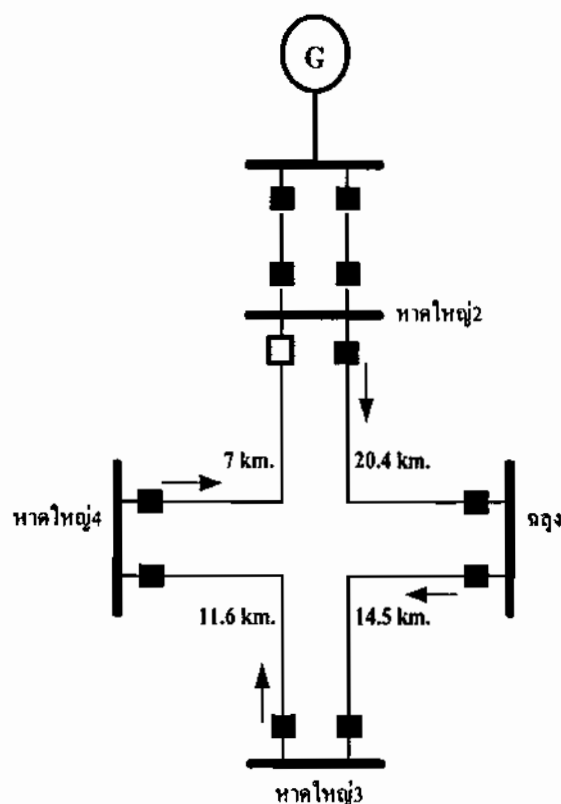
จากภาพที่ 4-2 จะเห็นว่าระหว่างสถานีฯหาดใหญ่ 3 และสถานีฯชุมทาง จะมีสายส่งเชื่อมถึงกันอยู่ และเปิดเซอร์กิตเบรกเกอร์ข้างหนึ่งไว้ที่สถานีฯหาดใหญ่ 3 เพราะฉะนั้นทั้ง 4 สถานีนี้มีความพร้อมที่จะทำการจ่ายไฟแบบลูปปิค โดยปีดวงจรของเซอร์กิตเบรกเกอร์ที่ สถานีฯหาดใหญ่ 3 เท่านั้น



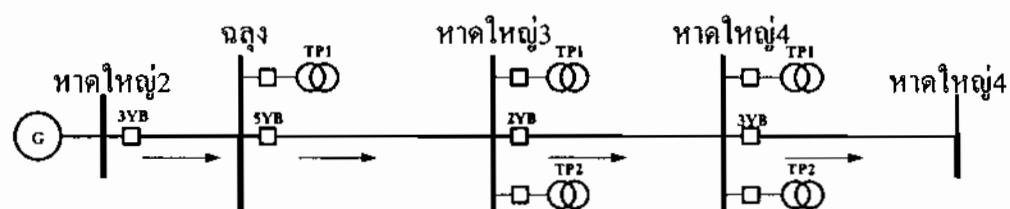
ภาพที่ 4-2 สภาพการจ่ายไฟที่สถานีไฟฟ้าหาดใหญ่ 2

4.2 การกำหนดค่าการทำงานของรีเลย์ระยะทาง

4.2.1 พิจารณาการไหลของกระแสไฟฟ้า และกระแสฟอลต์ในทิศทางตามเข็มนาฬิกา เพื่อใช้ในการกำหนดค่าการทำงานของรีเลย์ โดยจะเปิดเบรกเกอร์ทางด้านซ้ายมือของสถานีฯหาดใหญ่ 2 และคงในภาพที่ 4-3 และ ภาพที่ 4-4



ภาพที่ 4-3 ทิศทางการไหลของกระแสฟอลต์ผ่านเบรกเกอร์ในทิศทางตามเข็มนาฬิกา



ภาพที่ 4-4 ทิศทางการไหลของกระแสฟอลต์ และกระแสไฟฟ้า ในทิศทางตามเข็มนาฬิกา

4.2.1.1 สถานีหาดใหญ่ 2 รีเลอร์ระบบป้องกันสายส่งช่วงสถานีฯ หาดใหญ่ 2 - สถานีฉะเชิง ระยะทาง 20.4 กิโลเมตร กำหนดค่าการทำงานของรีเลอร์ระบบทางไว้ดังนี้

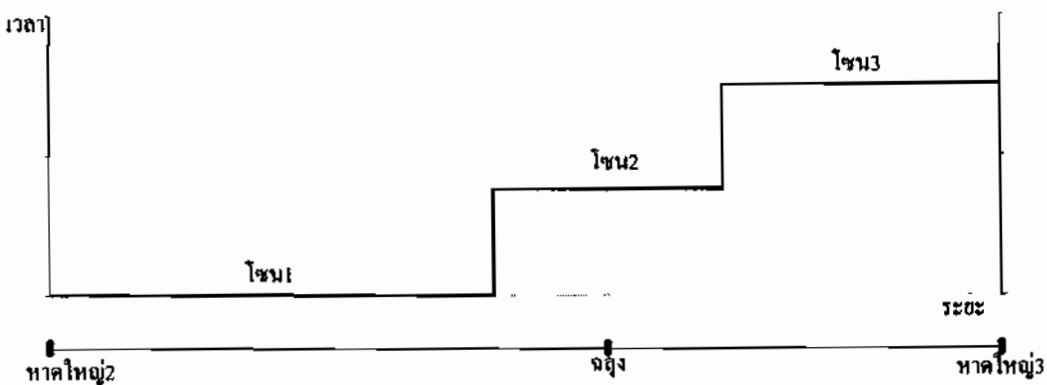
รีเลอร์ระบบทาง

หม้อแปลงกระแส 1600/1 หม้อแปลงแรงดัน 115000/115

โซน 1 = $1.12+j6.9$ โอห์ม (16.32 กิโลเมตร) เวลา 10 มิลลิวินาที

โซน 2 = $1.68+j10.48$ โอห์ม (24.84 กิโลเมตร) เวลา 150 มิลลิวินาที

โซน 3 = $2.38+j14.86$ โอห์ม (34.7 กิโลเมตร) เวลา 300 มิลลิวินาที



ภาพที่ 4-5 ไกม์สเตปป้าコレแกรนของรีเลียร์ระยะทางที่ สถานีฯหาดใหญ่ 2 ป้องกัน
สายส่งช่วง สถานีฯหาดใหญ่ 2 – สถานีฯฉลุง

4.2.1.2 สถานีฯฉลุง รีเลียร์ระยะทางป้องกันสายส่งช่วงสถานีฯ ฉลุง- สถานีฯหาดใหญ่ 3
ระยะทาง 14.3 กิโลเมตร กำหนดค่าการทำงานของรีเลียร์ระยะทางไว้ดังนี้

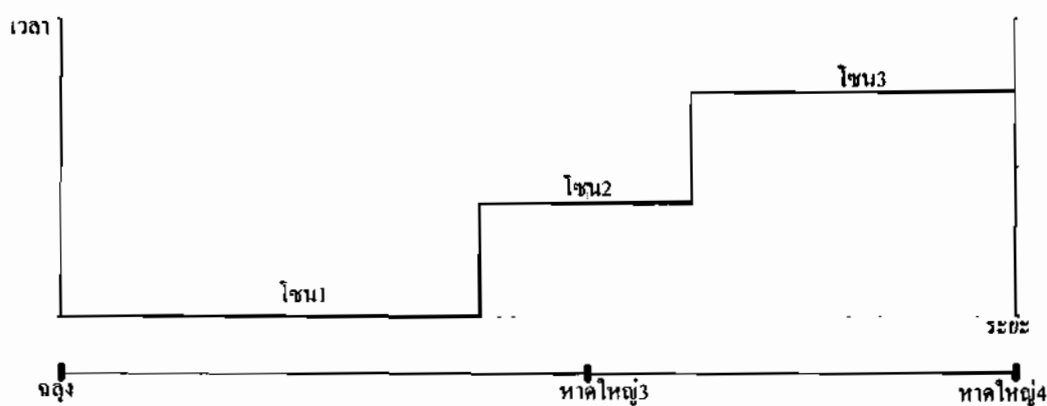
รีเลียร์ระยะทาง

หน้าอเปลลงกระแทก 1200/1 หน้าอเปลลงแรงดัน 115000/115

โซน 1 = $0.59 + j3.68$ โอห์ม (11.44 กิโลเมตร) เวลา 10 มิลลิวินาที

โซน 2 = $0.88 + j5.51$ โอห์ม (17.16 กิโลเมตร) เวลา 150 มิลลิวินาที

โซน 3 = $1.33 + j8.32$ โอห์ม (25.9 กิโลเมตร) เวลา 300 มิลลิวินาที



ภาพที่ 4-6 ไกม์สเตปป้าコレแกรนของรีเลียร์ระยะทางที่ สถานีฯฉลุง ป้องกัน สายส่งช่วง
สถานีฯฉลุง – สถานีฯหาดใหญ่ 3

4.2.1.3 สถานีฯหาดใหญ่ 3 รีเลอร์รัฐทาง (21/21N) ป้องกันสายส่งช่วงสถานีฯ
หาดใหญ่ 3 - สถานีฯหาดใหญ่ 4 ระยะทาง 11.6 กิโลเมตร ตั้งค่าการทำงานของรีเลอร์รัฐทางไว้
ดังนี้

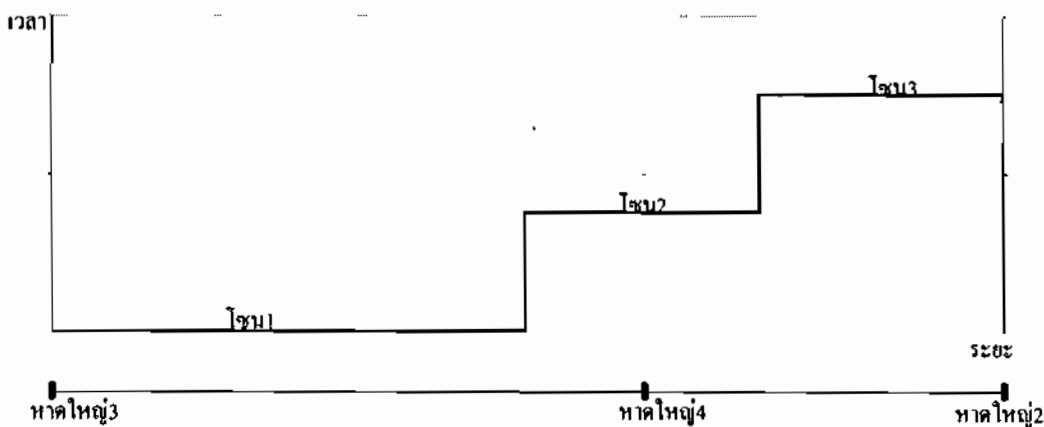
รีเลอร์รัฐทาง

หน้าจอเปลี่ยนกระแส 1200/1 หน้าจอเปลี่ยนแรงดัน 115000/115

โฉน 1 = $0.48 + j2.98$ โอห์ม (9.28 กิโลเมตร) เวลา 0 มิลลิวินาที

โฉน 2 = $0.72 + j4.471$ โอห์ม (13.92 กิโลเมตร) เวลา 150 มิลลิวินาที

โฉน 3 = $0.96 + j5.98$ โอห์ม (18.6 กิโลเมตร) เวลา 300 มิลลิวินาที



ภาพที่ 4-7 ไทร์สเตปป้าโดยограмของรีเลอร์รัฐทางที่สถานีฯหาดใหญ่ 3 ป้องกัน
สายส่งช่วง สถานีฯหาดใหญ่ 3 – สถานีฯหาดใหญ่ 4

4.2.1.4 สถานีฯหาดใหญ่ 4 รีเลอร์รัฐทาง ป้องกันสายส่งช่วงสถานีฯหาดใหญ่ 4 –
สถานีฯหาดใหญ่ 2 ระยะทาง 7 กิโลเมตร กำหนดค่าการทำงานของรีเลอร์รัฐทางไว้ดังนี้

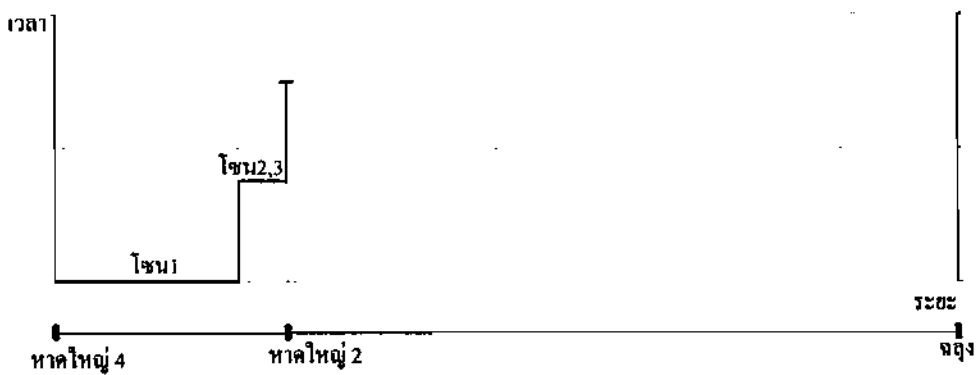
รีเลอร์รัฐทาง

หน้าจอเปลี่ยนกระแส 1200/1 หน้าจอเปลี่ยนแรงดัน 115000/115

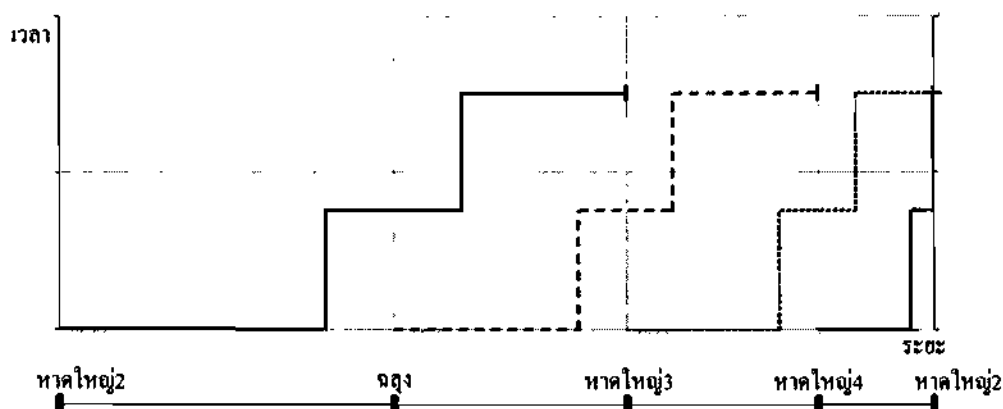
โฉน 1 = $0.29 + j1.80$ โอห์ม (5.6 กิโลเมตร) เวลา 0 มิลลิวินาที

โฉน 2 = $0.36 + j2.25$ โอห์ม (7 กิโลเมตร) เวลา 150 มิลลิวินาที

โฉน 3 = $0.36 + j2.25$ โอห์ม (7 กิโลเมตร) เวลา 300 มิลลิวินาที

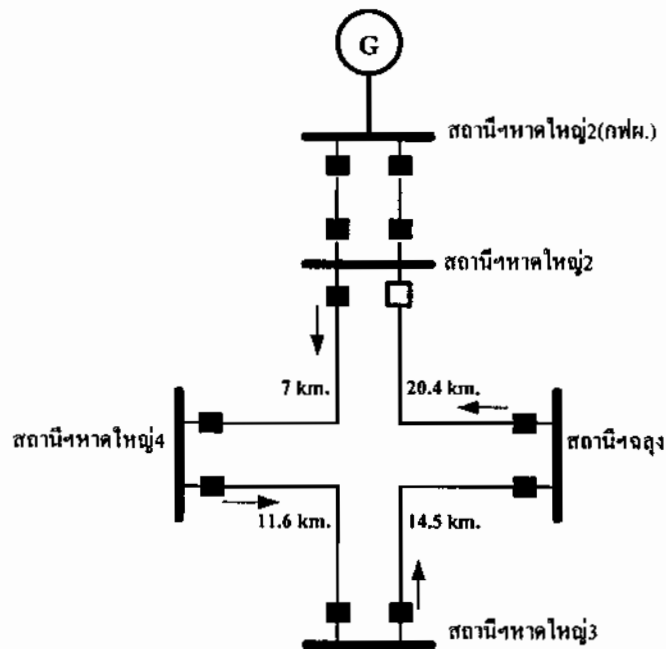


ภาพที่ 4-8 ไทร์สเตปป์โคดะแกรมของรีเลียร์ระยะทางที่สถานีฯ ห้าดใหญ่ 4 ป้องกัน
สายส่งช่วง สถานีฯ ห้าดใหญ่ 4 – สถานีฯ ห้าดใหญ่ 2

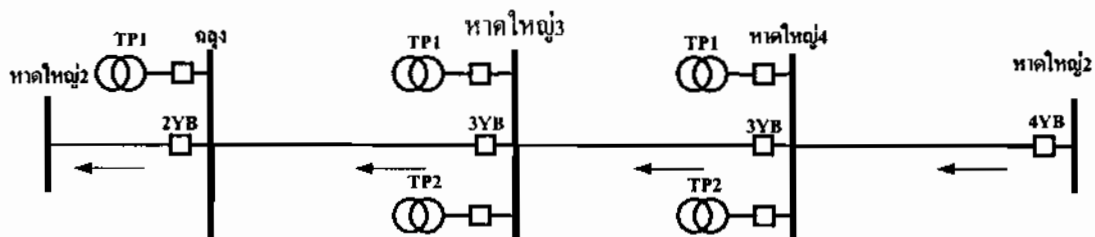


ภาพที่ 4-9 การจัดลำดับการทำงานของรีเลียร์ระยะทาง ที่ดำเนินการต่างๆ ในทิศทางตาม
เงื่อนไขการเมื่อนำมาใช้ในป้องกันสายส่งที่มีการจ่ายไฟแบบโคลตสูป

4.2.2 พิจารณาการให้ลูกของกระแสลัดวงจร และกระแสโนล็อก ในทิศทางทวนเงื่อนไขการ เพื่อ
ใช้ในการกำหนดค่าการทำงานของรีเลีย์โดยจะเปิดเชอร์กิตเบรกเกอร์ค้านข่าวเมื่อของสถานีฯ
ห้าดใหญ่ 2 ไว้



ภาพที่ 4-10 ทิศทางการไหลของกระแสฟอลต์ผ่านเซอร์กิตเบรคเกอร์ในทิศทางทวนเข็มนาฬิกา
ในกรณีที่ มีการจ่ายไฟแบบเรเดียล



ภาพที่ 4-11 ทิศทางการไหลของกระแสฟอลต์ในทิศทางทวนเข็มนาฬิกา เมื่อพิจารณาการ
จ่ายไฟเป็นแบบเรเดียล

4.2.2.1 สถานีหาดใหญ่ 2 รีเลอร์ระยะทางป้องกันสายส่งช่วง สถานีหาดใหญ่ 2 –
สถานีหาดใหญ่ 4 ระยะทาง 7 กิโลเมตร ตั้งค่าการทำงานของรีเลอร์ระยะทางไว้ดังนี้

รีเลอร์ระยะทาง

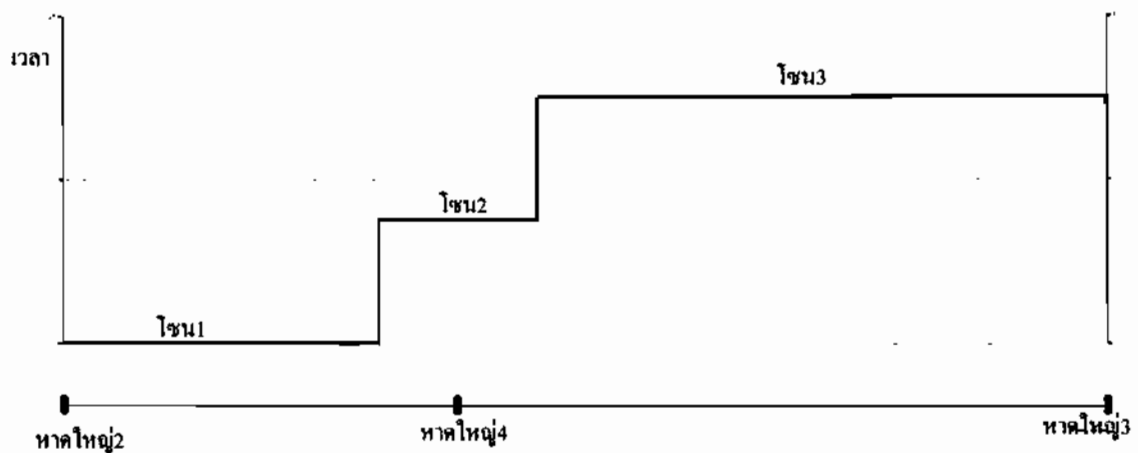
หนึ่งอุปสงค์กระแส 1600/1

หนึ่งอุปสงค์แรงดัน 115000/115

โซน 1 = $0.38 + j2.40$ โอห์ม (5.6 กิโลเมตร) เวลา 0 มิลลิวินาที

โซน 2 = $0.58 + j3.60$ โอห์ม (8.4 กิโลเมตร) เวลา 150 มิลลิวินาที

โซน 3 = $1.28 + j7.97$ โอห์ม (18.6 กิโลเมตร) เวลา 300 มิลลิวินาที



ภาพที่ 4-12 ไทร์สเคป้าโดยограмของรีเลอร์ระยะทางที่ สถานีฯหาดใหญ่ 2 ป้องกัน
สายส่งช่วง สถานีฯหาดใหญ่ 2 – สถานีฯหาดใหญ่ 4

4.2.2.2 สถานีฯหาดใหญ่ 4 รีเลอร์ระยะทางป้องกันสายส่งช่วง สถานีฯหาดใหญ่ 4 –
สถานีฯหาดใหญ่ 3 ระยะทาง 11.6 กิโลเมตร ตั้งค่าการทำงานของรีเลอร์ระยะทางไว้ดังนี้

รีเลอร์ระยะทาง

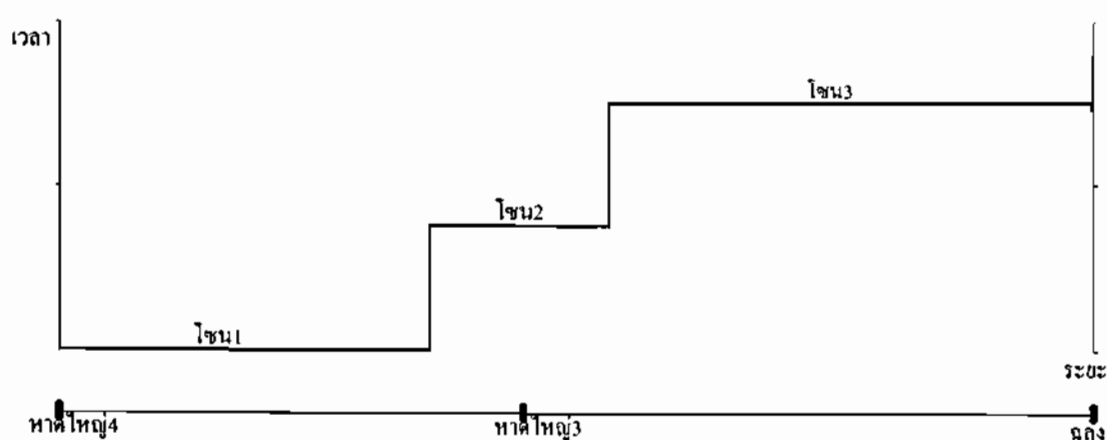
หน้อแปลงกระแส 1200/1

หน้อแปลงแรงดัน 115000/115

โซน 1 = $0.48 + j2.98$ โอม (9.28 กิโลเมตร) เวลา 0 มิลลิวินาที

โซน 2 = $0.72 + j4.47$ โอม (13.92 กิโลเมตร) เวลา 150 มิลลิวินาที

โซน 3 = $1.33 + j8.32$ โอม (25.9 กิโลเมตร) เวลา 300 มิลลิวินาที



ภาพที่ 4-13 แสดงไทร์สเคป้าโดยogramของรีเลอร์ระยะทางที่ สถานีฯหาดใหญ่ 4 ป้องกัน
สายส่งช่วงสถานีฯหาดใหญ่ 4 – สถานีฯหาดใหญ่ 3

4.2.2.3 สถานีฯหาดใหญ่ 3 รีเลย์ระบบทาง ป้องกันสายส่งช่วงสถานีฯหาดใหญ่ 3 - สถานีฯฉลุง ระยะทาง 14.3 กิโลเมตร กำหนดค่าการทำงานของรีเลย์ระบบทางไว้ดังนี้

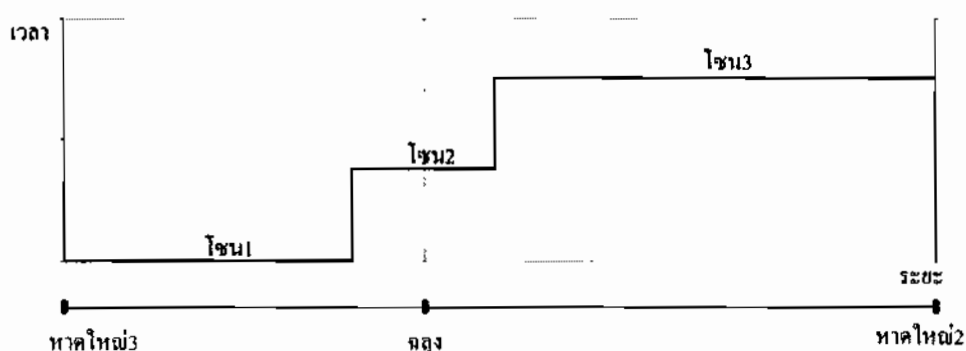
รีเลย์ระบบทาง

หม้อแปลงกระแส 1200/1 หม้อแปลงแรงดัน 115000/115

โซน 1 = $0.59 + j3.68$ โอม (11.44 กิโลเมตร) เวลา 0 มิลลิวินาที

โซน 2 = $0.88 + j5.51$ โอม (17.16 กิโลเมตร) เวลา 150 มิลลิวินาที

โซน 3 = $1.33 + j8.32$ โอม (34.7 กิโลเมตร) เวลา 300 มิลลิวินาที



ภาพที่ 4-14 ไทม์สเตปไปอະແກນของรีเลย์ระบบทางที่ สถานีฯหาดใหญ่ 3 ป้องกัน
สายส่งช่วง สถานีฯหาดใหญ่ 3 - สถานีฯฉลุง

4.2.2.4 สถานีฯฉลุง รีเลย์ระบบทาง (21/21N) ป้องกันสายส่งช่วง สถานีฯ หาดใหญ่ 2 - สถานีฯฉลุง ระยะทาง 20.4 กิโลเมตร กำหนดค่าการทำงานของรีเลย์ระบบทางไว้ดังนี้

รีเลย์ระบบทาง

หม้อแปลงกระแส 1200/1 หม้อแปลงแรงดัน 115000/115

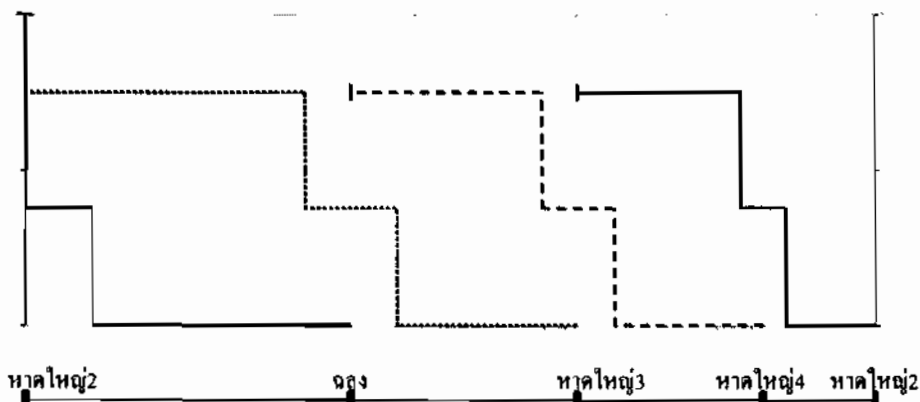
โซน 1 = $0.84 + j5.24$ โอม (16.32 กิโลเมตร) เวลา 0 มิลลิวินาที

โซน 2 = $1.05 + j6.55$ โอม (20.4 กิโลเมตร) เวลา 150 มิลลิวินาที

โซน 3 = $1.05 + j6.55$ โอม (20.4 กิโลเมตร) เวลา 300 มิลลิวินาที



ภาพที่ 4-15 ไทน์สเตปป์ไดอะแกรมของรีเลียร์ระยะทางที่ สถานีฯฉลุง ป้องกัน
สายส่งช่วงสถานีฯฉลุง - สถานีฯหาดใหญ่ 3



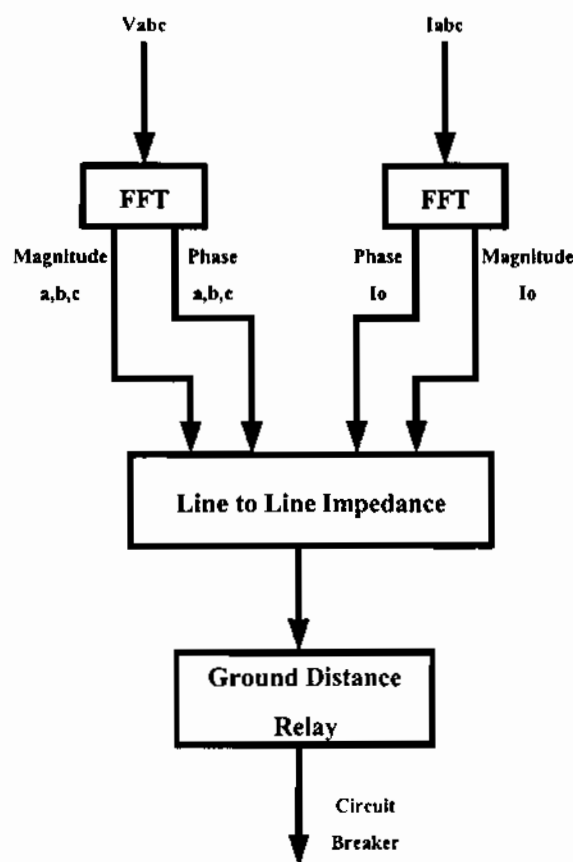
ภาพที่ 4-16 แสดงการจัดลำดับการทำงานของรีเลียร์ระยะทาง ในตำแหน่งต่างๆ ในทิศทางทวน
เข็มนาฬิกาเมื่อนำมาใช้ในการป้องกันสายส่งที่มีการจ่ายไฟแบบโคลสลูป

4.3 การใช้งานแบบจำลองของรีเลียร์ระยะทางในโปรแกรม PSCAD/EMTDC

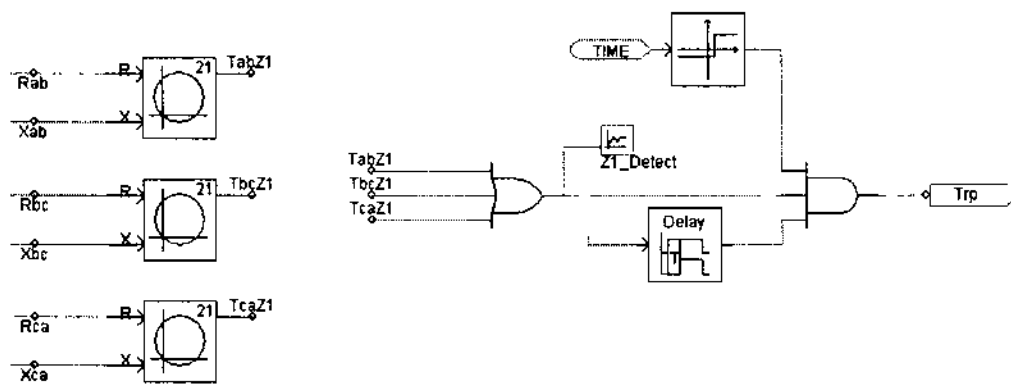
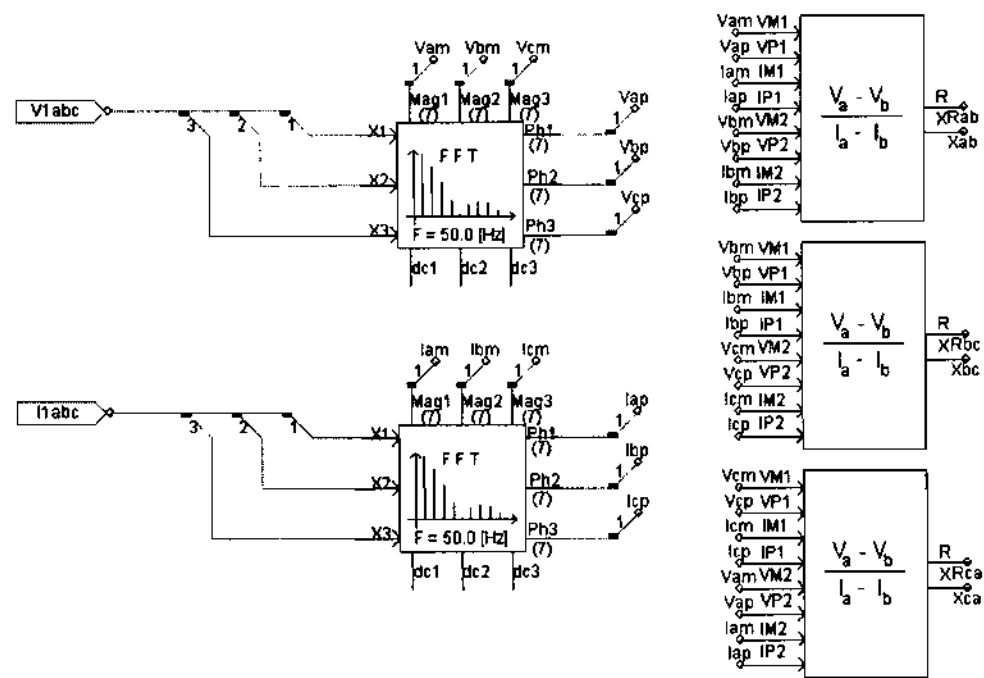
เนื่องจากรีเลียร์ระยะทางที่กล่าวมาแล้วในบทที่ 2 รีเลียร์ระยะทางเพียงตัวเดียวไม่สามารถใช้ป้องกัน การเกิดฟอลต์ได้ทุกชนิดเนื่องจากการเกิดฟอลต์มีทั้งการเกิดฟอลต์ทางค้านเฟส และการเกิดฟอลต์ทางค้านกราวด์ เพราะฉะนั้นในการป้องกันสายส่งโดยการใช้รีเลียร์ระยะทางนั้นจะใช้รีเลียร์ระยะทางในการป้องกัน 6 ชุดต่อ 1 โดยการป้องกัน แบ่งเป็นชุดป้องกันทางเฟส 3 ชุดป้องกันชุดป้องกันทางค้านกราวด์ 3 ชุดป้องกัน

4.3.1 การสร้างแบบจำลองของรีเลียร์ระยะทางที่จะนำมาใช้เป็นชุดป้องกันทางค้านเฟส จากภาพที่ 4-15 จะเห็นว่าเราใช้สัญญาณแรงดัน และกระแสจากค้านทุกภูมิของหม้อแปลงกระแส และหม้อแปลงแรงดันในการผ่านเข้าบล็อกของฟاستฟอร์เรย์ทรานซ์ฟอร์ม (Fast Fourier Transform)

เพื่อแยกไฟฟ้า และขนาดของกระแสและแรงดันออกจากกัน หลังจากนั้นก็ผ่านสัญญาณเข้าไปที่คำนวณหาอิมพีเดนซ์ที่บล็อกคำนวณอิมพีเดนซ์ของเฟส และทำการเปรียบเทียบอินพีเดนซ์ในบล็อกของรีเลย์ระบบทางด้านไฟฟ้า

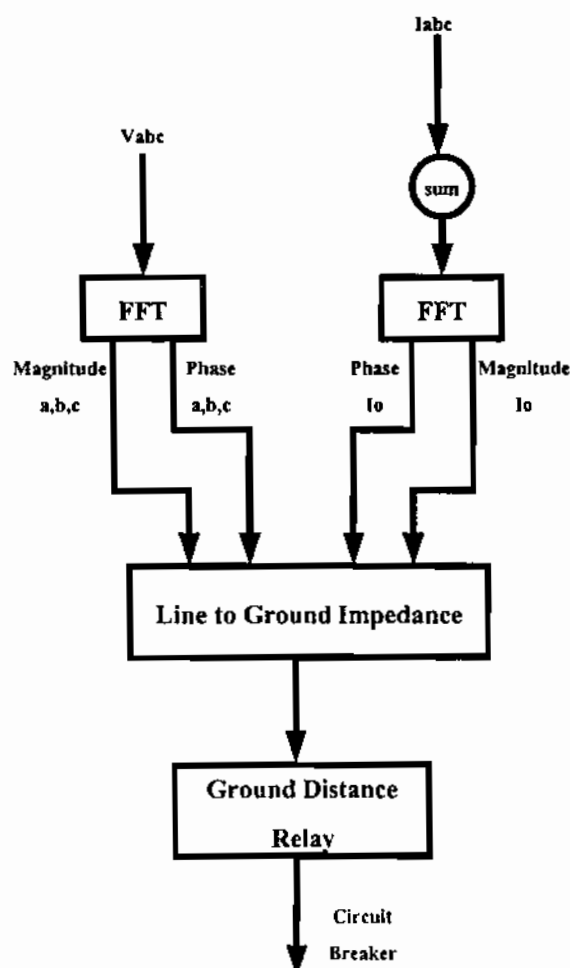


ภาพที่ 4-17 ขั้นตอนการใช้งานโมเดลของรีเลย์ระบบทางในโปรแกรม PSCAD/EMTDC
เพื่อป้องกันฟอลต์ทางด้านไฟฟ้า

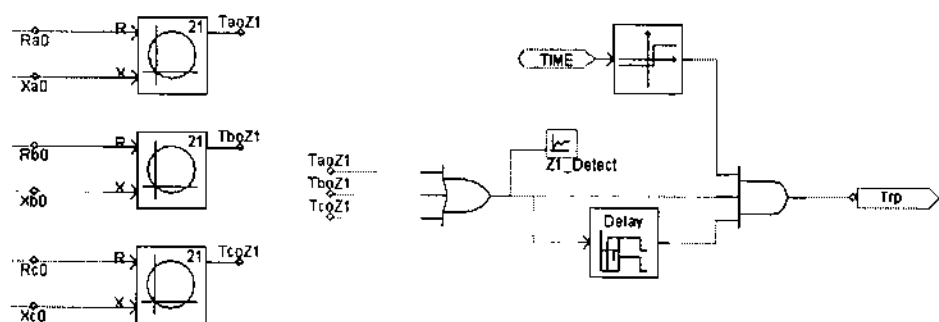
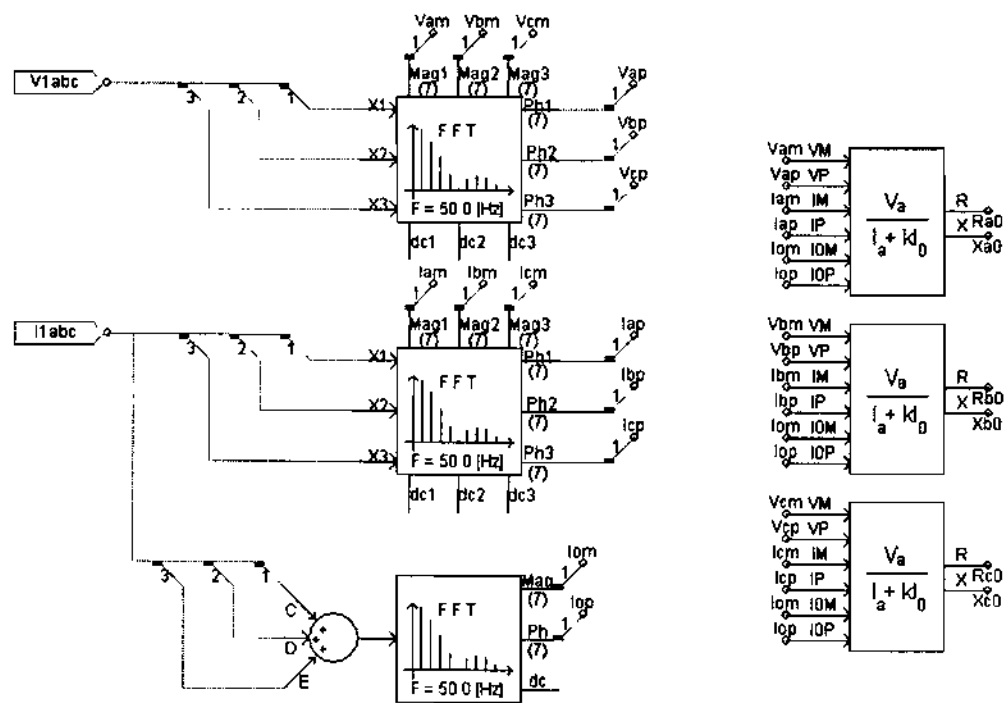


ภาพที่ 4-18 การใช้งานโมเดลของรีเลียร์ระยะทางในโปรแกรม PSCAD/EMTDC เพื่อใช้ป้องกันฟอลต์ทางด้านไฟส

4.3.2 การสร้างแบบจำลองของรีเลียร์ระบบทางที่จะนำมาใช้เป็นชุดป้องกันทางด้านกราว์ จากภาพที่ 4-19 จะเห็นว่าชุดป้องกันทางด้านกราว์นอกจากเราใช้สัญญาณแรงดัน และกระแสจากด้านทุติยภูมิของหน้าแปลงกระแส และหน้าแปลงแรงดัน ขึ้นมา มีกระแสลักษณะคลื่นอยู่ ผ่านเข้าบล็อกของFFT แล้วนำค่าของกระแสและแรงดันออกจากกัน หลังจากนั้นก็ผ่านสัญญาณเข้าไปที่คำนวณหาอินพีเดนซ์ที่บล็อกคำนวณอินพีเดนซ์ของเฟส และทำการเปรียบเทียบอินพีเดนซ์ใน บล็อกของรีเลียร์ระบบทางด้านกราว์

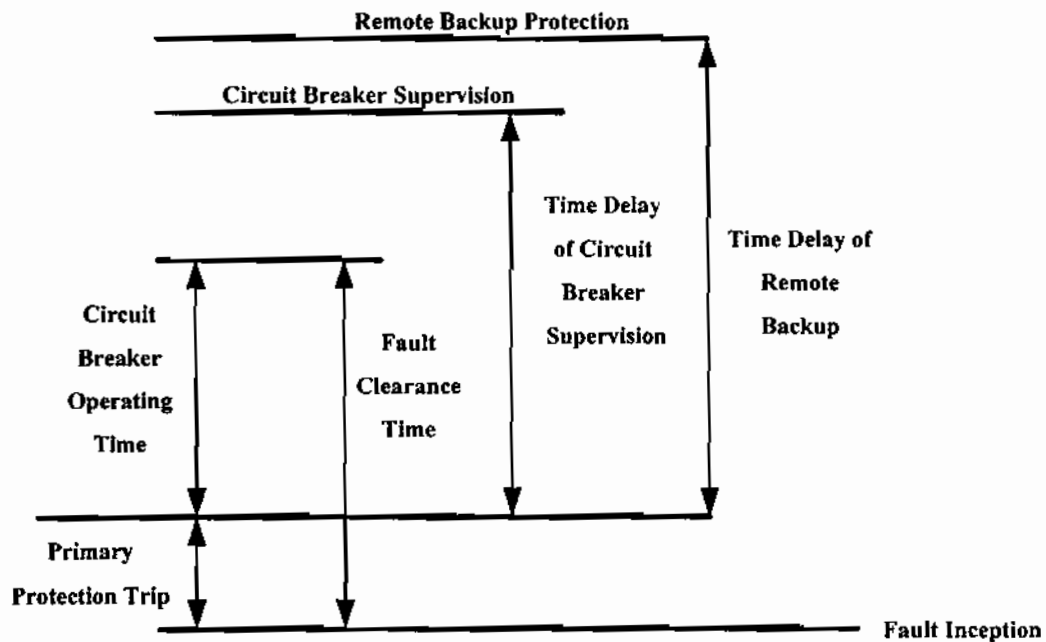


ภาพที่ 4-19 ขั้นตอนการใช้งานโมเดลของรีเลียร์ระบบทางในโปรแกรม PSCAD/EMTDC เพื่อป้องกันฟอลต์ทางด้านกราว์



ภาพที่ 4-20 ขั้นตอนการใช้งานโนแมลของรีเลียร์ระยะทางในโปรแกรม PSCAD/EMTDC
เพื่อป้องกันฟอลต์ทางด้านกราวด์

4.4 การกำหนดค่าการทำงานของรีเลย์เบรกเกอร์เฟลเดอร์



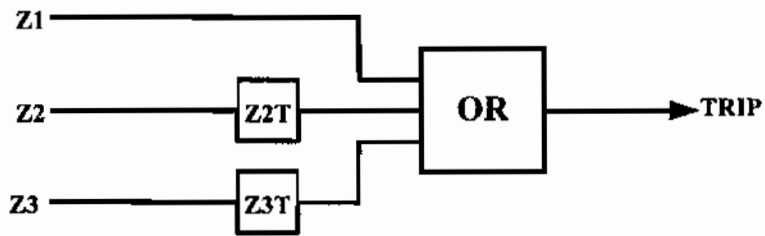
ภาพที่ 4-21 การทำงานของรีเลย์เบรกเกอร์เฟลเดอร์

การกำหนดค่าการทำงานของรีเลย์เบรกเกอร์เฟลเดอร์ ซึ่งทำงานเป็นระบบป้องกันสำรองที่อยู่ในสถานีไฟฟ้าเดียวกับรีเลย์ป้องกันหลัก สำหรับในการชนนี้ ได้กำหนดให้รีเลย์เบรกเกอร์เฟลเดอร์ทำงานที่เวลา 100 มิลลิวินาที ซึ่งเร็วกว่าเวลาการทำงานของโซน 2 ของรีเลย์ระยะทางที่อยู่ในสถานีดังไป

บทที่ 5

ผลการทดสอบการทำงานของรีเลย์ระบบทาง

การทดสอบการทำงาน ของรีเลย์ระบบทางที่ใช้ในการป้องกันของสายส่ง 115 กิโลโวัตต์ ที่มีการจ่ายไฟแบบอุปปีด โดยจะนำเอารีเลย์ระบบทางที่ไม่มีระบบสื่อสารมาใช้ในการป้องกันซึ่ง ปกติแล้วรีเลย์ระบบทางนี้ จะใช้ในการป้องกันสายส่ง 115 กิโลโวัตต์ ที่มีจ่ายไฟแบบเรเดียลโดยโซน 1 จะทำงานแบบทันทีทันใด ส่วนโซน 2 และโซน 3 จะทำงานแบบมีการหน่วงเวลา ดังแสดง ในภาพที่ 5-1



ภาพที่ 5-1 การทำงานของรีเลย์ระบบทาง

5.1 การทดสอบการทำงานของรีเลย์ระบบทางเมื่อกีดฟอลต์ขึ้นในระบบไฟฟ้าในกรณีต่างๆ

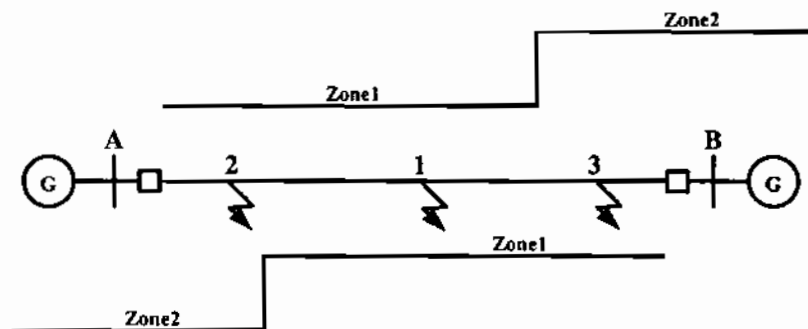
การทดสอบการทำงานของรีเลย์ระบบทาง ที่นำมาป้องกันสายส่ง 115 กิโลโวัตต์ ที่มีการจ่ายไฟแบบอุปปีดนั้น ในการทดสอบโดยใช้โปรแกรม PSCAD/EMTDC จะสมมติให้เกิดฟอลต์ในตำแหน่งต่างๆ ดังแสดงในภาพที่ 5-2 เพื่อคุณลักษณะการทำงานของอุปกรณ์ป้องกันแต่ละตัวที่ได้กำหนดไว้ว่าทำงานได้สัมพันธ์กันหรือไม่โดยมีการตั้งข้อสมมติฐานดังนี้ดังนี้

5.1.1 กรณีที่เกิดฟอลต์ในตำแหน่งที่ 1 แสดงในภาพที่ 5-2 รีเลย์ที่ สถานี A และ สถานี B จะทำงานคู่กับโซน 1 เพื่อตัดวงจรกระแสฟอลต์ออกจากระบบ แบบทันทีทันใดโดยไม่มี การหน่วงเวลา

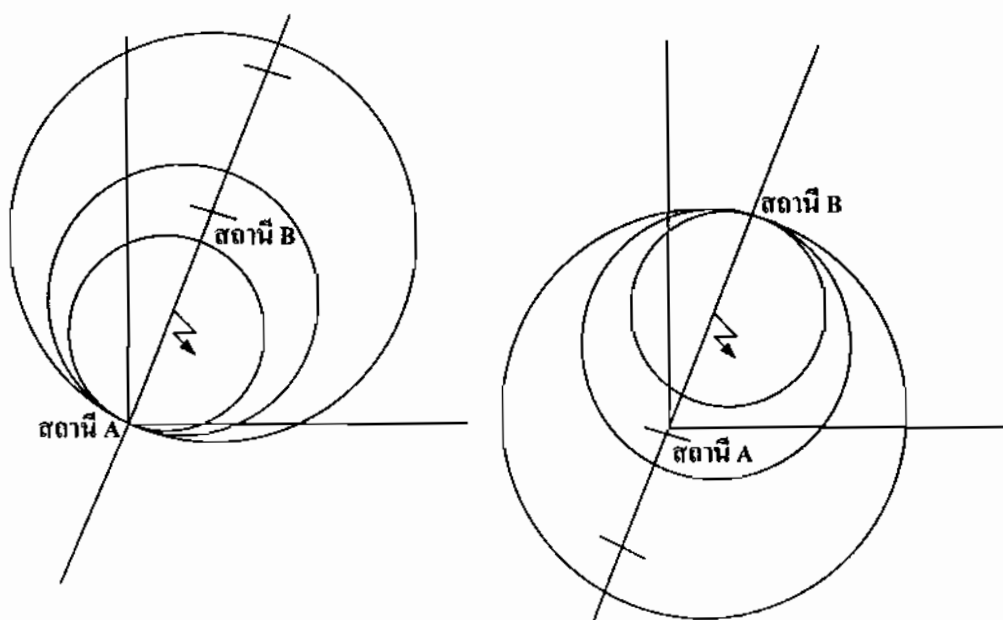
5.1.2 กรณีที่เกิดฟอลต์ในตำแหน่งที่ 2 แสดงในภาพที่ 5-2 เมื่อจากฟอลต์ที่เกิดขึ้นอยู่ภายในโซนรีเลย์ที่สถานี A จึงทำงานคู่กับ โซนแบบทันทีทันใดไม่มีการหน่วงเวลาเพื่อตัดกระแสฟอลต์ และรีเลย์ที่สถานี B จะเห็นฟอลต์ที่เกิดขึ้นอยู่ภายนอกโซน 1 แต่อยู่ใน โซน 2 จึงทำให้ไม่สามารถ

ทำงานแบบทันทีทันใจด้วยโซน 1 ได้แต่จะทำงานคัวห์โซน 2 แทน และหน่วงเวลาไว้ประมาณ 150 มิลลิวินาที

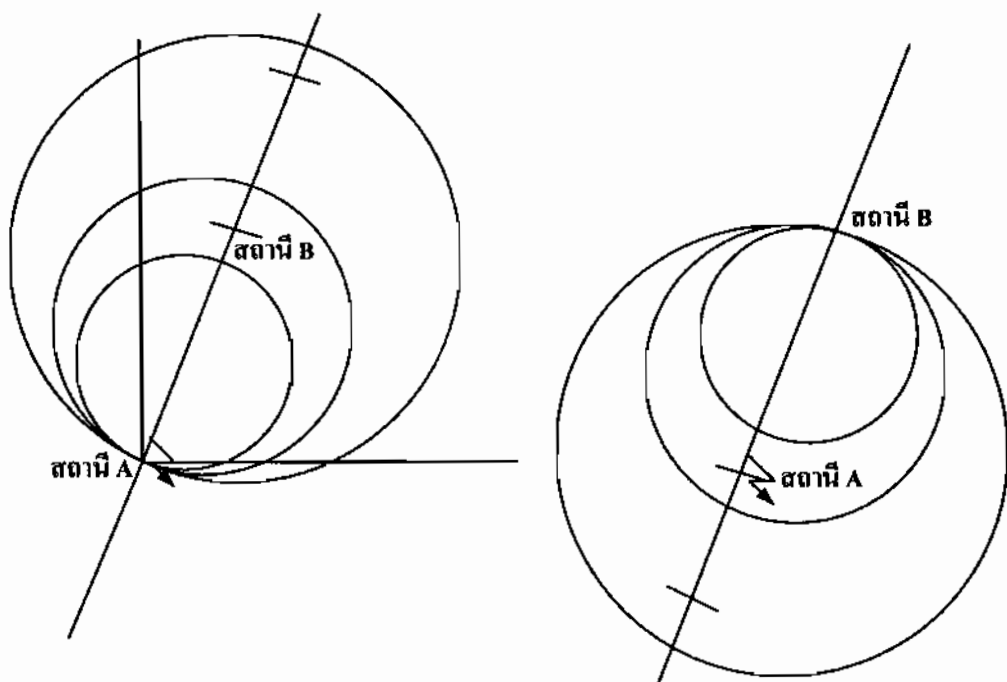
4.1.3 กรณีที่เกิดฟอลต์ในตำแหน่งที่ 3 แสดงในภาพที่ 4-2 การทำงานของรีเลย์กึ่งเหนืออนกับในกรณีที่ 2 แต่จะสับกันตรงที่รีเลย์ที่สถานี B จะทำงานก่อนคัวห์โซน 1 และรีเลย์ที่สถานี A จึงจะทำงานคัวห์โซน 2



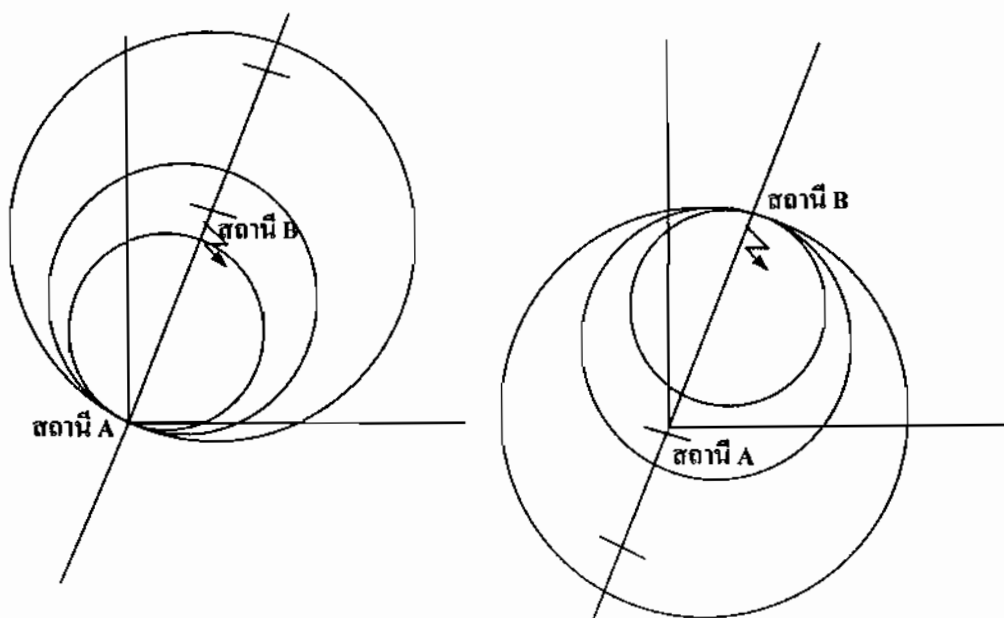
ภาพที่ 5-2 ตำแหน่งการเกิดฟอลต์ที่เกิดขึ้นในสายส่ง



ภาพที่ 5-3 ตำแหน่งการเกิดฟอลต์ที่เกิดขึ้นในสายส่งในกรณีที่ 1



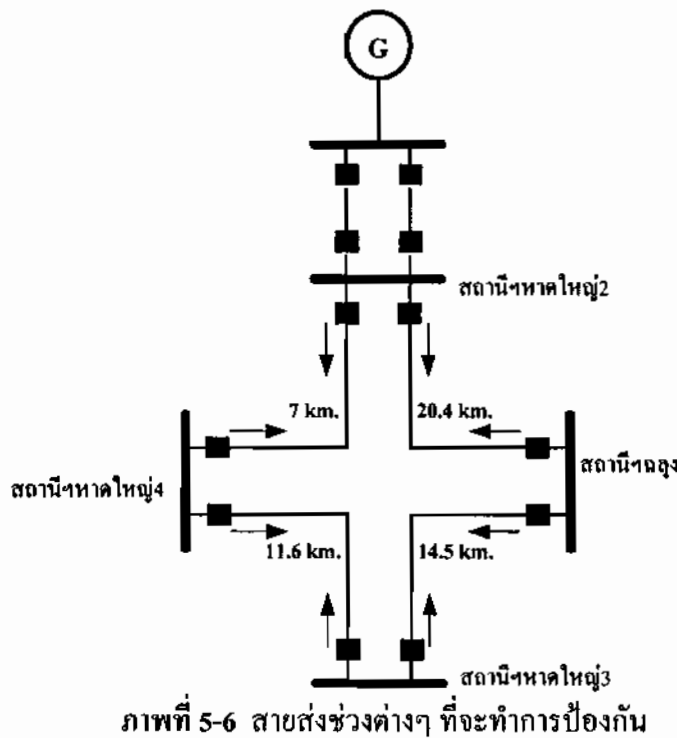
ภาพที่ 5-4 ดำเนินการเกิดฟอลต์ที่เกิดขึ้นในสายส่งในกรณีที่ 2



ภาพที่ 5-5 ดำเนินการเกิดฟอลต์ที่เกิดขึ้นในสายส่งในกรณีที่ 3

การทดสอบการทำงานของรีเลย์ระยะทางที่จะใช้ป้องกันสายส่งที่มีการจ่ายไฟแบบโคลสูปนั้น สายส่งที่จะนำมาทดสอบการทำงานของรีเลย์ระยะทางจะใช้สายส่งช่วง สถานีฯหาดใหญ่ 2

สถานีฯฉลุง, สถานีฯหาดใหญ่ 3 และสถานีฯหาดใหญ่ 4 ที่ได้มีการกำหนดค่าการทำงานของรีเลย์ไว้แล้วในบทที่ 4 โดยสภาพการจ่ายไฟของสายส่งช่วงดังกล่าวแสดงในภาพที่ 5-3



5.2 การทดสอบการทำงานของรีเลย์ระยะทางเมื่อเกิดฟault ขึ้นในระบบไฟฟ้าเพียง 1 จุด

การทดสอบการทำงานของรีเลย์ระยะทางโดยใช้โปรแกรม PSCAD/EMTDC นั้น ใน 1 ของ รีเลย์ระยะทางจะถูกหน่วงเวลาไว้ที่ 20 มิลลิวินาที และเวลาในการทำงานของรีเลย์จะอยู่ที่ประมาณ 23 มิลลิวินาที เพราะฉะนั้น ใน 1 ของรีเลย์ในโปรแกรม PSCAD/EMTDC จะทำงานที่เวลา 43 มิลลิวินาที ส่วน ใน 2 และ ใน 3 จะถูกหน่วงเวลาไว้ที่ 150 มิลลิวินาที และ 300 มิลลิวินาที เพราะฉะนั้น รีเลย์ที่ ใน 2 และ ใน 3 จะทำงานที่เวลา 173 มิลลิวินาที และเวลา 323 มิลลิวินาที

ตารางที่ 5-1 เวลาการทำงานของอุปกรณ์ป้องกันของสายส่งช่วงสถานีฯหาดใหญ่ 2 – สถานีฯฉลุง

สายส่งช่วง	หาดใหญ่ 2 - ฉลุง							
	Fault	Single Line to Ground		Line to Line to Ground		Line to Line		Three Phase Fault
CB ที่	หาดใหญ่ 2	ฉลุง	หาดใหญ่ 2	ฉลุง	หาดใหญ่ 2	ฉลุง	หาดใหญ่ 2	ฉลุง
กรณีที่ 1	41 ms.	41 ms.	37 ms.	47 ms.	45 ms.	51 ms.	37 ms.	39 ms.
กรณีที่ 2	41 ms.	205 ms.	33 ms.	178 ms.	41 ms.	209 ms.	35 ms.	170 ms.
กรณีที่ 3	174 ms.	41 ms.	170 ms.	39 ms.	178 ms.	43 ms.	168 ms.	37 ms.

ตารางที่ 5-2 เวลาการทำงานของอุปกรณ์ป้องกันของสายส่งช่วงสถานีฯฉลุง – สถานีฯหาดใหญ่ 3

สายส่งช่วง		ฉลุง – หาดใหญ่ 3							
Fault		Single Line to Ground		Line to Line to Ground		Line to Line		Three Phase Fault	
CB ที่		ฉลุง	หาดใหญ่ 3	ฉลุง	หาดใหญ่ 3	ฉลุง	หาดใหญ่ 3	ฉลุง	หาดใหญ่ 3
กรณีที่ 1	41	41	39	47	43	49	41	39	
กรณีที่ 2	41	174	39	172	45	178	37	170	
กรณีที่ 3	174	41	170	39	178	43	170	37	

ตารางที่ 5-3 เวลาการทำงานของอุปกรณ์ป้องกันสายส่งช่วงสถานีฯหาดใหญ่ 3 – สถานีฯหาดใหญ่ 4

สายส่งช่วง		หาดใหญ่ 3 – หาดใหญ่ 4							
Fault		Single Line to Ground		Line to Line to Ground		Line to Line		Three Phase Fault	
CB ที่		หาดใหญ่ 3	หาดใหญ่ 4	หาดใหญ่ 3	หาดใหญ่ 4	หาดใหญ่ 3	หาดใหญ่ 4	หาดใหญ่ 3	หาดใหญ่ 4
กรณีที่ 1	41	41	49	45	47	39	41	41	
กรณีที่ 2	41	174	178	41	211	47	170	37	
กรณีที่ 3	174	41	45	170	45	178	41	170	

ตารางที่ 5-4 เวลาการทำงานของอุปกรณ์ป้องกันของสายส่งช่วงสถานีฯหาดใหญ่ 4 – สถานีฯหาดใหญ่ 2

สายส่งช่วง		หาดใหญ่ 4 – หาดใหญ่ 2							
Fault		Single Line to Ground		Line to Line to Ground		Line to Line		Three Phase Fault	
CB ที่		หาดใหญ่ 4	หาดใหญ่ 2	หาดใหญ่ 4	หาดใหญ่ 2	หาดใหญ่ 4	หาดใหญ่ 2	หาดใหญ่ 4	หาดใหญ่ 2
กรณีที่ 1	41	41	41	47	49	45	47	39	
กรณีที่ 2	205	41	178	41	219	45	197	37	
กรณีที่ 3	41	174	170	45	178	45	41	170	

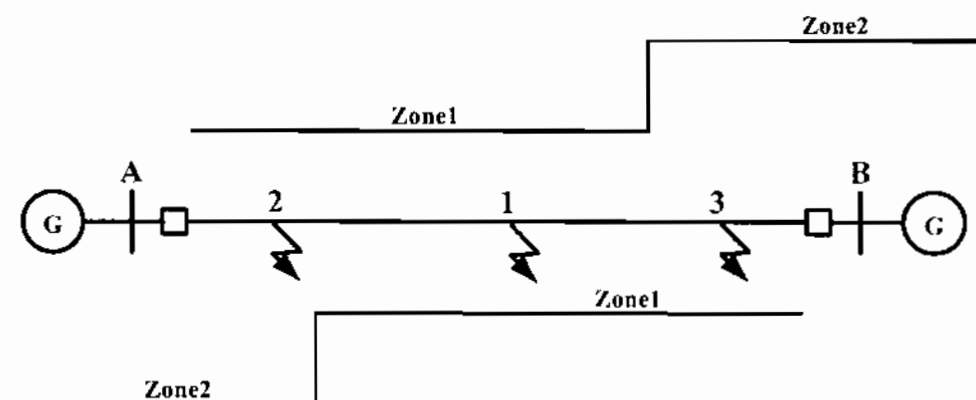
จากผลการทดสอบการทำงานของอุปกรณ์ป้องกันพบว่า เรียบง่ายและทางทำงานได้ถูกต้อง ตามที่ได้ตั้งข้อสมมติฐานไว้ โดยในช่วง 1 ทำงานที่เวลา 41 มิลลิวินาทีและช่วง 2 ทำงานที่เวลา 174 มิลลิวินาที จากตารางที่ 5-1 และตารางที่ 5-4 พบว่าที่โซน 2 ของสถานีฯฉลุง และโซน 2 ของ

สถานีฯหาดใหญ่ 5 มีเวลาในการทำงานของรีเลย์ตัวແහນ່ນິ້ນາກວ່າการทำงานของรีເລຍ໌ຮະບະທາງໂຈນ 2 ຂອງຕຳແຫ່ນ່ງອື່ນໆ

ສາຫຼຸດທີ່ກຳໄຂຮູບຮະບະທາງໂຈນ 2 ທີ່ສານີ້ຄຸງ ແລະ ສານີ້ຫາດໃຫຍ່ 4 ໃຊ້ເວລາການໃນການປຶກກັນ ກາຣເກີດຝອລົດທີ່ເກີດຂຶ້ນໃນຕຳແຫ່ນ່ງທີ່ 2 ຈຶ່ງນາກກວ່າເວລາການການປຶກກັນຂອງຮູບຮະບະທາງຕົວອື່ນໆ ເນື່ອງຈາກກາຣເກີດຝອລົດທີ່ຕຳແຫ່ນ່ງທີ່ 2 ເກີດຂຶ້ນໃນຕຳແຫ່ນ່ງທີ່ໄກລັກັນ ສານີ້ຫາດໃຫຍ່ 2 ຈຶ່ງຄືວ່າເປັນສານີ້ໄຟຟ້າດັ່ງການ ແລະຄືວ່າເປັນແທລ່ງພລິຕິຂອງຮະບະນົມໂຄລສຸປັບ ຈຶ່ງຈະກຳໄຟ້ ຊອຣ໌ສອນພິແຄນ໌ (Source Impedance) ທີ່ອູ່ຢູ່ຂ້າງໜັງຮູບຮະບະທີ່ສານີ້ຄຸງ ແລະ ສານີ້ຫາດໃຫຍ່ 4 ມີຄ່ານາກກວ່າ ຊອຣ໌ສອນພິແຄນ໌ ທີ່ອູ່ຢູ່ຂ້າງໜັງຮູບຮະບະທີ່ສານີ້ຫາດໃຫຍ່ 2 ມາກາ ຈຶ່ງກຳໄຟ້ຝອລົດທີ່ເກີດຂຶ້ນໃນສາຍສ່ງ ບຣິວເນໄກລັກັນ ສານີ້ຫາດໃຫຍ່ 2 ມີກະແສຟອລົດໄຫລຜ່ານຮູບຮະບະທີ່ສານີ້ຫາດໃຫຍ່ 2 ມາກກວ່າ ກະແສຟອລົດທີ່ໄຫລຜ່ານ ສານີ້ຄຸງ ແລະ ສານີ້ຫາດໃຫຍ່ 4 ຈຶ່ງກຳໄຟ້ຮູບຮະບະທີ່ສານີ້ຄຸງ ແລະ ສານີ້ຫາດໃຫຍ່ 4 ມອງເຫັນກະແສຟອລົດເປັນກະແສໄຫລດຫຼືອມອງໄນ້ເຫັນກະແສຟອລົດ [19] ດັ່ງນັ້ນຮູບຮ່າຍໃນ 2 ຕຳແຫ່ນ່ງນີ້ ຈຶ່ງຍັງໄໝການ ແຕ່ລັງຈາກທີ່ຮູບຮະບະທີ່ສານີ້ຫາດໃຫຍ່ 2 ທຳມະດັດ ກະແສຟອລົດອອກຈາກຮະບະນົມໄຟຟ້າແກ້ວ ຮູບຮະບະທາງທີ່ສານີ້ຄຸງ ແລະ ສານີ້ຫາດໃຫຍ່ 4 ຈຶ່ງຈະກຳໄຟ້ໃນການຕັດກະແສຟອລົດອອກຈາກຮະບະນົມໄຟຟ້າແກ້ວ

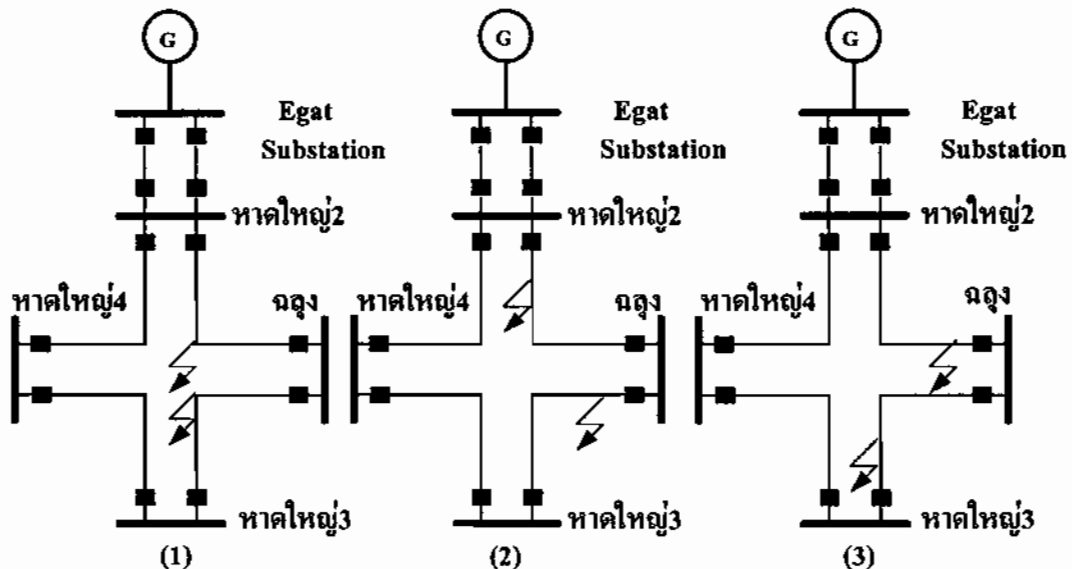
5.3 ກາຣທດສອບການການປຶກກັນຂຶ້ນໃນຮະບະນົມໄຟຟ້າແກ້ວອັນກັນ 2 ຈຸດ

ກາຣທດສອບການການປຶກກັນຂຶ້ນໃນຮະບະນົມໄຟຟ້າແກ້ວອັນກັນ 2 ຈຸດ ສາມາດກຳໄຟ້ໂດຍການຈໍາລັງ ການການປຶກກັນຂຶ້ນໃນຮະບະນົມໄຟຟ້າແກ້ວອັນກັນໂດຍໃຊ້ໂປຣແກຣມ PSCAD/EMTDC ໂດຍຈະກຳຫຼັດໃຫ້ເກີດຝອລົດ 2 ຈຸດ ໃນຕຳແຫ່ນ່ງຕ່າງໆານສາຍສ່ງ ດັ່ງແສດງໃນກາພທີ 5-4

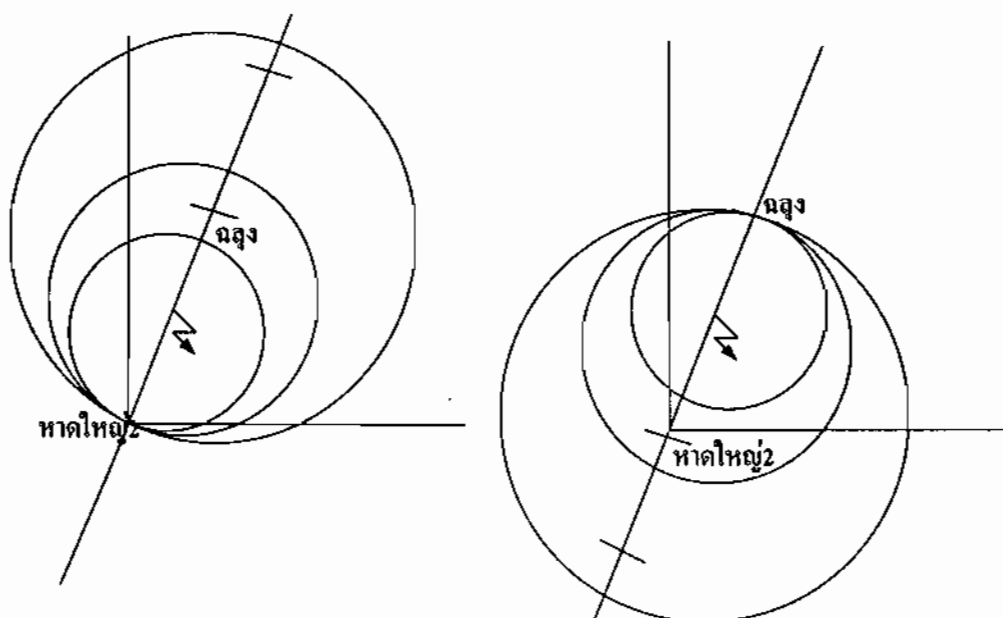


ກາພທີ 5-7 ຕຳແຫ່ນ່ງຂອງກາຣເກີດຝອລົດໃນຮະບະນົມໄຟຟ້າແກ້ວອັນກັນ 2 ຈຸດ

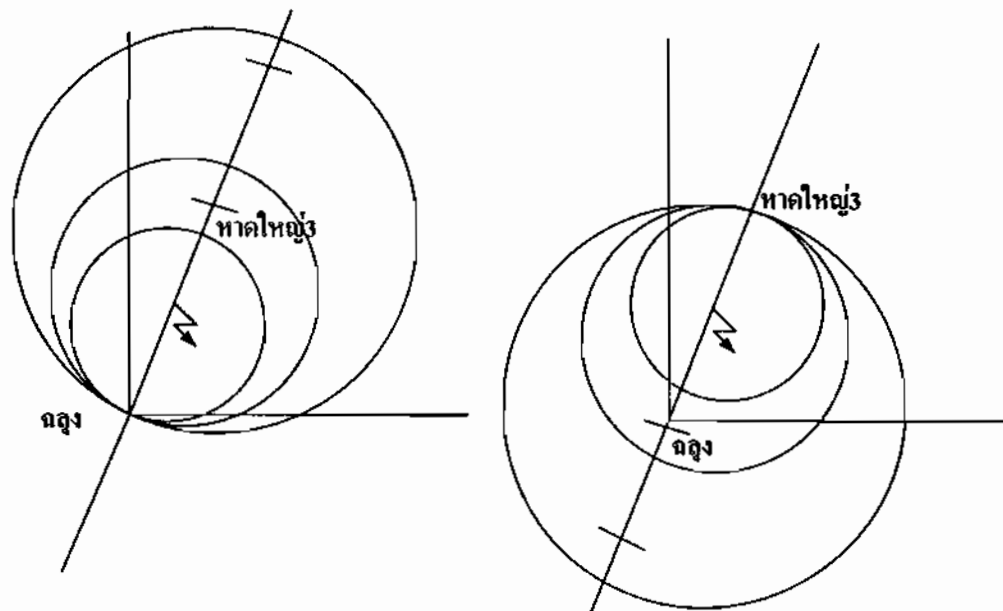
5.3.1 การเกิดฟอลต์พร้อมกัน 2 จุดในสายส่งช่วง สถานีฯหาดใหญ่ 2 – สถานีฯฉลุง และ สายส่งช่วง สถานีฯฉลุง – สถานีฯหาดใหญ่ 3 โดยจะกำหนดให้เกิดฟอลต์ ในตำแหน่งที่ 1 ขึ้นพร้อมกัน ฟอลต์ในตำแหน่งที่ 2 เกิดขึ้นพร้อมกัน และการเกิดฟอลต์ในตำแหน่งที่ 3 เกิดขึ้นพร้อมกัน ของสาย ส่งทั้ง 2 ช่วง โดยมีผลการทำงานดังต่อไปนี้



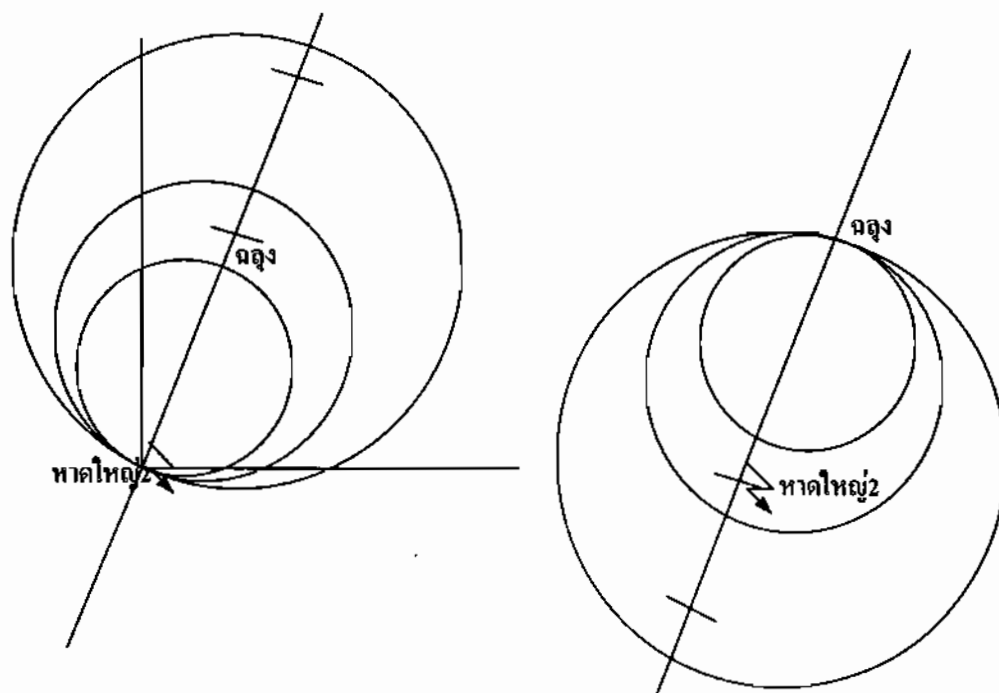
ภาพที่ 5-8 การเกิดฟอลต์ขึ้นพร้อมกันในสายส่งช่วง สถานีฯหาดใหญ่ 2 – สถานีฯฉลุง และ สายส่งช่วง สถานีฯฉลุง – สถานีฯหาดใหญ่ 3 ในกรณีที่ 1 กรณีที่ 2 และ กรณีที่ 3



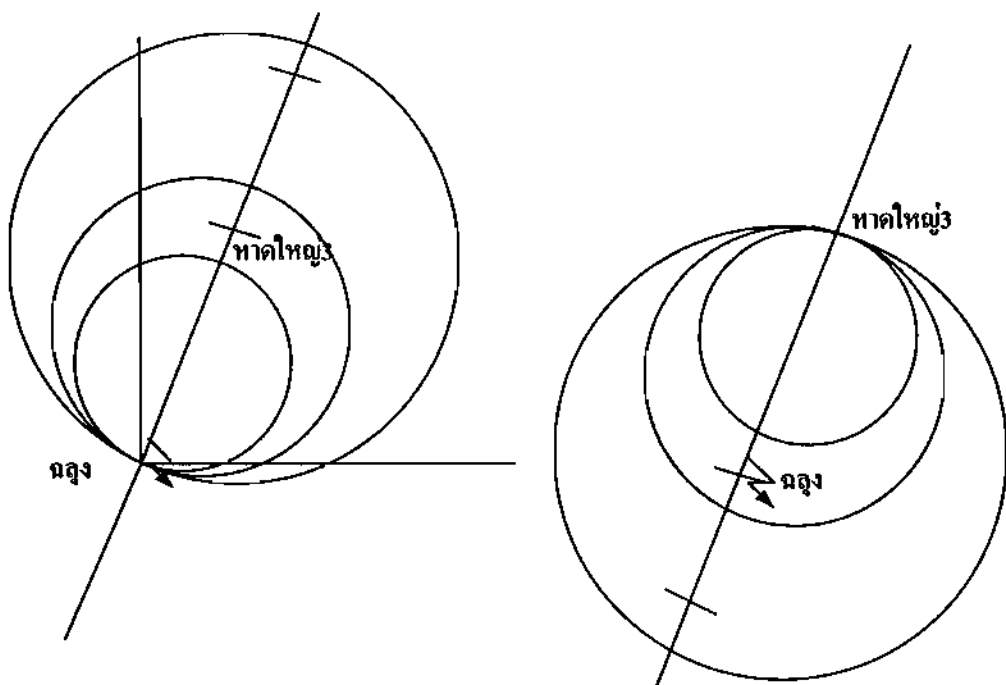
ภาพที่ 5-9 การเกิดฟอลต์ขึ้นในสายส่งช่วง สถานีฯหาดใหญ่ 2 – สถานีฯฉลุงในกรณีที่ 1



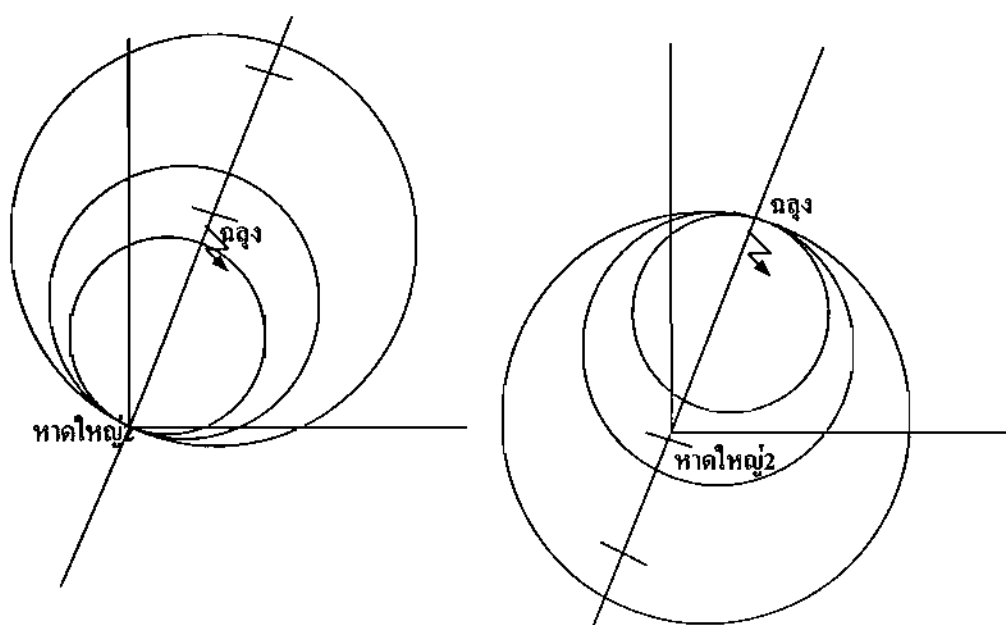
ภาพที่ 5-10 การเกิดฟองต์ขึ้นในสายสัมผัสระหว่างสถานีฯลุ่ง – สถานีฯห้าดใหญ่ 3 ในกรณีที่ 1



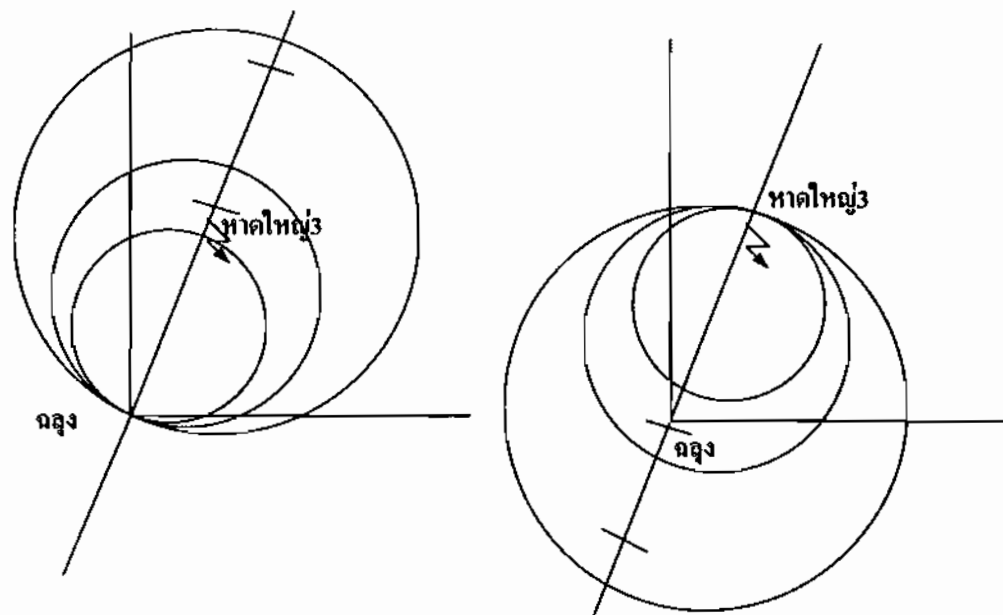
ภาพที่ 5-11 การเกิดฟองต์ขึ้นในสายสัมผัสระหว่าง สถานีฯห้าดใหญ่ 2 – สถานีฯลุ่งในกรณีที่ 2



ภาพที่ 5-12 การเกิดฟoldต์ชิ้นในสายสัมผัสร่วมสถานีฯมลูง – สถานีฯห้าดใหม่ 3 ในกราฟที่ 2



ภาพที่ 5-13 การเกิดฟoldต์ชิ้นในสายสัมผัสร่วม สถานีฯห้าดใหม่ 2 – สถานีฯมลูงในกราฟที่ 3



ภาพที่ 5-14 การเกิดฟอลต์ขึ้นในสายสั่งช่วงสถานีฉลุย – สถานีหาดใหญ่ 3 ในกรณีที่ 3

ตารางที่ 5-5 เวลาการทำงานของอุปกรณ์ป้องกันของสายสั่ง สถานีหาดใหญ่ 2 – สถานีฉลุย และ สถานีฉลุย – สถานีหาดใหญ่ 3 ในกรณีการเกิดฟอลต์ในสายสั่งทั้ง 2 พร้อมกัน
ในกรณีเกิดการลัดวงจรแบบ 1 เฟสลงคิน

สายสั่งช่วง		หาดใหญ่ 2 - ฉลุย		ฉลุย - หาดใหญ่ 3	
CB ที่	หาดใหญ่ 2	ฉลุย	ฉลุย	หาดใหญ่ 3	
กรณีที่ 1	41	-	43	43	
กรณีที่ 2	37	-	47	205	
กรณีที่ 3	172	43	43	43	

ตารางที่ 5-6 เวลาการทำงานของอุปกรณ์ป้องกันของสายส่ง สถานีฯหาดใหญ่ 2 – สถานีฯฉลุง และสถานีฯฉลุง – สถานีฯหาดใหญ่ 3 ในกรณีการเกิดไฟอลต์ในสายส่งทั้ง 2 พร้อมกันในการณีกิคฟอลต์แบบ เพลสกับเพลสลงคิน

สายส่งช่วง	หาดใหญ่ 2 - ฉลุง		ฉลุง – หาดใหญ่ 3	
CB ที่	หาดใหญ่ 2	ฉลุง	ฉลุง	หาดใหญ่ 3
กรณีที่ 1	37	-	-	43
กรณีที่ 2	33	62	-	180
กรณีที่ 3	168	-	-	39

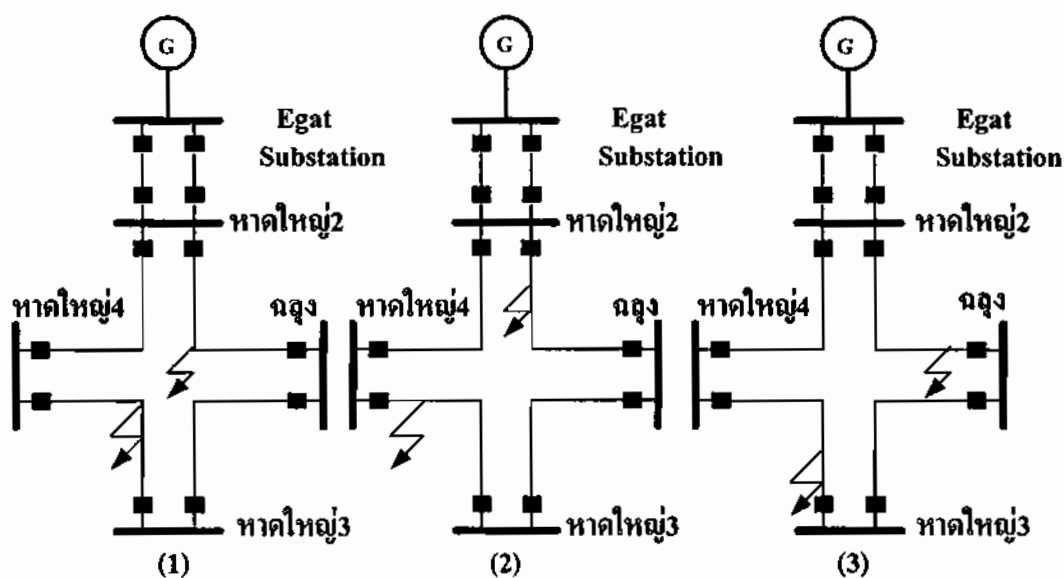
ตารางที่ 5-7 เวลาการทำงานของอุปกรณ์ป้องกันของสายส่ง สถานีฯหาดใหญ่ 2 – สถานีฯฉลุง และสถานีฯฉลุง – สถานีฯหาดใหญ่ 3 ในกรณีการเกิดไฟอลต์ในสายส่งทั้ง 2 พร้อมกัน ในการณีกิคฟอลต์แบบ เพลสกับเพลส

สายส่งช่วง	หาดใหญ่ 2 - ฉลุง		ฉลุง – หาดใหญ่ 3	
CB ที่	หาดใหญ่ 2	ฉลุง	ฉลุง	หาดใหญ่ 3
กรณีที่ 1	37	-	-	43
กรณีที่ 2	33	62	-	180
กรณีที่ 3	168	-	-	39

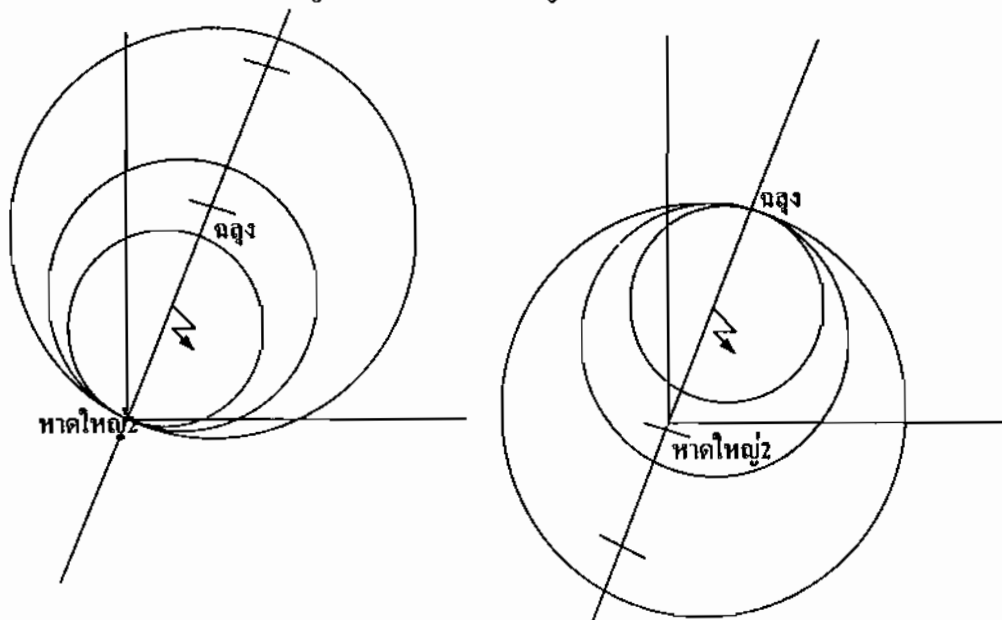
ตารางที่ 5-8 เวลาการทำงานของอุปกรณ์ป้องกันของสายส่ง สถานีฯหาดใหญ่ 2 – สถานีฯฉลุง และสถานีฯฉลุง – สถานีฯหาดใหญ่ 3 ในกรณีการเกิดไฟอลต์ในสายส่งทั้ง 2 พร้อมกัน ในการณีกิคฟอลต์แบบ 3 เพลส

สายส่งช่วง	หาดใหญ่ 2 - ฉลุง		ฉลุง – หาดใหญ่ 3	
CB ที่	หาดใหญ่ 2	ฉลุง	ฉลุง	หาดใหญ่ 3
กรณีที่ 1	37	-	-	43
กรณีที่ 2	35	-	-	172
กรณีที่ 3	168	-	-	37

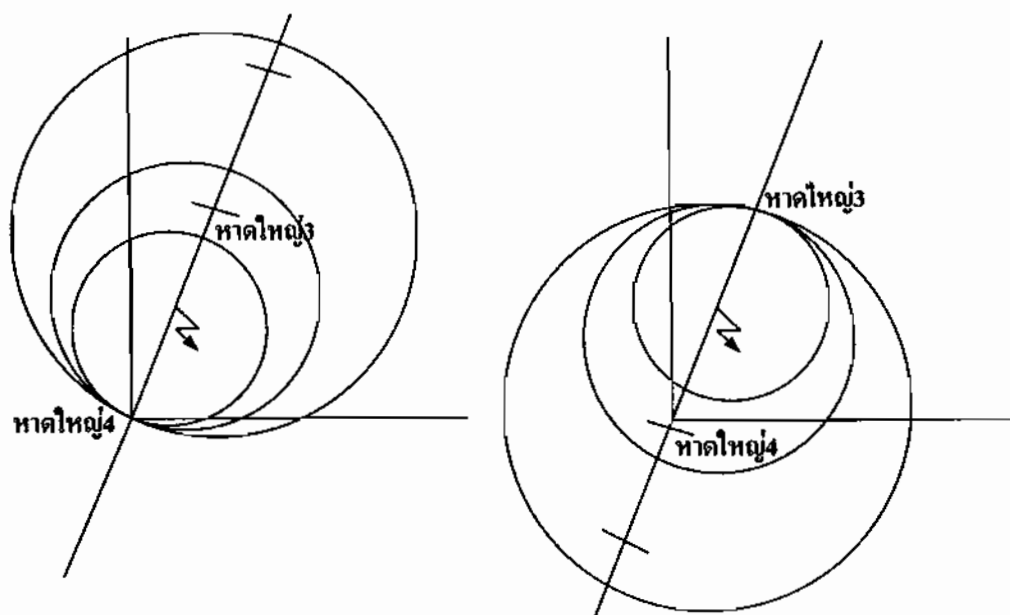
5.3.2 การเกิดฟอลต์พร้อมกัน 2 จุดในสายส่งช่วง สถานีฯหาดใหญ่ 2 – สถานีฯฉลุง และ สายส่งช่วง สถานีฯหาดใหญ่ 3 – สถานีฯหาดใหญ่ 4 โดยจะกำหนดให้เกิดฟอลต์ ในกรณีที่การเกิดฟอลต์ใน ตำแหน่งที่ 1 ขึ้นพร้อมกัน การเกิดฟอลต์ในตำแหน่งที่ 2 เกิดขึ้นพร้อมกัน และการเกิดฟอลต์ใน ตำแหน่งที่ 3 เกิดขึ้นพร้อมกันของสายส่งหัว 2 ช่วง โดยมีผลการทำงานดังต่อไปนี้



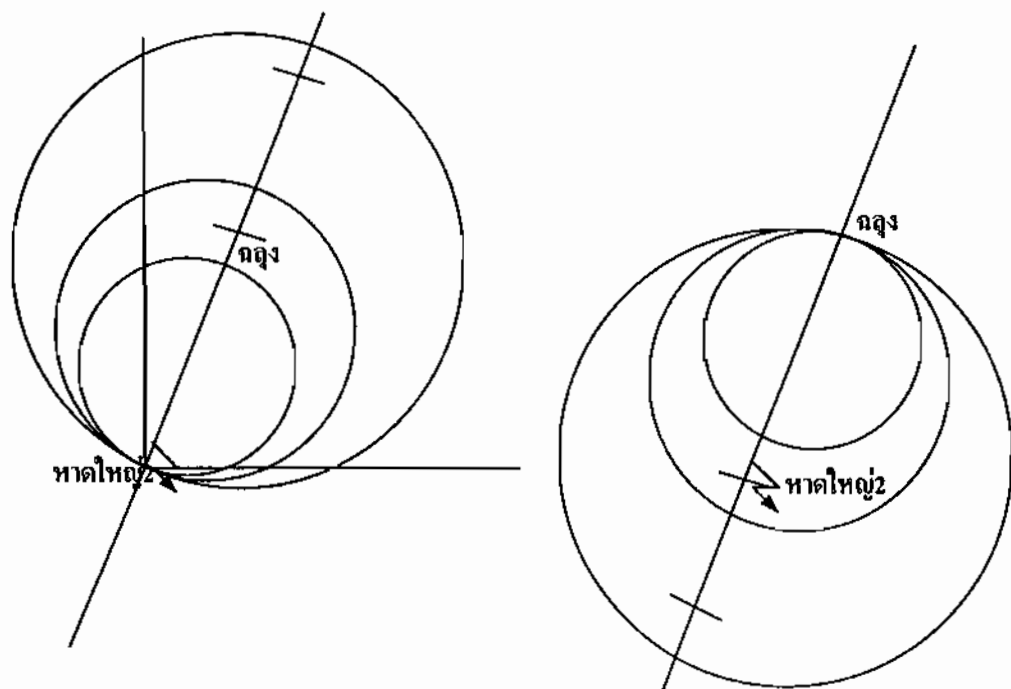
ภาพที่ 5-15 การเกิดฟอลต์ขึ้นพร้อมกันในสายส่งช่วงสถานีฯหาดใหญ่ 2 – สถานีฯฉลุง และสายส่งช่วง สถานีฯหาดใหญ่ 3 – สถานีฯหาดใหญ่ 4 ในกรณีที่ 1 กรณีที่ 2 และ กรณีที่ 3



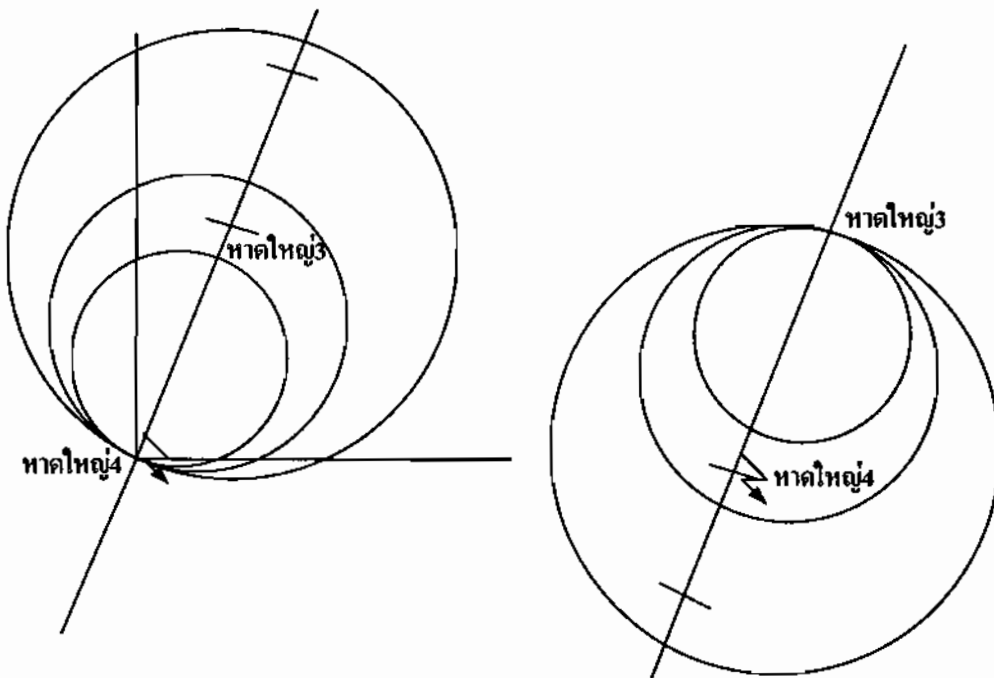
ภาพที่ 5-16 การเกิดฟอลต์ขึ้นในสายส่งช่วง สถานีฯหาดใหญ่ 2 – สถานีฯฉลุง กรณีที่ 1



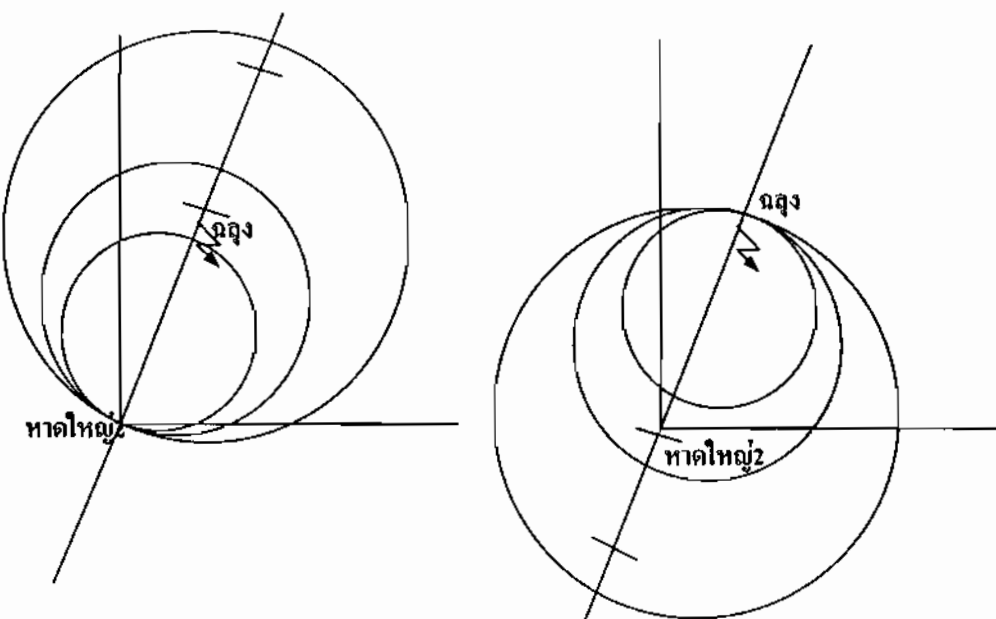
ภาพที่ 5-17 การเกิดฟอลต์ชีนในสายส่งช่วง สถานีฯหาดใหญ่ 3 – สถานีฯหาดใหญ่ 4 ในกรณีที่ 1



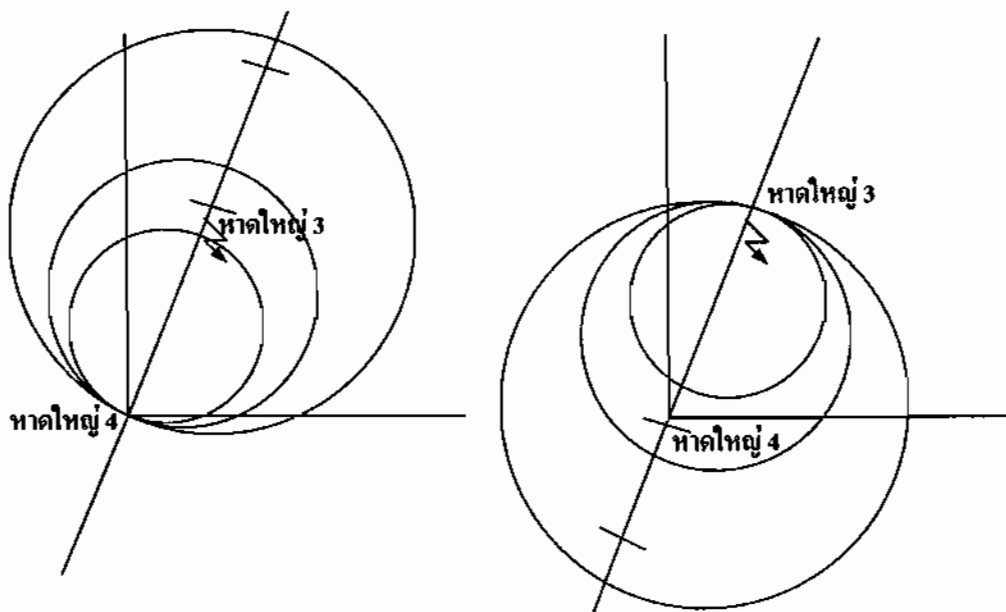
ภาพที่ 5-18 การเกิดฟอลต์ชีนในสายส่งช่วง สถานีฯหาดใหญ่ 2 – สถานีฯกุดัง กรณีที่ 2



ภาพที่ 5-19 การเกิดฟอเลต์ขึ้นในสายสัมผัสร่วม สถานีฯหาดใหญ่ 3 – สถานีฯหาดใหญ่ 4 ในกรณีที่ 2



ภาพที่ 5-20 การเกิดฟอเลต์ขึ้นในสายสัมผัสร่วม สถานีฯหาดใหญ่ 2 – สถานีฯฉลุย กรณีที่ 3



ภาพที่ 5-21 การเกิดฟอลต์ขึ้นในสายสัมผัส สถานีหาดใหญ่ 3 – สถานีหาดใหญ่ 4 ในกรณีที่ 3

ตารางที่ 5-9 เวลาการทำงานของอุปกรณ์ป้องกันของสายสัมผัส สถานีหาดใหญ่ 2 – สถานีฯหาดใหญ่ 3 และ สถานีฯหาดใหญ่ 4 – สถานีฯหาดใหญ่ 4 ใน กรณีการเกิดฟอลต์ในสายสัมผัส ทั้ง 2 พร้อมกันแบบ 1 เพื่อส่งคืน

สายสัมผัส	หาดใหญ่ 2 - ฉะเชิง		หาดใหญ่ 3 – หาดใหญ่ 4		
	CB ที่	หาดใหญ่ 2	ฉะเชิง	หาดใหญ่ 3	หาดใหญ่ 4
กรณีที่ 1	43	-	-	41	43
กรณีที่ 2	37	-	-	-	43
กรณีที่ 3	172	41	41	47	174

ตารางที่ 5-10 เวลาการทำงานของอุปกรณ์ป้องกันของสายส่ง สถานีฯหาดใหญ่ 2 – สถานีฯฉลุง
และ สถานีฯหาดใหญ่ 3 – สถานีฯหาดใหญ่ 4 ใน กรณีการเกิดฟองต์ในสาย
ส่งทั้ง 2 พร้อมกันแบบ 2 เพลสลงดิน

สายส่งช่วง	หาดใหญ่ 2 - ฉลุง		หาดใหญ่ 3 – หาดใหญ่ 4	
CB ที่	หาดใหญ่ 2	ฉลุง	หาดใหญ่ 3	หาดใหญ่ 4
กรณีที่ 1	45	-	-	41
กรณีที่ 2	33	-	-	43
กรณีที่ 3	170	-	-	170

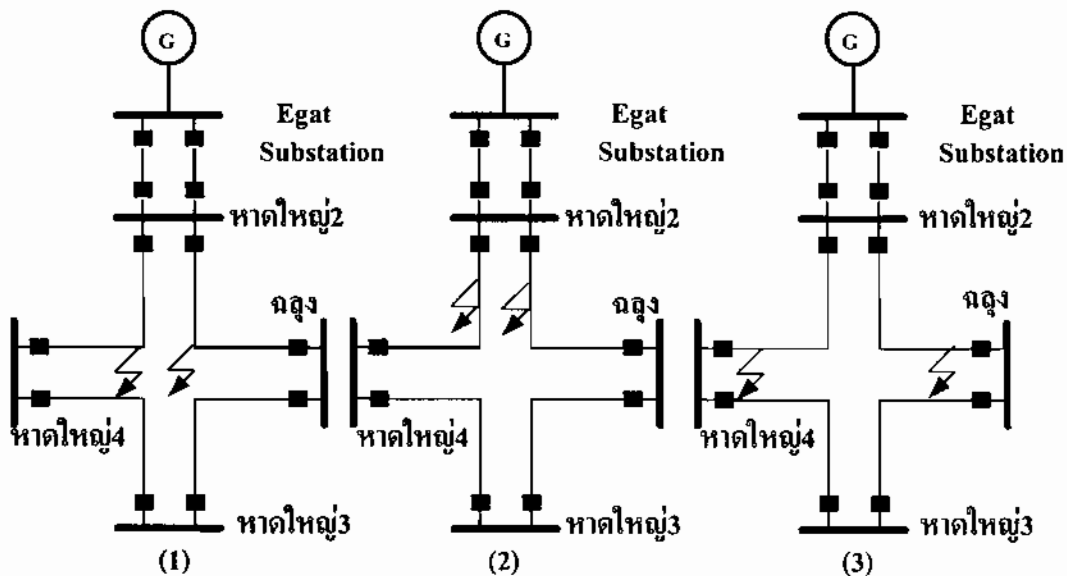
ตารางที่ 5-11 เวลาการทำงานของอุปกรณ์ป้องกันของสายส่ง สถานีฯหาดใหญ่ 2 – สถานีฯฉลุง
และ สถานีฯหาดใหญ่ 3 – สถานีฯหาดใหญ่ 4 ใน กรณีการเกิดฟองต์ในสาย
ส่งทั้ง 2 พร้อมกันแบบ 2 เพลส

สายส่งช่วง	หาดใหญ่ 2 - ฉลุง		หาดใหญ่ 3 – หาดใหญ่ 4	
CB	หาดใหญ่ 2	ฉลุง	หาดใหญ่ 3	หาดใหญ่ 4
กรณีที่ 1	45	-	-	45
กรณีที่ 2	41	-	-	45
กรณีที่ 3	172	-	-	172

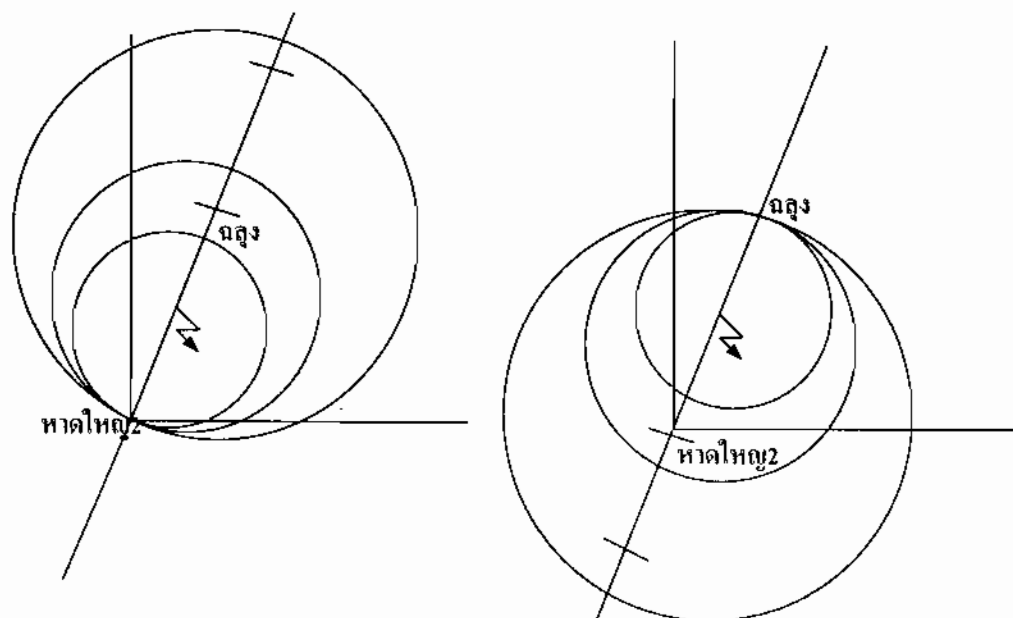
ตารางที่ 5-12 เวลาการทำงานของอุปกรณ์ป้องกันของสายส่ง สถานีฯหาดใหญ่ 2 – สถานีฯฉลุง
และ สถานีฯหาดใหญ่ 3 – สถานีฯหาดใหญ่ 4 ใน กรณีการเกิดฟองต์ในสาย
ส่งทั้ง 2 พร้อมกันแบบ 3 เพลส

สายส่งช่วง	หาดใหญ่ 2 - ฉลุง		หาดใหญ่ 3 – หาดใหญ่ 4	
CB	หาดใหญ่ 2	ฉลุง	หาดใหญ่ 3	หาดใหญ่ 4
กรณีที่ 1	37	-	-	41
กรณีที่ 2	33	-	-	41
กรณีที่ 3	170	-	-	172

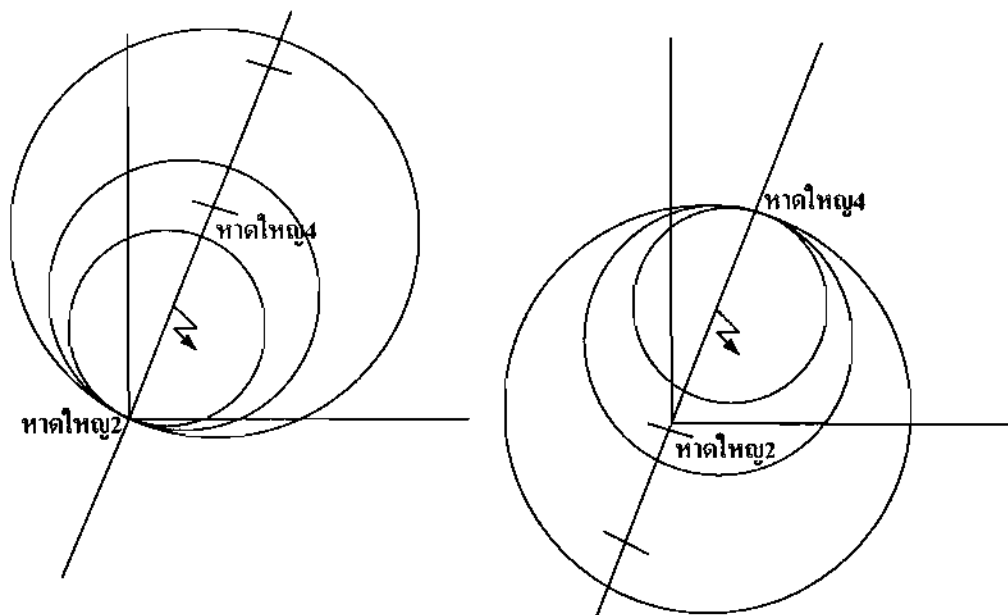
5.3.3 การเกิดฟอลต์พร้อมกัน 2 จุดในสายส่งช่วง สถานีฯหาดใหญ่ 2 – สถานีฯลุง และสายส่งช่วง สถานีฯหาดใหญ่ 4 – สถานีฯหาดใหญ่ 2 โดยจะกำหนดให้เกิดฟอลต์ ในกรณีที่การเกิดฟอลต์ใน ตำแหน่งที่ 1 ขึ้นพร้อมกัน การเกิดฟอลต์ในตำแหน่งที่ 2 เกิดขึ้นพร้อมกัน และการเกิดฟอลต์ใน ตำแหน่งที่ 3 เกิดขึ้นพร้อมกัน ของสายส่งทั้ง 2 ช่วง โดยมีผลการทำงานดังต่อไปนี้



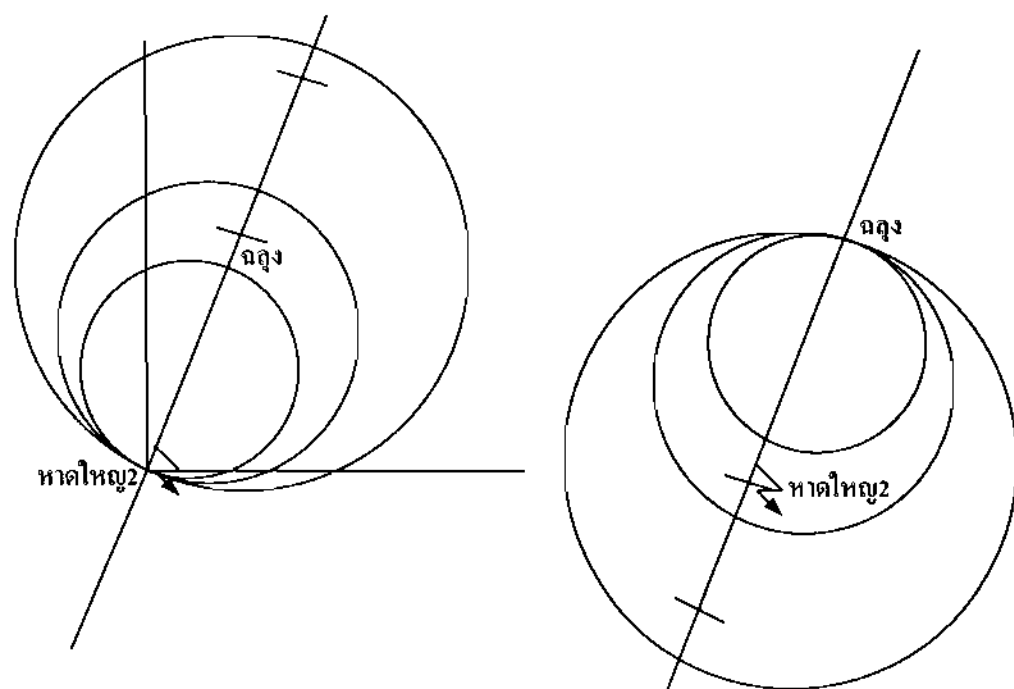
ภาพที่ 5-22 การฟอลต์ขึ้นพร้อมกันในสายส่งช่วง สถานีฯหาดใหญ่ 2 – สถานีฯลุง และสายส่งช่วง สถานีฯหาดใหญ่ 4 – สถานีฯหาดใหญ่ 2 ในกรณีที่ 1 กรณีที่ 2 และ กรณีที่ 3



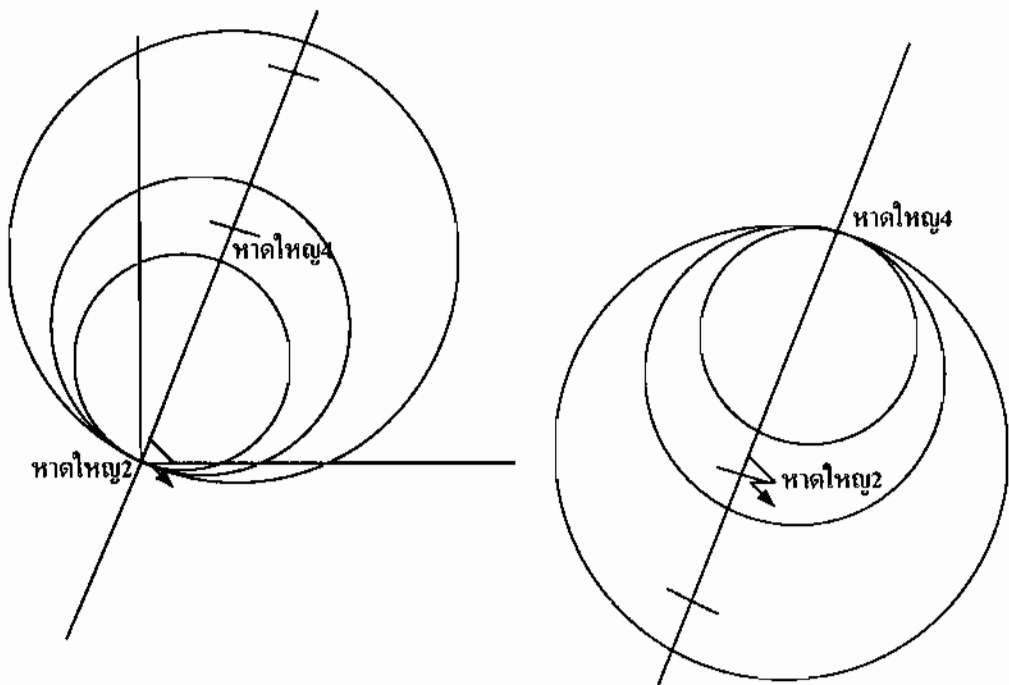
ภาพที่ 5-23 การฟอลต์ขึ้นในสายส่งช่วง สถานีฯหาดใหญ่ 2 – สถานีฯลุง ในกรณีที่ 1



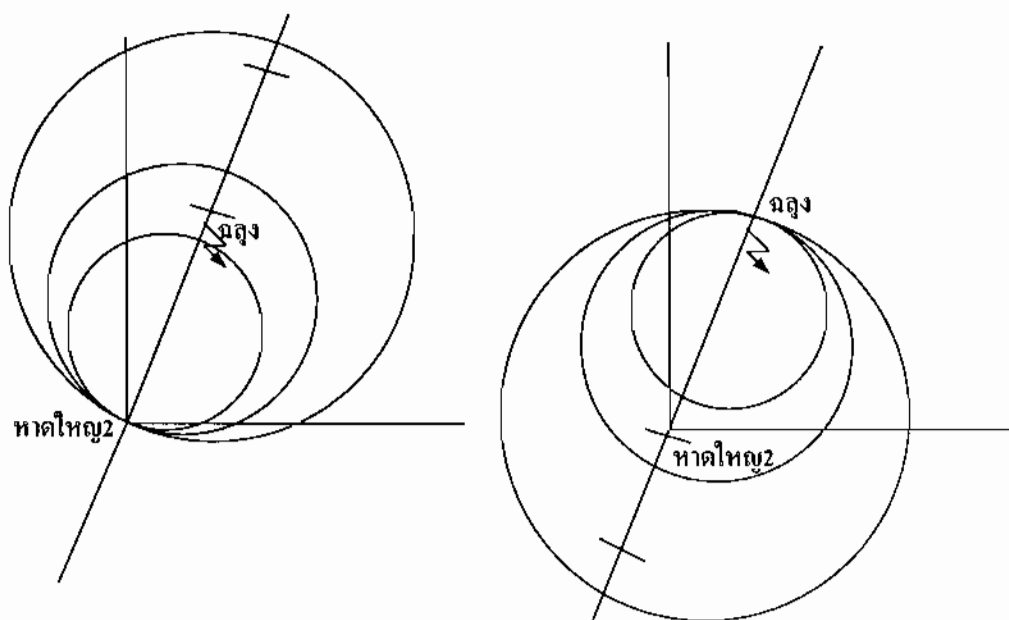
ภาพที่ 5-24 การพับต์ขึ้นในสายสั่งช่วงสถานีหาดใหญ่ 4 – สถานีหาดใหญ่ 2 ในกรณีที่ 1



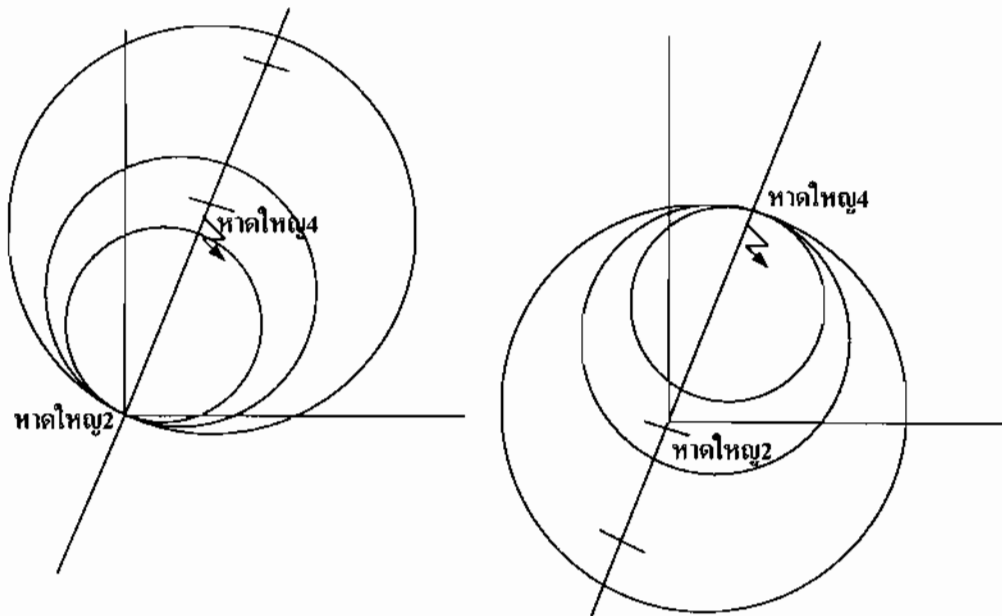
ภาพที่ 5-25 การพับต์ขึ้นในสายสั่งช่วง สถานีหาดใหญ่ 2 – สถานีหาดใหญ่ 4 ในกรณีที่ 2



ภาพที่ 5-26 การฟอลต์ชีนในสายส่งช่วงสถานีหาดใหญ่ 4 – สถานีหาดใหญ่ 2 ในกรณีที่ 2



ภาพที่ 5-27 การฟอลต์ชีนในสายส่งช่วง สถานีหาดใหญ่ 2 – สถานีหาดใหญ่ 4 ในกรณีที่ 3



ภาพที่ 5 -28 การฟอลต์ขึ้นในสายสัมช่วงสถานีฯหาดใหญ่ 4 – สถานีฯหาดใหญ่ 2 ในกรณีที่ 3

ตารางที่ 5-13 เวลาการทำงานของอุปกรณ์ป้องกันของสายสัมช่วงสถานีฯหาดใหญ่ 2 – สถานีฯฉลุง
และ สถานีฯหาดใหญ่ 4 – สถานีฯหาดใหญ่ 2 ในกรณีการเกิดฟอลต์ในสาย
สัมช่วง 2 พร้อมกันแบบ 1 เพลสลงคิน

สายสัมช่วง	หาดใหญ่ 2 - ฉลุง		หาดใหญ่ 4 – หาดใหญ่ 2	
CB ที่	หาดใหญ่ 2	ฉลุง	หาดใหญ่ 4	หาดใหญ่ 2
กรณีที่ 1	39	43	43	41
กรณีที่ 2	39	-	-	39
กรณีที่ 3	174	47	50	174

ตารางที่ 5 -14 เวลาการทำงานของอุปกรณ์ป้องกันของสายส่งสถานีฯหาดใหญ่2 – สถานีฯฉลุง
และสถานีฯหาดใหญ่ 4 – สถานีฯหาดใหญ่ 2 ในกรณีการเกิดฟองต์ในสายส่งทั้ง
2 พร้อมกันแบบ 2 เฟสลงดิน

สายส่งช่วง	หาดใหญ่ 2 - ฉลุง		หาดใหญ่ 4 – หาดใหญ่ 2	
CB ที่	หาดใหญ่ 2	ฉลุง	หาดใหญ่ 4	หาดใหญ่ 2
กรณีที่ 1	43	-	-	41
กรณีที่ 2	41	-	-	43
กรณีที่ 3	172	-	-	170

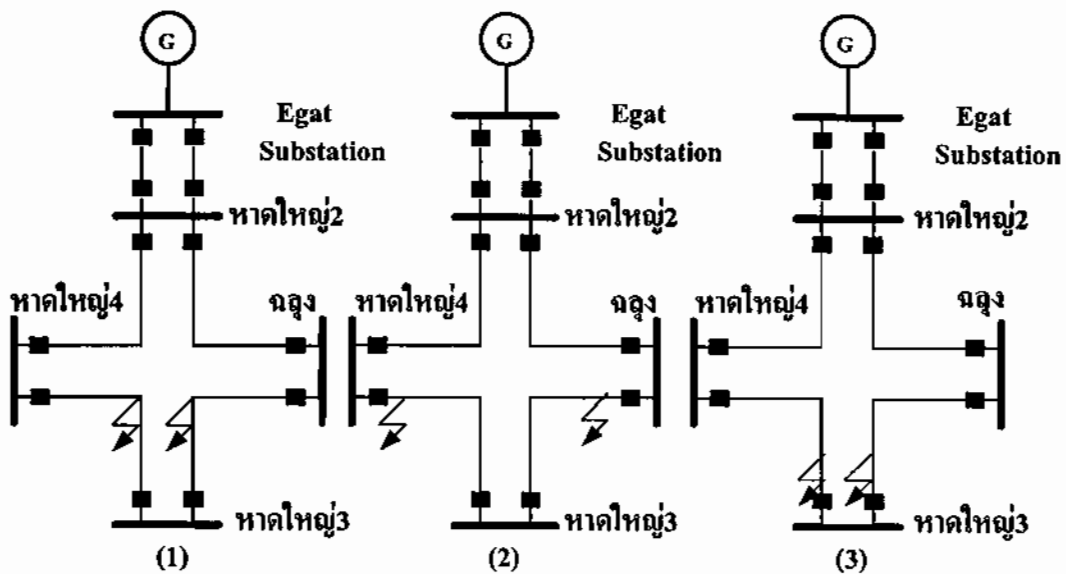
ตารางที่ 5 -15 เวลาการทำงานของอุปกรณ์ป้องกันของสายส่งสถานีฯหาดใหญ่ 2 – สถานีฯฉลุง
และ สถานีฯหาดใหญ่ 4 – สถานีฯหาดใหญ่ 2 ในกรณีการเกิดฟองต์ในสาย
ส่งทั้ง 2 พร้อมกันแบบ 2 เฟส

สายส่งช่วง	หาดใหญ่ 2 - ฉลุง		หาดใหญ่ 4 – หาดใหญ่ 2	
CB ที่	หาดใหญ่ 2	ฉลุง	หาดใหญ่ 4	หาดใหญ่ 2
กรณีที่ 1	43	-	-	43
กรณีที่ 2	43	-	-	43
กรณีที่ 3	174	184	-	174

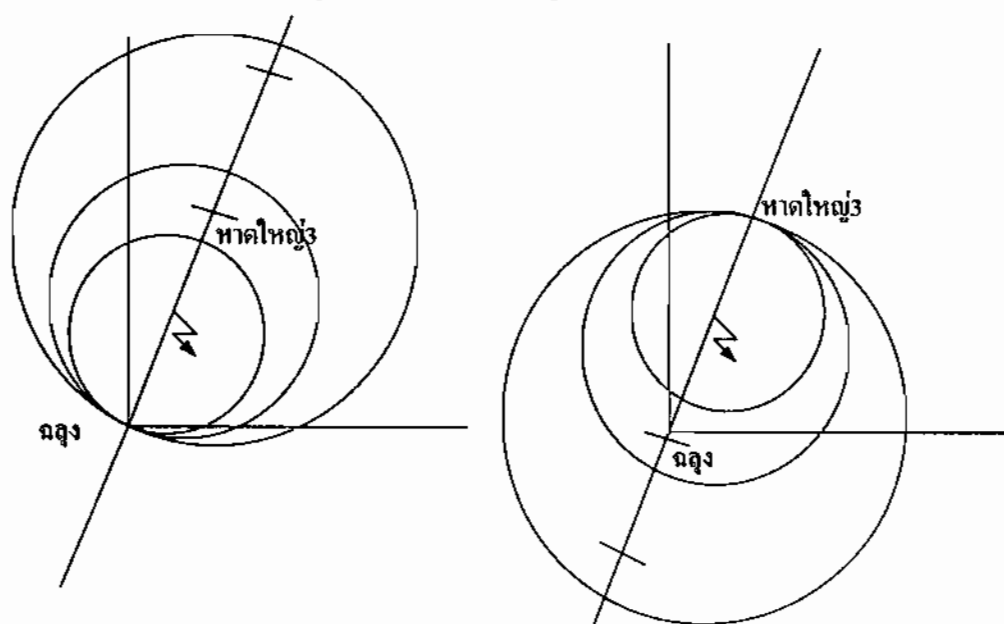
ตารางที่ 5 -16 เวลาการทำงานของอุปกรณ์ป้องกันของสายส่งสถานีฯหาดใหญ่ 2 – สถานีฯฉลุง
และสถานีฯหาดใหญ่ 4 – สถานีฯหาดใหญ่ 2 ในกรณีการเกิดฟองต์ในสาย
ส่งทั้ง 2 พร้อมกันแบบ 3 เฟส

สายส่งช่วง	หาดใหญ่ 2 - ฉลุง		หาดใหญ่ 4 – หาดใหญ่ 2	
CB ที่	หาดใหญ่ 2	ฉลุง	หาดใหญ่ 4	หาดใหญ่ 2
กรณีที่ 1	41	-	-	41
กรณีที่ 2	37	-	-	37
กรณีที่ 3	172	-	-	172

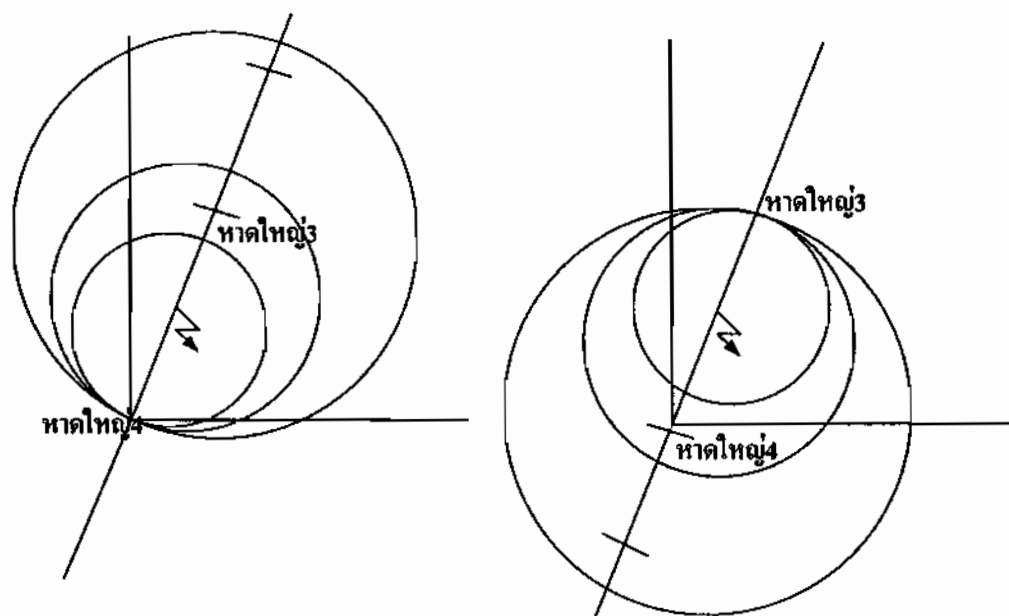
5.3.4 การเกิดฟอลต์พร้อมกัน 2 จุดในสายส่งช่วง สถานีฯฉลุง – สถานีฯหาดใหญ่ 3 และ สายส่งช่วง สถานีฯหาดใหญ่ 3 – สถานีฯหาดใหญ่ 4 โดยจะกำหนดให้เกิดฟอลต์ ในกรณีที่การเกิดฟอลต์ใน ตำแหน่งที่ 1 ขึ้นพร้อมกัน การเกิดฟอลต์ในตำแหน่งที่ 2 เกิดขึ้นพร้อมกัน และการเกิดฟอลต์ใน ตำแหน่งที่ 3 เกิดขึ้นพร้อมกัน ของสายส่งทั้ง 2 ช่วงโดยมีผลการทำงานต่างๆไปนี้



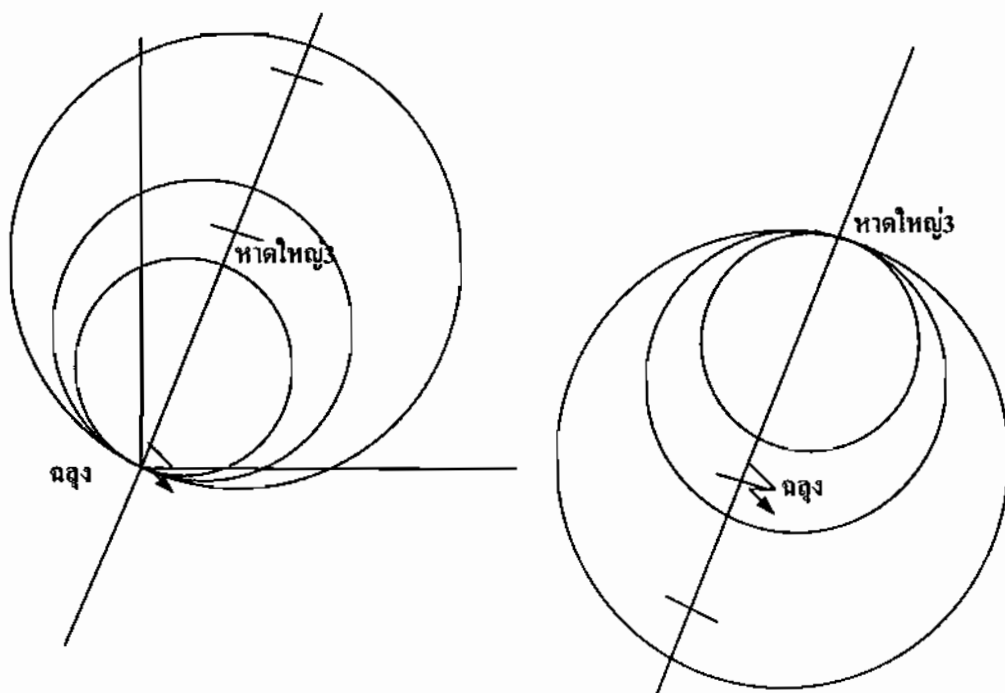
ภาพที่ 5-29 การเกิดฟอลต์ขึ้นพร้อมกันในสายส่งช่วงสถานีฯหาดใหญ่ 3 – สถานีฯฉลุง และสายส่งช่วง สถานีฯหาดใหญ่ 3 – สถานีฯหาดใหญ่ 4 ในกรณีที่ 1 กรณีที่ 2 และ กรณีที่ 3



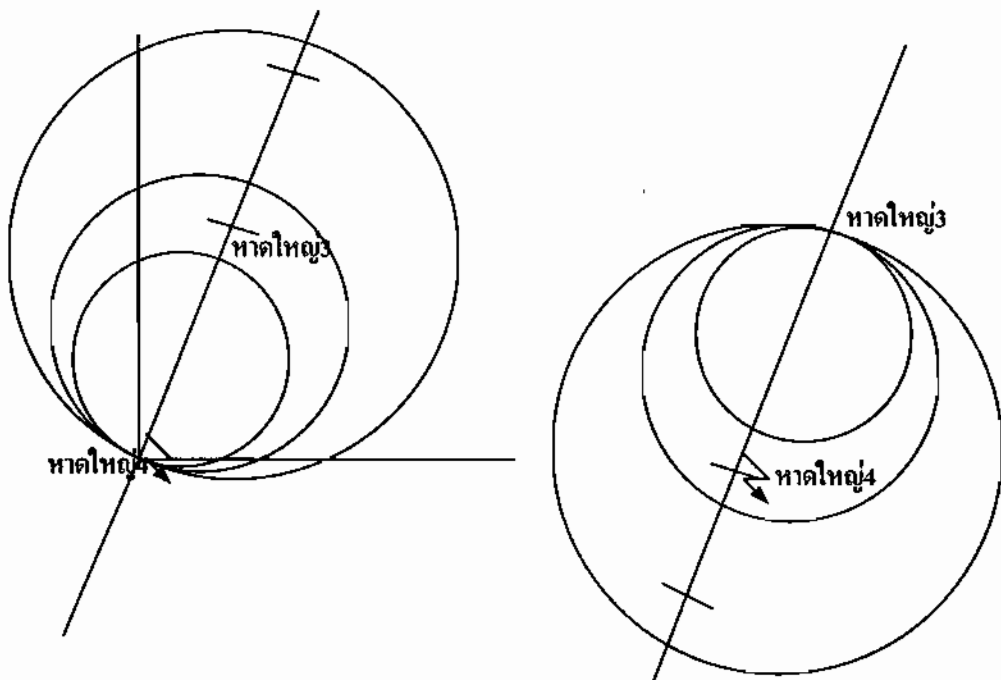
ภาพที่ 5-30 การเกิดฟอลต์ขึ้นในสายส่งช่วงสถานีฯหาดใหญ่ 3 – สถานีฯฉลุง ในกรณีที่ 1



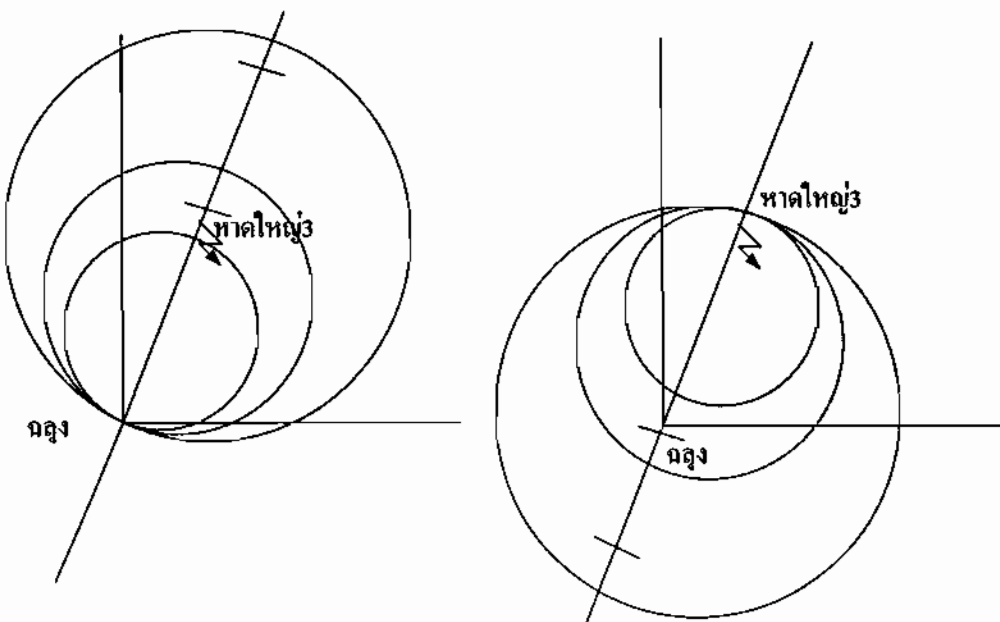
ภาพที่ 5-31 การเกิดฟองค์ชั่นในสายส่งช่วงสถานีฯ หาดใหญ่ 3 – สถานีฯ หาดใหญ่ 4 ในกรณีที่ 1



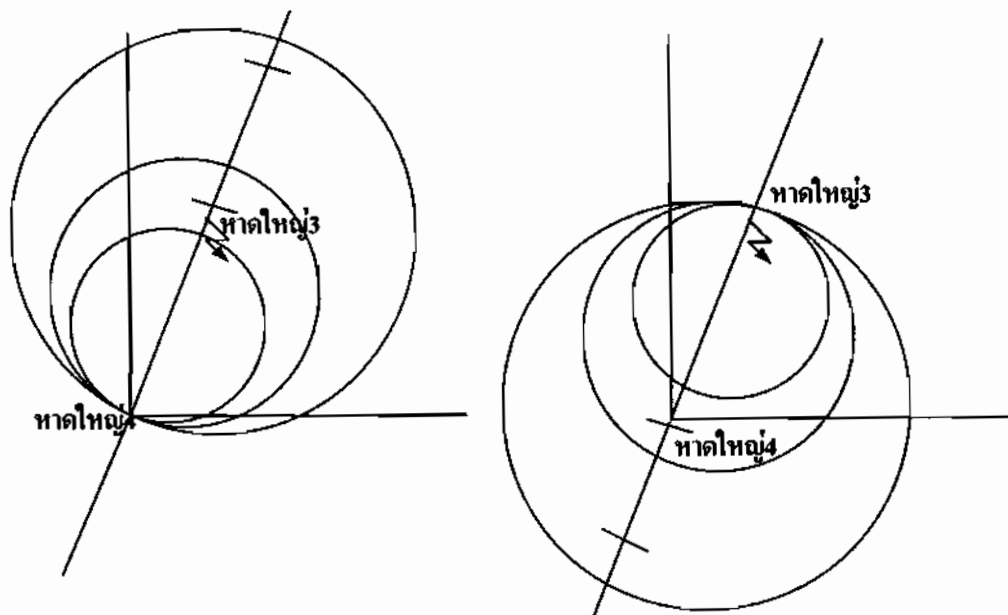
ภาพที่ 5-32 การเกิดฟองค์ชั่นในสายส่งช่วงสถานีฯ หาดใหญ่ 3 – สถานีฯ ฉลุยในกรณีที่ 2



ภาพที่ 5-33 การเกิดฟoldต์ขึ้นในสายส่งช่วงสถานีฯหาดใหญ่ 3 – สถานีฯหาดใหญ่ 4 ในกรณีที่ 2



ภาพที่ 5-34 การเกิดfoldต์ขึ้นในสายส่งช่วงสถานีฯหาดใหญ่ 3 – สถานีฯมลูงในกรณีที่ 3



ภาพที่ 5-35 การเกิดฟoldค์ชั้นในสายส่งช่วงสถานีหาดใหญ่ 3 – สถานีหาดใหญ่ 4 ในการณ์ที่ 3

ตารางที่ 5-17 เวลาการทำงานของอุปกรณ์ป้องกันของสายส่ง สถานีฉลุง – สถานีหาดใหญ่ 3 และสถานีหาดใหญ่ 3 – สถานีหาดใหญ่ 4 ในกรณีการเกิดฟoldค์ในสายส่งทั้ง 2 พร้อมกันแบบ 1 เพื่อสลงคิน

สายส่งช่วง	ฉลุง – หาดใหญ่ 3		หาดใหญ่ 3 – หาดใหญ่ 4	
	CB ที่	ฉลุง	หาดใหญ่ 3	หาดใหญ่ 3
กรณีที่ 1	43	-	95	43
กรณีที่ 2	43	-	95	43
กรณีที่ 3	174	43	-	174

ตารางที่ 5-18 เวลาการทำงานของอุปกรณ์ป้องกันของสายส่ง สถานีฯฉลุง – สถานีฯหาดใหญ่ 3 และสถานีฯหาดใหญ่ 3 – สถานีฯหาดใหญ่ 4 ในกรณีการเกิดไฟอลตร์ในสาย ส่งทั้ง 2 พร้อมกันแบบ 2 เพลสลงดิน

สายส่งช่วง	ฉลุง – หาดใหญ่ 3		หาดใหญ่ 3 – หาดใหญ่ 4	
CB ที่	ฉลุง	หาดใหญ่ 3	หาดใหญ่ 3	หาดใหญ่ 4
กรณีที่ 1	43	-	95	43
กรณีที่ 2	43	-	95	43
กรณีที่ 3	174	43	-	174

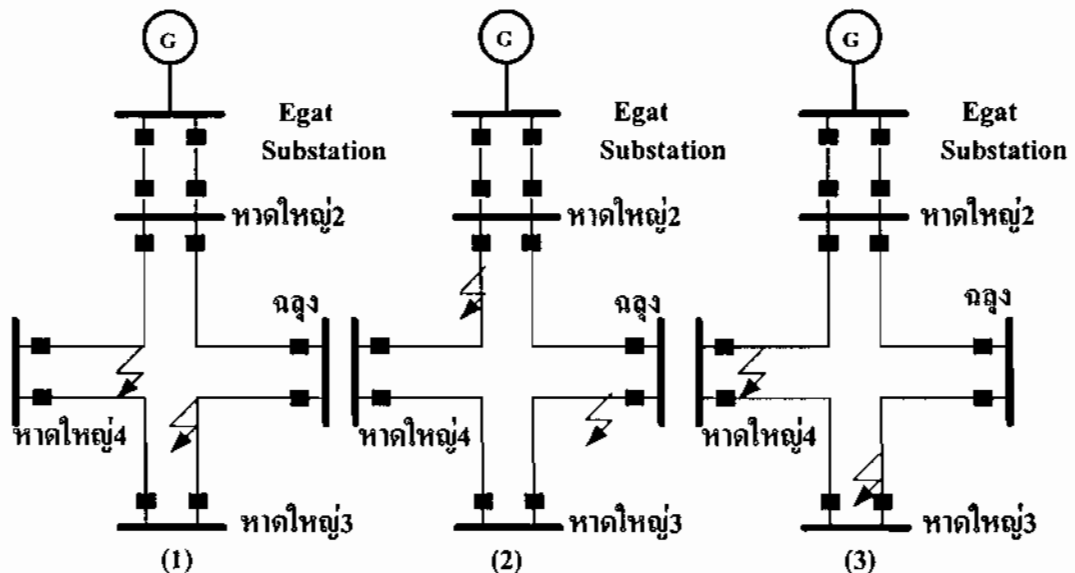
ตารางที่ 5-19 เวลาการทำงานของอุปกรณ์ป้องกันของสายส่ง สถานีฯฉลุง – สถานีฯหาดใหญ่ 3 และ สถานีฯหาดใหญ่ 3 – สถานีฯหาดใหญ่ 4 ในกรณีการเกิดไฟอลตร์ในสาย ส่งทั้ง 2 พร้อมกันแบบ 2 เพลส

สายส่งช่วง	ฉลุง – หาดใหญ่ 3		หาดใหญ่ 3 – หาดใหญ่ 4	
CB ที่	ฉลุง	หาดใหญ่ 3	หาดใหญ่ 3	หาดใหญ่ 4
กรณีที่ 1	47	101	99	49
กรณีที่ 2	45	-	99	51
กรณีที่ 3	178	55	178	-

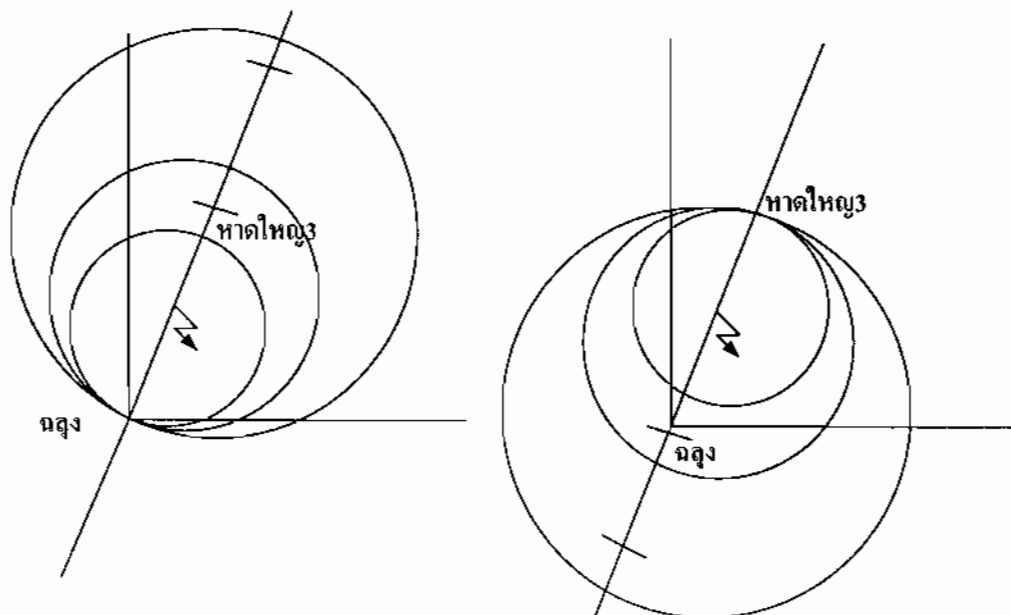
ตารางที่ 5-20 เวลาการทำงานของอุปกรณ์ป้องกันของสายส่ง สถานีฯฉลุง – สถานีฯหาดใหญ่ 3 และ สถานีฯหาดใหญ่ 3 – สถานีฯหาดใหญ่ 4 ในกรณีการเกิดไฟอลตร์ในสายส่งทั้ง 2 พร้อมกันแบบ 3 เพลส

สายส่งช่วง	ฉลุง – หาดใหญ่ 3		หาดใหญ่ 3 – หาดใหญ่ 4	
CB ที่	ฉลุง	หาดใหญ่ 3	หาดใหญ่ 3	หาดใหญ่ 4
กรณีที่ 1	39	-	-	37
กรณีที่ 2	37	-	-	37
กรณีที่ 3	172	80	-	170

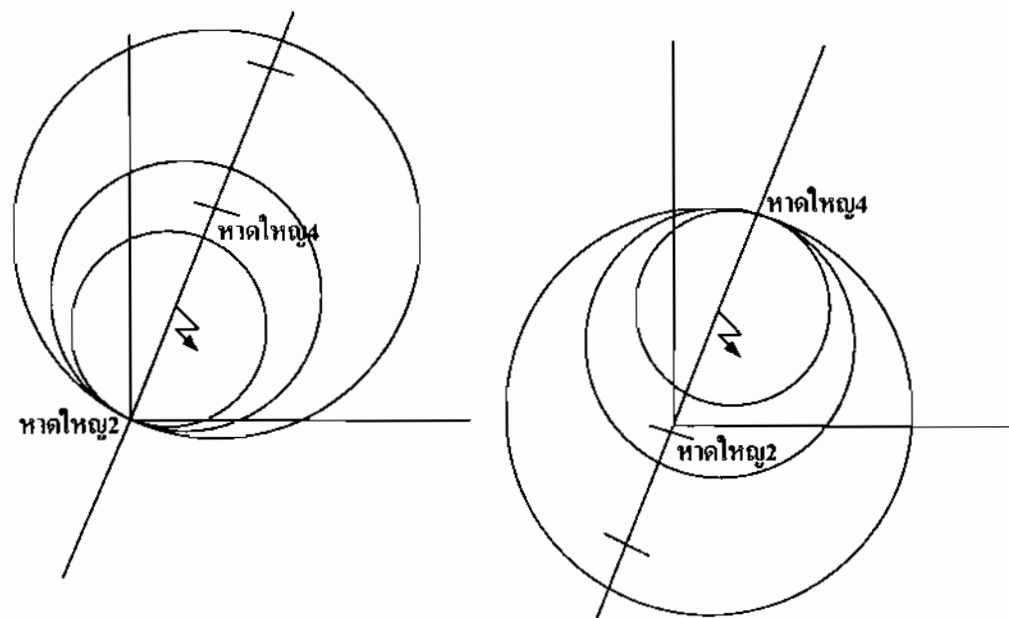
5.3.5 การเกิดฟอลต์พร้อมกัน 2 จุดในสายส่งช่วง สถานีฯลุง – สถานีหาดใหญ่ 3 และสายส่งช่วง สถานีหาดใหญ่ 4 – สถานีหาดใหญ่ 2 โดยจะกำหนดให้เกิดฟอลต์ ในกรณีที่การเกิดฟอลต์ใน ตำแหน่งที่ 1 ขึ้นพร้อมกัน การเกิดฟอลต์ในตำแหน่งที่ 2 เกิดขึ้นพร้อมกัน และการเกิดฟอลต์ใน ตำแหน่งที่ 3 เกิดขึ้นพร้อมกัน ของสายส่งทั้ง 2 ช่วง โดยมีผลการทำงานดังต่อไปนี้



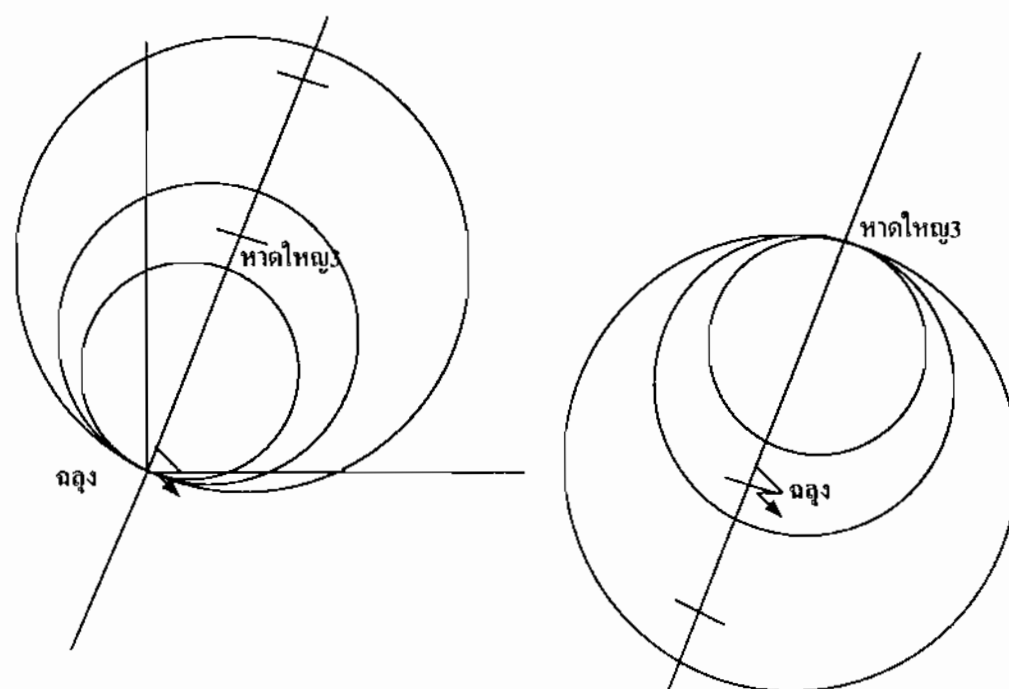
ภาพที่ 5-36 การเกิดฟอลต์ขึ้นพร้อมกันในสายส่งช่วงสถานีฯลุง – สถานีฯหาดใหญ่ 3 และสายส่งช่วง สถานีฯหาดใหญ่ 4 – สถานีฯหาดใหญ่ 2 ในกรณีที่ 1 กรณีที่ 2 และ กรณีที่ 3



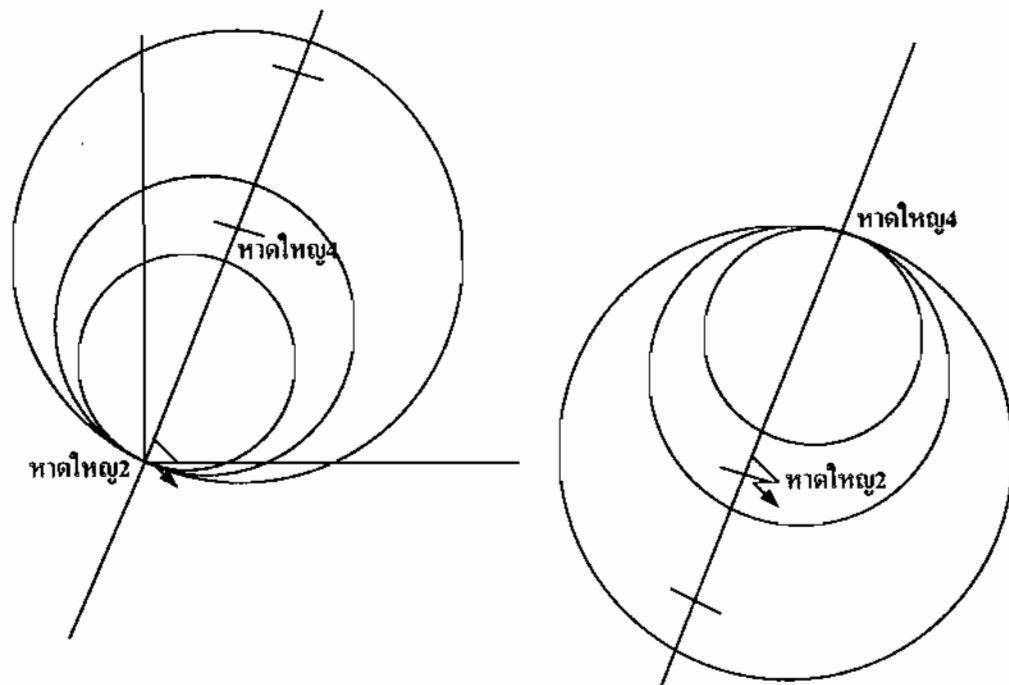
ภาพที่ 5-37 การเกิดฟอลต์ขึ้นในสายส่งช่วง สถานีฯลุง – สถานีฯหาดใหญ่ 3 ในกรณีที่ 1



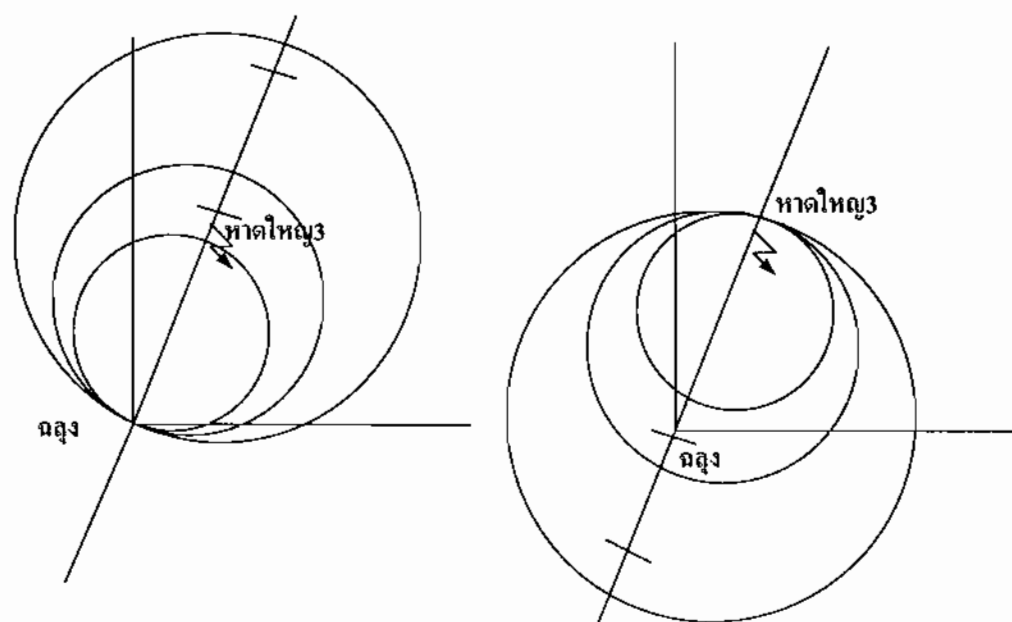
ภาพที่ 5-38 การเกิดฟองต์ขึ้นในสายสั่งช่วงสถานีหาดใหญ่ 4 – สถานีหาดใหญ่ 2 ในกรณีที่ 1



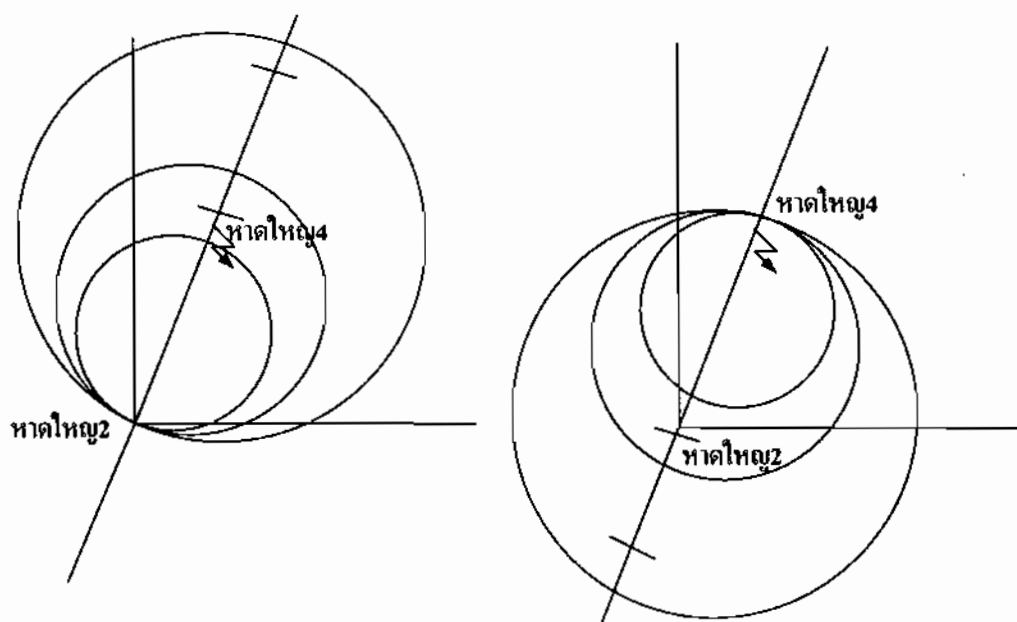
ภาพที่ 5-39 การเกิดฟองต์ขึ้นในสายสั่งช่วงสถานีหาดใหญ่ 3 – สถานีฉลุย ในกรณีที่ 2



ภาพที่ 5-40 การเกิดฟอลค์ซึ้นในสายสัมผัสร่วมสถานีหาดใหญ่ 4 – สถานีหาดใหญ่ 2 ในกรณีที่ 2



ภาพที่ 5-41 การเกิดฟอลค์ซึ้นในสายสัมผัสร่วมสถานีหาดใหญ่ – สถานีหาดใหญ่ 3 ในกรณีที่ 3



ภาพที่ 5-42 การเกิดฟอลต์ขึ้นในสายส่งช่วง สถานีหาดใหญ่ 4 – สถานีหาดใหญ่ 2 ในกรณีที่ 3

ตารางที่ 5-21 เวลาการทำงานของอุปกรณ์ป้องกันของสายส่ง สถานีฉะลุง – สถานีหาดใหญ่ 3
และสถานีหาดใหญ่ 4 สถานีหาดใหญ่ 2 ในกรณีการเกิดฟอลต์ในสายส่ง
ทั้ง 2 พร้อมกันแบบ 1 เพื่อสลงคิน

สายส่งช่วง	ฉะลุง – หาดใหญ่ 3		หาดใหญ่ 4 – หาดใหญ่ 2	
	ฉะลุง	หาดใหญ่ 3	หาดใหญ่ 4	หาดใหญ่ 2
กรณีที่ 1	41	47	95	41
กรณีที่ 2	43	-	-	37
กรณีที่ 3	174	47	47	174

ตารางที่ 5-22 เวลาการทำงานของอุปกรณ์ป้องกันของสายส่ง สถานีฯฉลุง – สถานีฯหาดใหญ่ 3 และสถานีฯหาดใหญ่ 4 – สถานีฯหาดใหญ่ 2 ในกรณีการเกิดฟองต์ในสายส่ง
ทั้ง 2 พร้อมกันแบบ 2 เพลสลงดิน

สายส่งช่วง	ฉลุง – หาดใหญ่ 3		หาดใหญ่ 4 – หาดใหญ่ 2	
CB ที่	ฉลุง	หาดใหญ่ 3	หาดใหญ่ 4	หาดใหญ่ 2
กรณีที่ 1	41	-	-	41
กรณีที่ 2	41	-	-	43
กรณีที่ 3	170	50	-	170

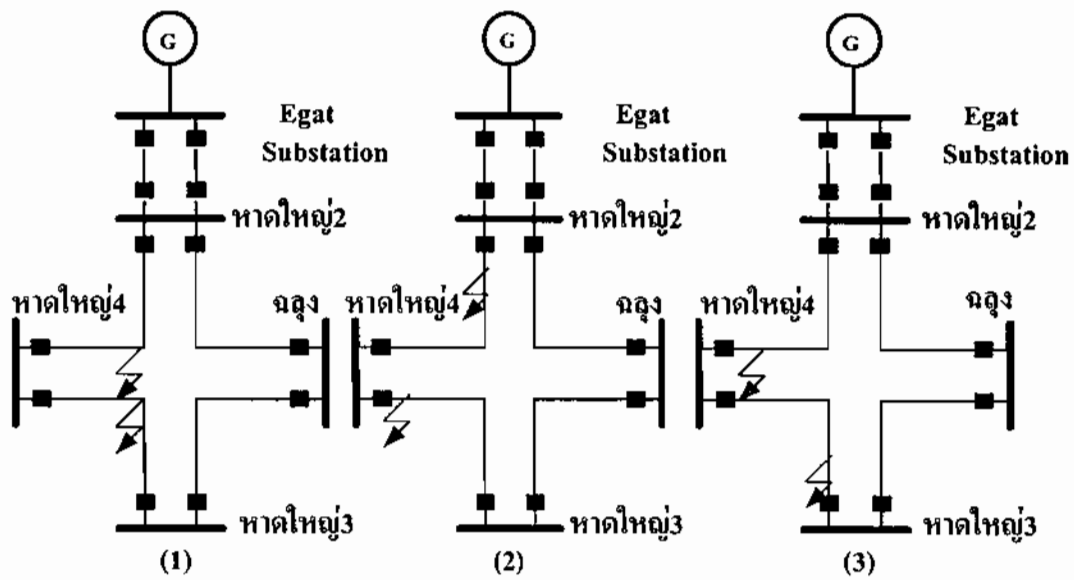
ตารางที่ 5-23 เวลาการทำงานของอุปกรณ์ป้องกันของสายส่ง สถานีฯฉลุง – สถานีฯหาดใหญ่ 3 และสถานีฯหาดใหญ่ 4 – สถานีฯหาดใหญ่ 2 ในกรณีการเกิดฟองต์ในสายส่ง
ทั้ง 2 พร้อมกันแบบ 2 เพลส

สายส่งช่วง	ฉลุง – หาดใหญ่ 3		หาดใหญ่ 4 – หาดใหญ่ 2	
CB ที่	ฉลุง	หาดใหญ่ 3	หาดใหญ่ 4	หาดใหญ่ 2
กรณีที่ 1	45	60	99	43
กรณีที่ 2	45	101	101	45
กรณีที่ 3	176	54	-	174

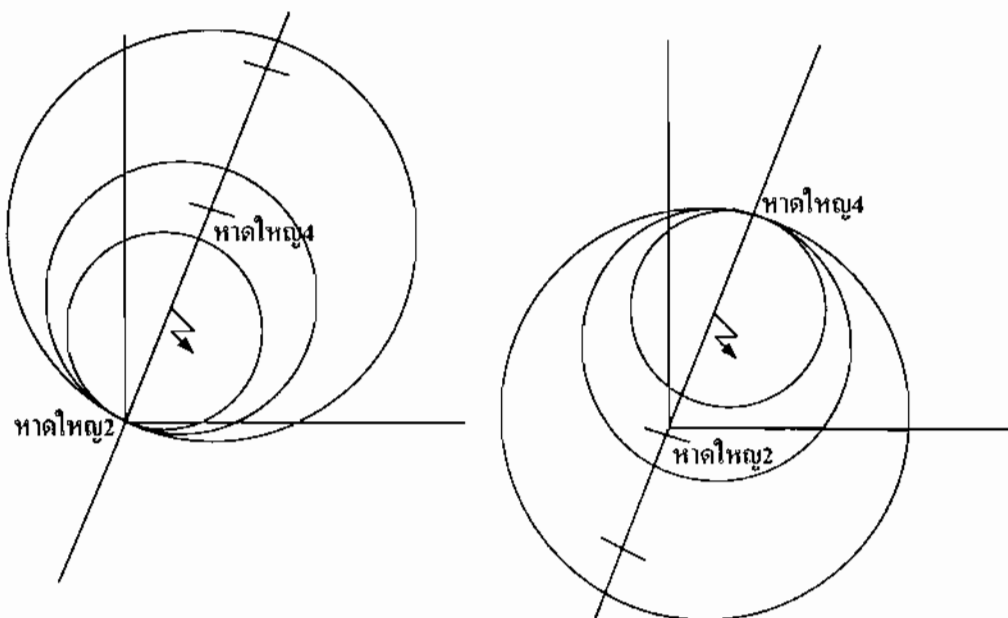
ตารางที่ 5-24 เวลาการทำงานของอุปกรณ์ป้องกันของสายส่ง สถานีฯฉลุง – สถานีฯหาดใหญ่ 3 และสถานีฯหาดใหญ่ 4 – สถานีฯหาดใหญ่ 2 ในกรณีการเกิดฟองต์ในสายส่ง
ทั้ง 2 พร้อมกันแบบ 3 เพลส

สายส่งช่วง	ฉลุง – หาดใหญ่ 3		หาดใหญ่ 4 – หาดใหญ่ 2	
CB ที่	ฉลุง	หาดใหญ่ 3	หาดใหญ่ 4	หาดใหญ่ 2
กรณีที่ 1	41	-	-	41
กรณีที่ 2	37	-	-	43
กรณีที่ 3	168	-	-	170

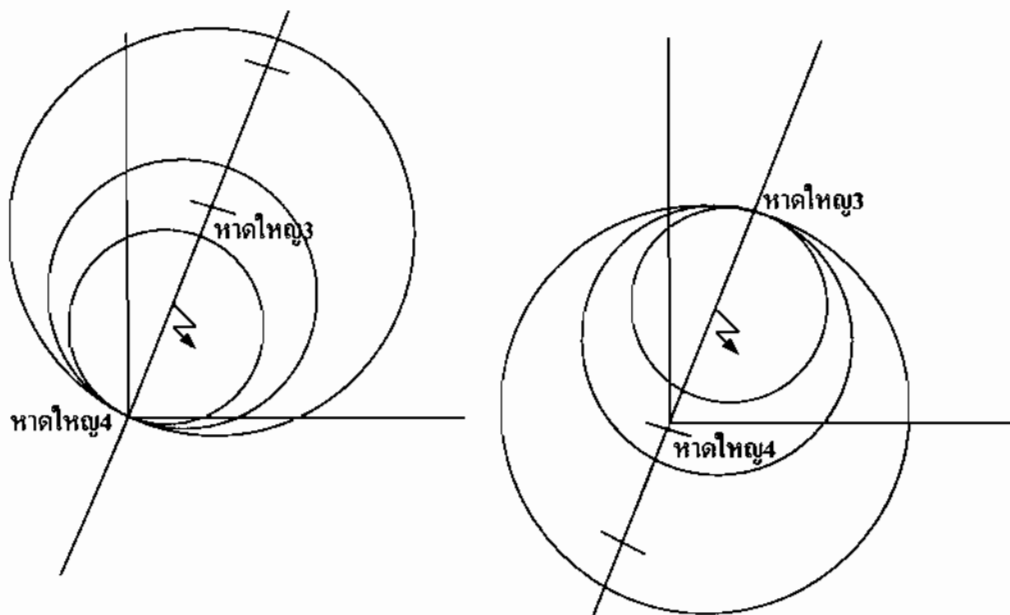
5.3.6 การเกิดฟอลต์พร้อมกัน 2 จุดในสายส่งช่วง สถานีหาดใหญ่ 3 – สถานีหาดใหญ่ 4 และสายส่งช่วง สถานีหาดใหญ่ 4 – สถานีหาดใหญ่ 2 โดยจะกำหนดให้เกิดฟอลต์ ในกรณีที่การเกิดฟอลต์ในตำแหน่งที่ 1 ขึ้นพร้อมกัน การเกิดฟอลต์ในตำแหน่งที่ 2 เกิดขึ้นพร้อมกัน และฟอลต์ในตำแหน่งที่ 3 เกิดขึ้นพร้อมกัน ของสายส่งทั้ง 2 ช่วง โดยมีผลกระทบการทำงานดังต่อไปนี้



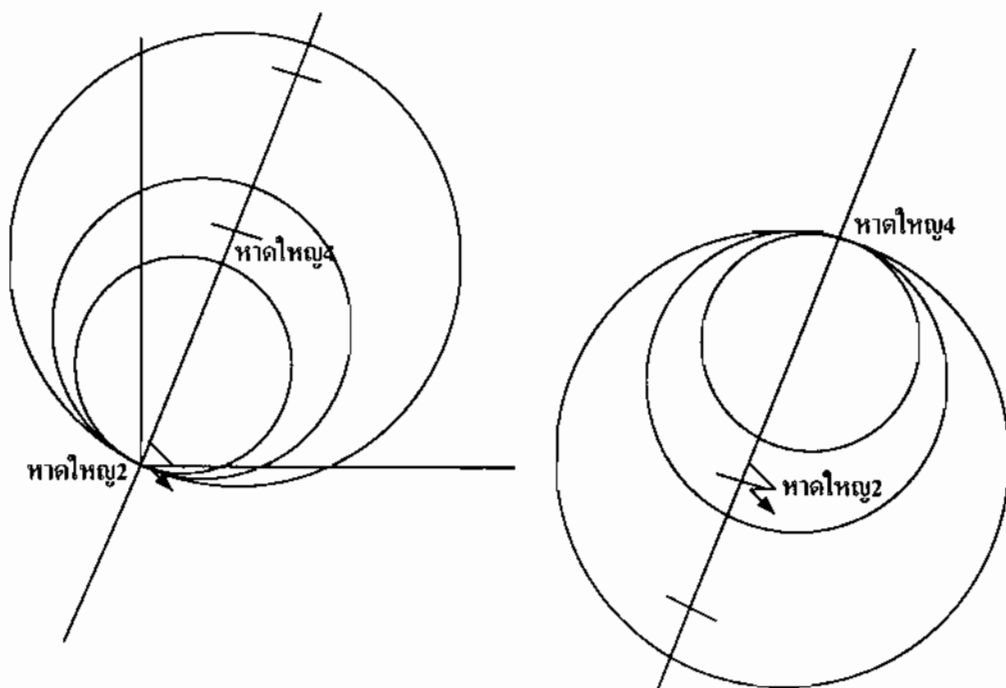
ภาพที่ 5-43 การเกิดฟอลต์ขึ้นพร้อมกันในสายส่งช่วง สถานีฯหาดใหญ่ 3 – สถานีฯ หาดใหญ่ 4 และ สายส่งช่วง สถานีฯหาดใหญ่ 4 – สถานีฯหาดใหญ่ 2 ในกรณีที่ 1
กรณีที่ 2 และ กรณีที่ 3



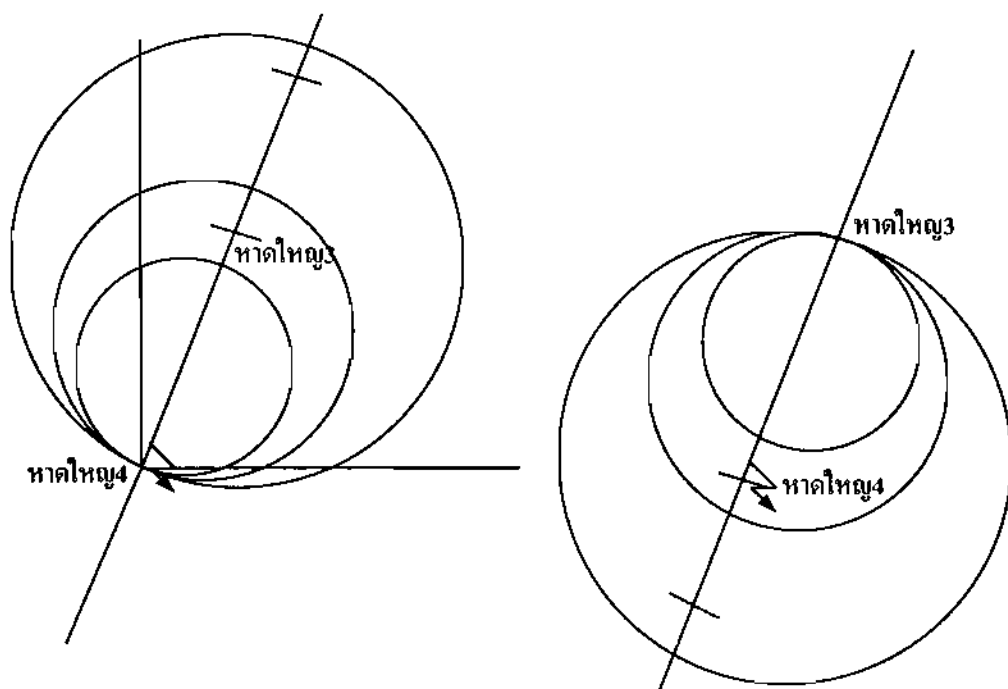
ภาพที่ 5-44 การเกิดฟอลต์ขึ้นในสายส่งช่วงสถานีฯหาดใหญ่ 4 – สถานีฯหาดใหญ่ 2 ในกรณีที่ 1



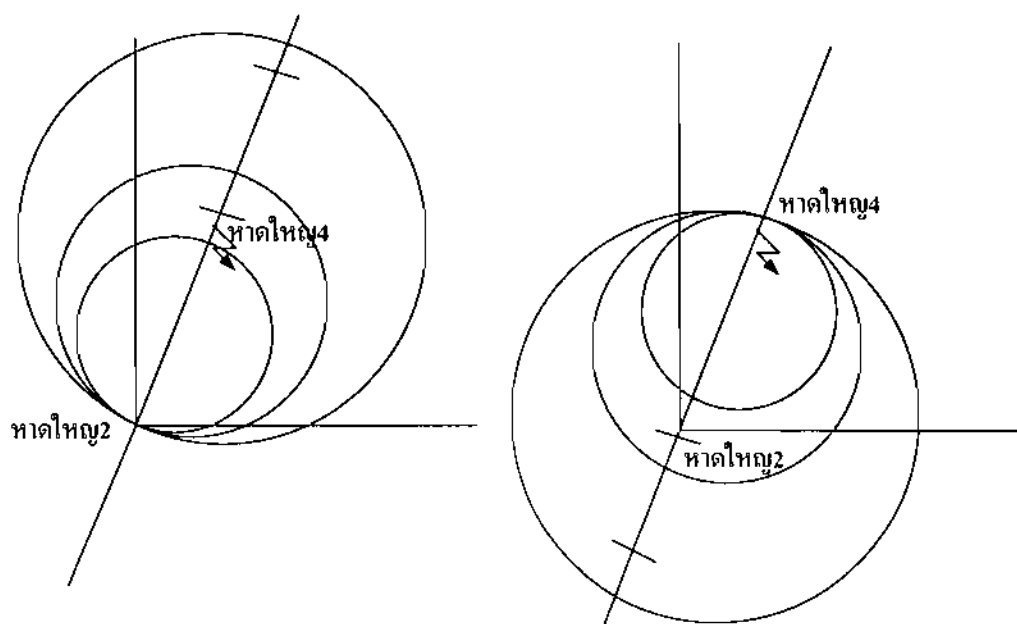
ภาพที่ 5-45 การเกิดฟอลต์ขึ้นในสายส่งช่วงสถานีหอดไทรุ 3 – สถานีฯหอดไทรุ 4 ในกรณีที่ 1



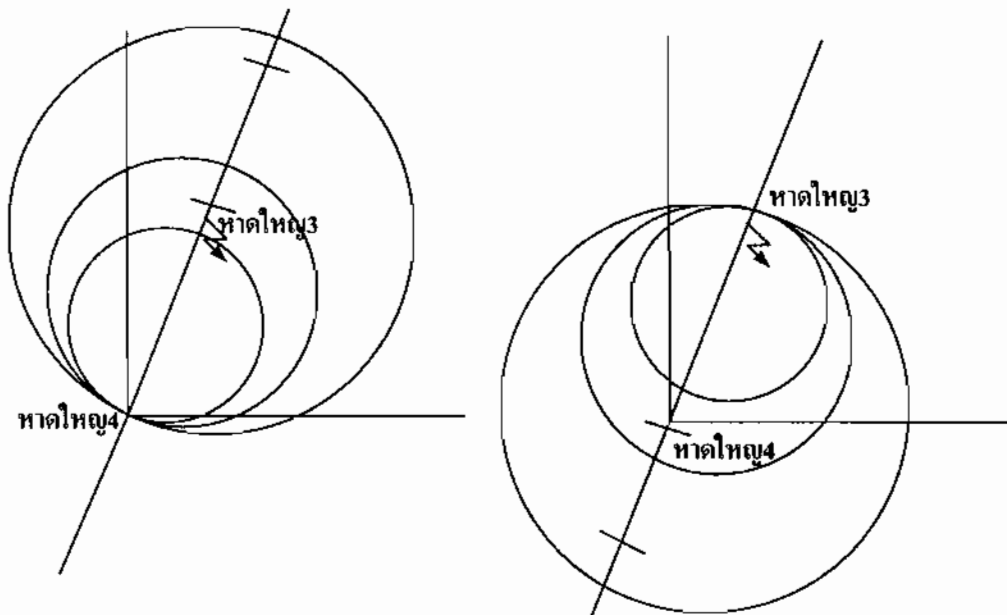
ภาพที่ 5-46 การเกิดฟอลต์ขึ้นในสายส่งช่วงสถานีหอดไทรุ 4 – สถานีฯหอดไทรุ 2 ในกรณีที่ 2



ภาพที่ 5-47 การเกิดฟอลต์ชีนในสายส่งช่วงสถานีฯหาดใหญ่ 3 – สถานีฯ หาดใหญ่ 4 ในกรณีที่ 2



ภาพที่ 5-48 การเกิดฟอลต์ชีนในสายส่งช่วงสถานีฯหาดใหญ่ 4 – สถานีฯหาดใหญ่ 2 ในกรณีที่ 3



ภาพที่ 5-49 การเกิดฟอลด์ขึ้นในสาขส่งช่วงสถานีหาดใหญ่ 3 – สถานีฯ หาดใหญ่ 4 ในกรณีที่ 3

ตารางที่ 5-25 เวลาการทำงานของอุปกรณ์ป้องกันของสาขส่งช่วงสถานีฯ หาดใหญ่ 3 – สถานีฯ หาดใหญ่ 4 และ หาดใหญ่ 4 – หาดใหญ่ 2 ในกรณีการเกิดฟอลด์ในสาขส่งทั้ง 2 พร้อมกันแบบ 1 เพื่อสลงดิน

สาขส่งช่วง	หาดใหญ่ 3 – หาดใหญ่ 4		หาดใหญ่ 4 – หาดใหญ่ 2		
	CB ที่	หาดใหญ่ 3	หาดใหญ่ 4	หาดใหญ่ 4	หาดใหญ่ 2
กรณีที่ 1	43	43	43	43	43
กรณีที่ 2	174	49	-	-	37
กรณีที่ 3	39	222	41	174	

ตารางที่ 5-26 เวลาการทำงานของอุปกรณ์ป้องกันของสายส่งช่วงสถานีฯ หาดใหญ่ 3 – สถานีฯ หาดใหญ่ 4 และ หาดใหญ่ 4 – หาดใหญ่ 2 ในกรณีการเกิดไฟล็อกต์ในสายส่งทั้ง 2 พร้อมกันแบบ 2 เฟสลงคิน

สายส่งช่วง	หาดใหญ่ 3 – หาดใหญ่ 4		หาดใหญ่ 4 – หาดใหญ่ 2	
CB ที่	หาดใหญ่ 3	หาดใหญ่ 4	หาดใหญ่ 4	หาดใหญ่ 2
กรณีที่ 1	49	49	-	41
กรณีที่ 2	178	-	-	43
กรณีที่ 3	170	-	-	45

ตารางที่ 5-27 เวลาการทำงานของอุปกรณ์ป้องกันของสายส่งช่วงสถานีฯ หาดใหญ่ 3 – สถานีฯ หาดใหญ่ 4 และ หาดใหญ่ 4 – หาดใหญ่ 2 ในกรณีการเกิดไฟล็อกต์ในสายส่งทั้ง 2 พร้อมกันแบบ 2 เฟส

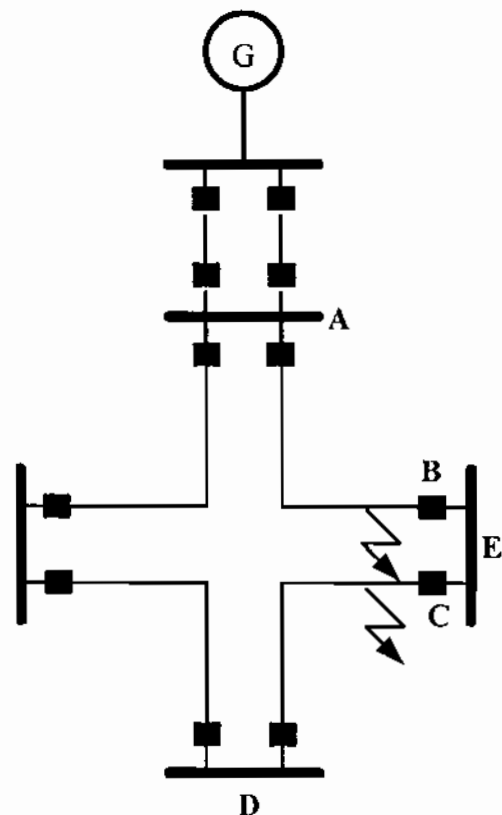
สายส่งช่วง	หาดใหญ่ 3 – หาดใหญ่ 4		หาดใหญ่ 4 – หาดใหญ่ 2	
CB ที่	หาดใหญ่ 3	หาดใหญ่ 4	หาดใหญ่ 4	หาดใหญ่ 2
กรณีที่ 1	45	111	49	45
กรณีที่ 2	219	55	-	45
กรณีที่ 3	45	219	-	176

ตารางที่ 5-28 เวลาการทำงานของอุปกรณ์ป้องกันของสายส่งช่วงสถานีฯ หาดใหญ่ 3 – สถานีฯ หาดใหญ่ 4 และ หาดใหญ่ 4 – หาดใหญ่ 2 ในกรณีการเกิดไฟล็อกต์ในสายส่งทั้ง 2 พร้อมกันแบบ 3 เฟส

สายส่งช่วง	หาดใหญ่ 3 – หาดใหญ่ 4		หาดใหญ่ 4 – หาดใหญ่ 2	
CB ที่	หาดใหญ่ 3	หาดใหญ่ 4	หาดใหญ่ 4	หาดใหญ่ 2
กรณีที่ 1	41	49	-	37
กรณีที่ 2	199	-	-	39
กรณีที่ 3	41	-	-	170

การทดสอบการเกิดฟอลต์ขึ้นในระบบไฟฟ้าพร้อมกัน 2 ชุดในสายส่งที่แยกต่างกันนั้น การทำงานของรีเลียร์จะทางยังสามารถตัดส่วนที่เกิดฟอลต์ ออกจากระบบไฟฟ้าได้อย่างถูกต้อง โดยรีเลียร์ที่อยู่ด้านสถานีไฟฟ้าต้นทาง ยังสามารถทำงานตัดส่วนที่เกิดฟอลต์ ออกจากระบบไฟฟ้าได้อย่างถูกต้อง และเกิดไฟฟ้าดับน้อยที่สุด

ส่วนรีเลียร์จะทางที่อยู่ในตำแหน่ง ตรงกลางระหว่างการเกิดฟอลต์ทั้ง 2 ชุด รีเลียร์จะทางบางครั้งอาจจะไม่ทำงาน หรืออาจจะทำงานผิดพลาด และเวลาในการทำงานคลาดเคลื่อนจากเวลาที่ใช้ในการทำงานเมื่อเกิดฟอลต์ขึ้นในระบบเพียงจุดเดียว ยกตัวอย่างเช่น เมื่อในระบบไฟฟ้าพร้อมกัน 2 ชุด ดังภาพที่ 5-11 รีเลียร์จะทางที่ตำแหน่ง B และ ตำแหน่ง C จะมีเวลาในการทำงานที่คลาดเคลื่อน หรือไม่มีการทำงาน แต่การเกิดฟอลต์นี้รีเลียร์ใน 2 ตำแหน่งนี้จะทำงานหรือไม่นั้นก็จะไม่ส่งผลกระทบต่อเวลาในการทำงานของรีเลียร์จะทางที่ A และ D เมื่อจากรีเลียร์ A และ D สามารถตัดวงจรกระแสฟอลต์ออกจากระบบได้อย่างถูกต้อง

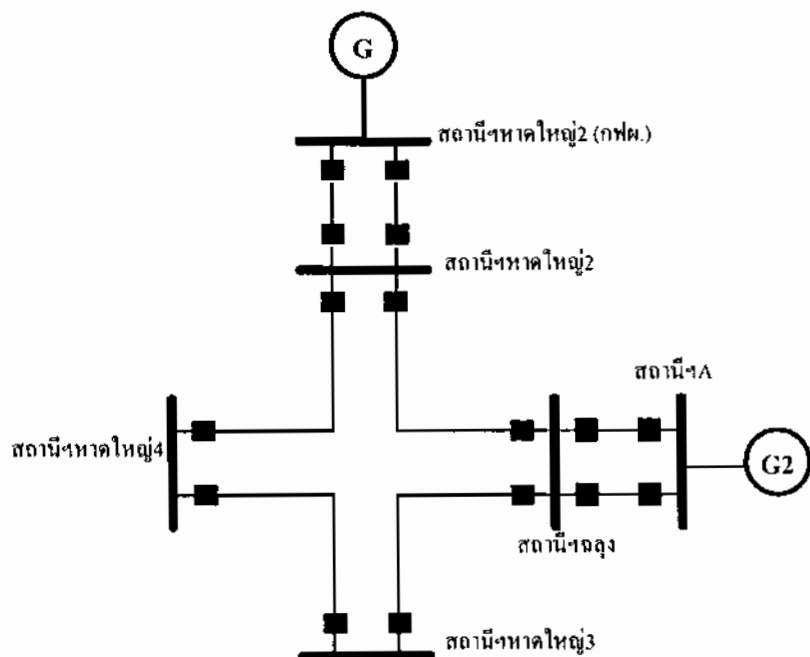


ภาพที่ 5 -50 การเกิดความผิดพลาด 2 ชุดขึ้นในระบบไฟฟ้า

5.4 การทดสอบผลของไฟที่ป้อนเข้ามาที่มีต่อการทำงานของรีเลียร์ระยะทาง

การทดสอบการทำงานของรีเลียร์ระยะทางเมื่อมีแหล่งจ่ายจากสถานีไฟฟ้าอื่นเพิ่มเข้ามาในระบบโคลสลูป โดยจะสมมติให้มีสถานีไฟฟ้าของ กฟผ. เพิ่มเข้ามาในระบบอีก 1 สถานี โดยจะให้สถานีไฟฟ้า(สถานีฯ A) ที่เพิ่มเข้ามานั้นจ่ายโหลดให้กับสถานีฯ C ซึ่งสภาพการจ่ายไฟของระบบโคลสลูปที่สถานีฯ A หาดใหญ่ 2 ในภาพที่ 5-3 จะเปลี่ยนไปเป็นภาพที่ 5-12

ส่วนการทดสอบการทำงานของรีเลียนนี้จะทดสอบการทำงานของรีเลียร์เหนืออนกับกรณีที่เกิดฟอลต์ขึ้นในระบบ 1 จุด โดยจะทดสอบการเกิดฟอลต์ขึ้นในช่วงสายส่งระหว่างสถานีฯ A หาดใหญ่ 2 – สถานีฯ C และสายส่งช่วงสถานีฯ C ถึง สถานีฯ A หาดใหญ่ 3 เพียงสองช่วงเท่านั้น



ภาพที่ 5-11 สภาพการจ่ายไฟแบบโคลสลูปที่สถานีฯ A หาดใหญ่ 2 กรณีที่มี สถานีไฟฟ้าของ กฟผ. จ่ายโหลดที่สถานีฯ C ถุงอีกแห่งหนึ่ง

ตารางที่ 5-29 ผลการทดสอบการทำงานของรีเลอร์ของสายส่งช่วง สถานีฯหาดใหญ่ 2 – สถานีฯฉลุย
ในการณ์ที่มีแหล่งจ่ายเพิ่มเข้ามาอีก 1 แห่ง

สายส่งช่วง	หาดใหญ่ 2 - ฉลุย							
	Fault	Single Line to Ground		Line to Line to Ground		Line to Line		Three Phase Fault
CBที่	หาดใหญ่2	ฉลุย	หาดใหญ่2	ฉลุย	หาดใหญ่2	ฉลุย	หาดใหญ่2	ฉลุย
กรณีที่ 1	39	43	35	37	45	50	39	39
กรณีที่ 2	35	172	31	170	37	172	35	170
กรณีที่ 3	172	37	168	31	170	37	170	35

ตารางที่ 5-30 ผลการทดสอบการทำงานของรีเลอร์ของสายส่งช่วง สถานีฯฉลุย- สถานีฯหาดใหญ่ 3
ในการณ์ที่มีแหล่งจ่ายเพิ่มเข้ามาอีก 1 แห่ง

สายส่งช่วง	ฉลุย - หาดใหญ่ 3							
	Fault	Single Line to Ground		Line to Line to Ground		Line to Line		Three Phase Fault
CBที่	ฉลุย	หาดใหญ่3	ฉลุย	หาดใหญ่3	ฉลุย	หาดใหญ่3	ฉลุย	หาดใหญ่3
กรณีที่ 1	39	43	39	47	43	50	37	39
กรณีที่ 2	33	172	31	172	39	178	35	170
กรณีที่ 3	172	41	170	39	168	41	168	37

ในการณ์ที่มีสถานีไฟฟ้าของ กฟผ. จ่ายโภคผ่านสถานีฯฉลุย เพิ่มเข้ามาอีกหนึ่งสถานี
ปรากฏว่ารีเลอร์ที่สถานีไฟฟ้าต่างๆก็ขังสามารถที่จะทำงานได้ตามปกติ เหมือนกับในกรณีที่ไม่มี
สถานีไฟฟ้าเพิ่มเข้ามา

บทที่ 6

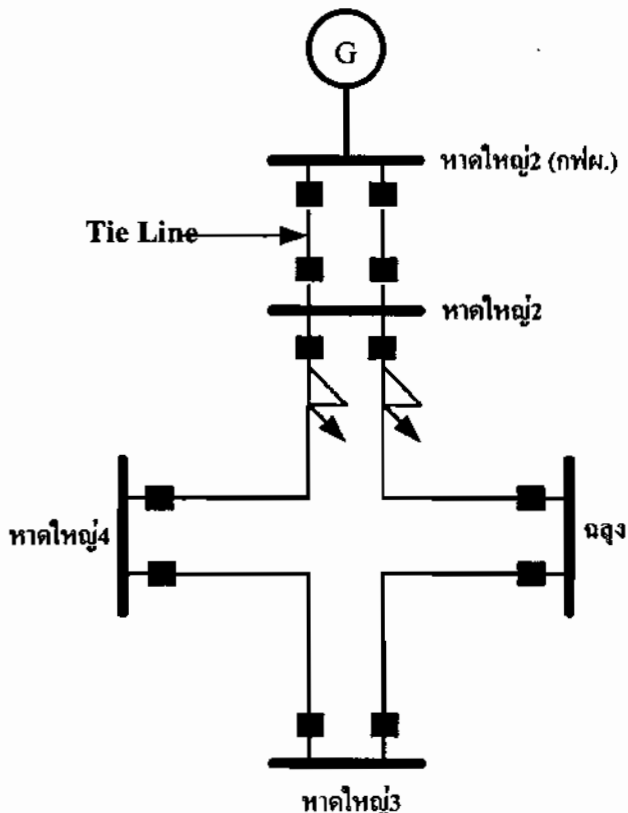
สรุปผลการทดสอบและข้อเสนอแนะ

6.1 สรุปผลการทดสอบ

จากการทดสอบการทำงานของรีเลย์ระบบทาง โดยใช้ค่าการทำงานที่กำหนดขึ้นมาในบทที่ 4 และใช้โปรแกรม PSCAD/EMTDC ทำการทดสอบการทำงานของรีเลย์ระบบทางทุกด้วยที่ใช้ในการป้องกันสายส่งช่วงต่างๆ ที่มีการจ่ายไฟแบบ โคลสลูปแล้วมีผลการทดสอบดังต่อไปนี้

6.1.1 การทดสอบการทำงานของรีเลย์ระบบทาง เมื่อเกิดฟอลต์ขึ้นในสายส่งช่วงต่างๆ เพียง ตัวแทนงเดียว จะแบ่งการทดสอบเป็น 3 กรณี คือ กรณีแรก การเกิดฟอลต์ขึ้นในตัวแทนง 50 เปอร์เซนต์ของความยาวสายส่ง หรือฟอลต์ที่เกิดขึ้นอยู่ภายนอกโซน 1 ของรีเลย์ป้องกันสายส่งทั้ง 2 ค้าน เพราะฉะนั้นการเกิดฟอลต์ในกรณีนี้ รีเลย์ระบบทางจะทำงานด้วยโซน 1 ทั้งสองค้านของสายส่ง กรณีที่สองการเกิดฟอลต์ที่ตัวแทนง 10 เปอร์เซนต์ของความยาวสายส่ง กรณีนี้ฟอลต์จะเกิดขึ้น ในสายส่งอยู่ใน การป้องกันโซน 1 ของรีเลย์ค้านหนึ่ง และอยู่ในการป้องกันโซน 2 ของรีเลย์อีกค้านหนึ่ง และกรณีที่สามการเกิดฟอลต์ที่ความยาว 90 เปอร์เซนต์ของสายส่ง การเกิดฟอลต์ในกรณีที่ 3 นี้ การทำงานของรีเลย์จะทำงานตรงกันข้ามกับในกรณีที่ 2 และจากการทดสอบปรากฏว่า รีเลย์ทุกตัวสามารถที่จะทำงานสัมพันธ์กับความลำดับการทำงานที่ได้จัดการทำงานเอาไว้ในบทที่ 3 แต่เวลาการทำงานของรีเลย์อาจจะมีการผิดพลาดบ้างประมาณ 5-10 มิลลิวินาที ซึ่งถือว่าอยู่ในช่วงที่ยอมรับได้ ตามสมนตรฐาน แต่มีอัตรา率ระบบไฟฟ้าที่อยู่ข้างเคียง เช่น สายส่งเชื่อมโยงระหว่างสถานีฯ หาดใหญ่ 2 ของ กฟผ. และ สถานีฯ หาดใหญ่ 2 แสดงในภาพที่ 5-1 แล้วจะพบว่าระบบการป้องกันหลัก (Primary Protection) ของสายส่งเชื่อมโยง นั้นเป็น รีเลย์ผลต่างของกระแส (87L) ซึ่งจะทำการป้องกันชั่งภายในโซนการป้องกันของตัวนั้นเองคือ ภายนอกในสายส่งเชื่อมโยง เท่านั้น แต่ระบบการป้องกันสำรองของสายส่งเชื่อมโยง จะใช้รีเลย์กระแสเกินแบบรู้ทิศทาง (67/67N) มีการทำงานแบบหน่วงเวลา โดยมีการหน่วงเวลาไว้เท่ากับ 300 มิลลิวินาที

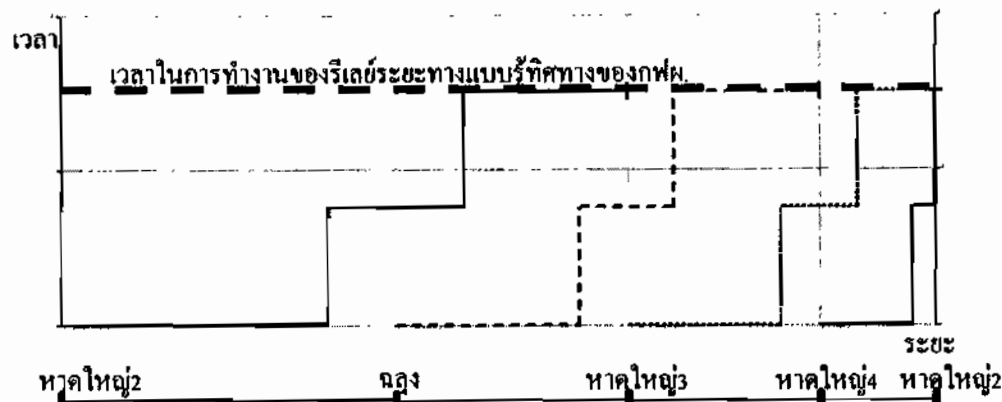
จากภาพที่ 6-1 เมื่อเกิดฟอลต์ไกล์กับสถานีไฟฟ้าฯหาดใหญ่ 2 ริเลย์ระบบทางที่สถานีฯหาดใหญ่ 2 ตรวจจับการเกิดฟอลต์ได้ และสั่งเซอร์กิตเบรกเกอร์ตัดวงจรกระแสฟอลต์ด้วยโซน 1 ทำงานแบบหันที่หันไม่ ในขณะเดียวกันริเลย์กระแสเกินแบบรูทิคทางที่สถานีฯหาดใหญ่ 2 ของ กฟผ. ก็สามารถ



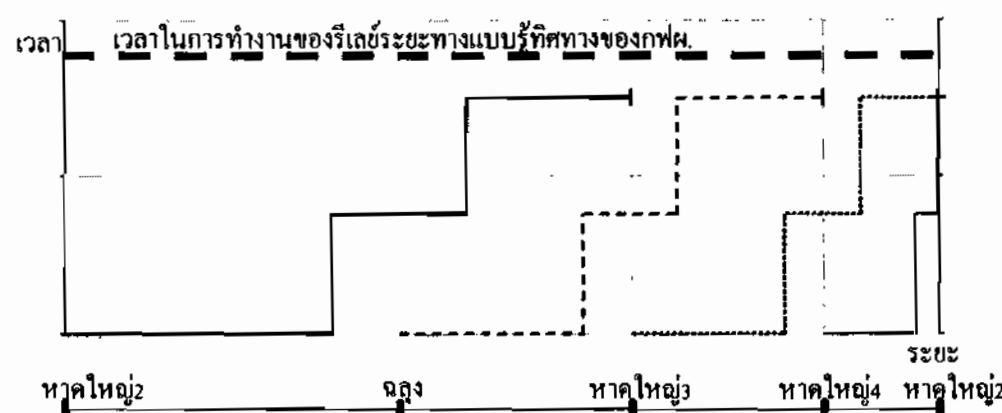
ภาพที่ 6-1 การเกิดฟอลต์ไกล์ແລ້ວผลของการច່າຍໄຟແບນລຸບປັດ

ตรวจจับกระแสฟอลต์ได้เช่นกัน และเริ่มนับเวลาการทำงาน เมื่ออุปกรณ์ป้องกันที่สถานีฯหาดใหญ่ 2 สามารถตัดวงจรกระแสฟอลต์ที่ไหล่ผ่านด้วยมันเองได้ แต่เนื่องจากเป็นการច່າຍໄຟແບນໂຄລສູບกระแสฟอลต์สามารถไหล่ได้ 2 ทิศทาง จึงทำให้ขึ้นມีกระแสฟอลต์ไหล่ผ่านที่ริเลย์กระแสเกินที่สถานีฯหาดใหญ่ 2 ของ กฟผ. เช่นเดิม แต่เนื่องจากผลของ ชອร์สອິມພີແຄນຊ່ະທຳໃຫ້ຮັບກະຕົງທີ່ สถานีฯหาดใหญ่ 4 และสถานีฯອຸຈຸນ ห້າງນັດຕັດກະຕົງທີ່ไหล่ผ่านด้วยມັນອອງອອກຈາກງາງຈົ້າກວ່າທີ່ກໍາທັນດໄວ້ ເພຣະຄະນັ້ນຈຶ່ງມີຄວາມເປັນໄປໄດ້ທີ່ໃນການຟື້ທີ່ເກີດຄວາມຝອລົດໆໄກລ້ກັບສານີ້ ພາດໃຫຍ່ 2 ແລ້ວຈະທຳໃຫ້ ຮັບກະຕົງທີ່ສານີ້ພາດໃຫຍ່ 4 ແລ້ວ ສານີ້ອຸຈຸນ ຈະທຳການພຽມກັບ ຮັບກະຕົງທີ່ສານີ້ພາດໃຫຍ່ 2 ທີ່ໃຊ້ເປັນຮະບນປົ້ນກັນສໍາຮອງທີ່ສານີ້ພາດໃຫຍ່ 2 ຂອງ กົມ. ທີ່ກໍາທັນດວລາການທຳການໄວ້ທີ່ 300 ມີລີວິນາທີ່ ດັ່ງແສດງໃນກາພທີ່ 6-2

เพื่อเป็นการป้องกันให้รีเลย์ที่สถานีฯหาดใหญ่ 2 ของ กฟผ. และ หาดใหญ่ 2 ทำงานพร้อมกัน จึงควรเพิ่มเวลาการทำงานของรีเลย์กระแสเกินแบบรู้ติกทางที่สถานีฯหาดใหญ่ 2 ของ กฟผ. จาก 300 มิลลิวินาที เป็น 400 มิลลิวินาทีดังแสดงในภาพที่ 6-3



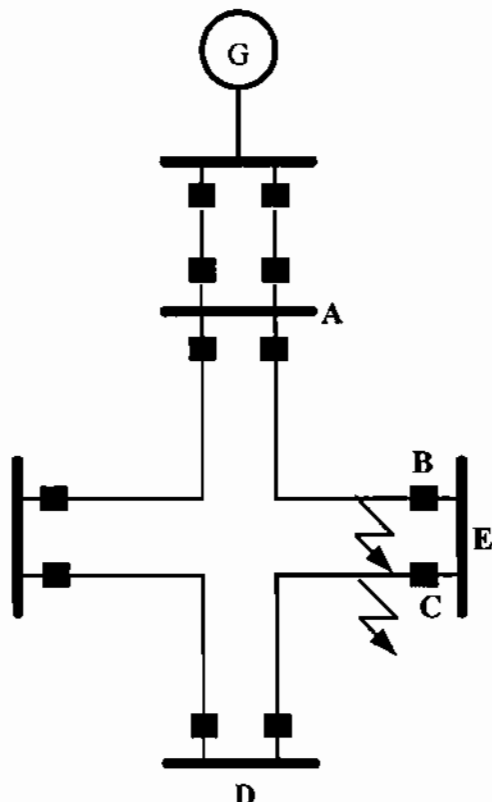
ภาพที่ 6-2 เวลาการทำงานของรีเลย์รัฐทาง และรีเลย์กระแสเกินแบบรู้ติกทางกรณีที่ยังไม่เพิ่มเวลาในการทำงาน



ภาพที่ 6-3 เวลาการทำงานของรีเลย์รัฐทาง และรีเลย์กระแสเกินแบบรู้ติกทาง เมื่อเพิ่มเวลาการทำงานของรีเลย์กระแสเกินแบบรู้ติกทางแล้ว

6.1.2 การทดสอบการทำงานของรีเลย์รัฐทาง เมื่อเกิดฟอลต์ขึ้นในสายส่งพร้อมกัน 2 ช่วง การทดสอบนี้จะแบ่งทดสอบเป็น 3 กรณีเหมือนกับการทดสอบการเกิดฟอลต์ ขึ้นในระบบจำนวน 2 ช่วง เพียงจุดเดียว ที่อธิบายไว้ในข้อ 6.1.1 และจากผลการทดลองในบทที่ 5 นี้จะเห็นว่า การทำงานของ

รีเลียร์ระบบทางขังสามารถตัดส่วนที่เกิดฟอลต์ ออกจากระบบไฟฟ้าได้อย่างถูกต้อง และเกิดไฟฟ้าดับในบริเวณน้อยที่สุด



ภาพที่ 6-4 ตำแหน่งของการเกิดฟอลต์ที่เกิดขึ้นบนสายส่งพร้อมกัน 2 จุด

จากภาพที่ 6-4 แสดงตำแหน่งการเกิดฟอลต์ขึ้นในสายส่งพร้อมกัน 2 จุด จากผลการทดลองปรากฏว่ารีเลียในตำแหน่ง B และ C หรือรีเลียที่อยู่ระหว่างตำแหน่งการเกิดฟอลต์นั้น บางครั้งอาจจะไม่ทำงาน หรืออาจจะทำงาน แต่จะมีเวลาในการทำงานที่ผิดพลาด และเวลาในการทำงานคุณภาพลีกซึ่งจากเวลาที่ใช้ในการทำงานเมื่อเกิดฟอลต์ขึ้นในระบบเพียงจุดเดียว แต่ถึงแม้ว่ารีเลียใน 2 ตำแหน่งนี้เกิดการทำงานผิดพลาด หรือไม่ทำงาน ฟอลต์ก็ยังไม่ถูกกำจัดออกจากระบบไฟฟ้า นอกจากรีเลียที่ตำแหน่ง A และ ตำแหน่ง B จะทำงาน ซึ่งเป็นรีเลียตัวที่อยู่ต้นทางใกล้กับแหล่งกำเนิดไฟฟ้ามากที่สุด ยกตัวอย่างดังในภาพที่ 6-4 เมื่อเกิดฟอลต์ขึ้นใน 2 ตำแหน่งดังกล่าว รีเลียระบบที่ A และ D สามารถตัดวงจรกระแสฟอลต์ออกจากระบบได้ทั้งหมด

6.1.3 การทดสอบการทำงานของรีเลียระบบทาง เมื่อมีแหล่งผลิตอื่นเชื่อมต่อเข้ามาที่บัสของสถานีไฟฟ้า โดยจะทดสอบการเกิดฟอลต์เบ่งออกเป็น 3 กรณีดังการทดสอบที่แล้วมาจากการทดสอบพบว่ารีเลียขังสามารถทำงานได้ตามปกติเมื่อนับการเกิดฟอลต์ 1 จุดในสายส่ง

เพราจะน้นการต่อเชื่อมแหล่งผลิตเข้าไปในระบบโคลสู่ปอิคแห่งหนึ่ง ก็จะไม่มีผลต่อการทำงานของรีเลย์ นอกจกการเชื่อมต่อไฟฟ้าจากแหล่งผลิตจะเชื่อมต่อเข้าที่สายส่งโดยตรงนั้นทำให้ใช้การป้องกันของรีเลย์ระยะทางลดลงทำให้มีอิเกิลฟอลต์ชั้นในสายส่งจะทำให้รีเลย์ทำงานผิดพลาด

6.2 ข้อเสนอแนะ

การป้องกันสายส่งที่มีการจ่ายไฟแบบโคลสู่ปโคลบไม่ให้ระบบสื่อสารนั้นสามารถทำได้ แต่ต้องเพิ่มเวลาในการทำงานของรีเลย์กระแสเกินแบบรูทิกทาง ที่ใช้เป็นระบบป้องกันสำรองของสายส่งเชื่อมไปงระหว่าง สถานีหาดใหญ่ 2 ของ กฟพ. และ สถานีหาดใหญ่ 2 ของ กฟภ. ซึ่งอีกเพื่อป้องกันไม่ให้รีเลย์กระแสเกินแบบรูทิกทางทำงานพร้อมกับรีเลย์ระยะทางโซน 2 การทำงานของรีเลย์ระยะทางอาจจะเกิดการทำงานผิดพลาดได้เมื่อ เกิดฟอลต์ระหว่างเฟสกับเฟสจะทำให้เกิดอาร์คชั้น ซึ่งผลของการเกิดอาร์คนี้จะทำให้ความด้านทานรวมที่รีเลย์วัดได้เพิ่มสูงขึ้น จนเกินค่าการทำงานที่กำหนดเอาไว้ และจะทำให้รีเลย์เกิดการทำงานผิดพลาด

เอกสารอ้างอิง

1. Saadat, H. Power System Analysis. Singapore : McGraw-Hill Inc, c1999.
2. John, J. J. and Stevenson, W. D. Power System Analysis. Singapore : McGraw-Hill Inc, c1994.
3. GEC ALSTHOM MEASUREMENT LIMITED. Protective Relays Application Guide 3rd ed. Stafford : Balding Mansell plc, c1987.
4. Horowitz, S. H. and Phadke, A. G. Power System Relaying. New York : John Wiley & Sons Inc, c1985.
5. ประสิทธิ์ พิทัยพัฒน์. การป้องกันระบบกำลังไฟฟ้า. พิมพ์ครั้งที่ 2. กรุงเทพฯ : ทีซีจี พรินติ้ง, 2548.
6. Li, M. S., Cheng, T. C., and Wu, C. Y. "A Study on The Improve Performance of Half-Lens-Half-Mho Relay." IEEE Transaction on Power Apparatus and Systems, 12 (1984) : 3539-3544.
7. Ziegler, G., Numerical Distance Protection Principles and Application. Germany : Siemens, c1999.
8. Erezzaghi, M. E. and Crossley, P. A. "The Effect of High Resistance Fault on Distance Relay." 2004IEEE, (2004) : 2128-2133.
9. The Institute of Electrical and Electronics Engineers. IEEE Std C37.113-1999 IEEE Guide for Protective Relay Application to Transmission Lines. New York : The Institute of Electrical and Electronics Engineers Inc, 2000.
10. ABB Power T&D Company Inc. Protective Relaying Theory and Applications. New York : Marcel, c1994.
11. GEC Measurements. Quadramho Static Distance Protection Relay. Stafford : GEC Measurement, c1985
12. Kase, T. Kurosawa, Y. and Beaumont, P. "Problems Associated with Zero Sequence Compensation Applied to Distance Protection." 2006IEE, (2006) : 1-7.

13. Shenoy, Sheshadri, et al. "A Real-Time DSP Base Quadrilateral Relay for Distance Protection of 25 kV. AC Traction Overhead Equipment." 2004 International Conference on Power System Technology. (2004) : 1339-1344.
14. Walter, A. E. Pilot Protective Relaying. New York : Marcel Dekker Inc, c2000.
15. Cook, V. Analysis of Distance Protection. New York : John Wiley & Sons Inc, c1985.
16. สันติ อัศววรรษ์พงษ์ธร. รีเลย์ป้องกันกับการป้องกันระบบกำลัง. กรุงเทพฯ : สำนักงานศูนย์วิชาการไทย-อเมริกันเดีย, 2547.
17. Anderson, P. M. Power System Protection. New York : McGraw-Hill Inc, c1999.
18. Blackburn, J. Protective Relaying : Principle and Application. New York : Marcel Dekker Inc, c1987.
19. Suksawat, S. and Bunyagul, T. "Modeling and Improve Breaker Failure Relay and Protection Scheme Using PSCAD/EMTDC." ECTI2006 (2006) : 575-578.

ประวัติผู้วิจัย

ชื่อ : นายสัตยา ใจดุย

ชื่อวิทยานิพนธ์ : การจัดการทำงานของรีเลอร์ระยะทางให้ทำงานสัมพันธ์กัน เพื่อป้องกันสายส่งที่มีการจ่ายไฟแบบถูกปิดโดยไม่มีระบบสื่อสาร

สาขาวิชา : วิศวกรรมไฟฟ้า

ประวัติ

ประวัติส่วนตัว เกิดเมื่อวันที่ 24 กรกฎาคม 2520 ที่ อำเภอナンออย จังหวัดน่าน

ประวัติการศึกษา สำเร็จการศึกษาระดับมัธยมศึกษาตอนปลายจากโรงเรียนช่างการไฟฟ้า ส่วนภูมิภาคเมื่อปี พ.ศ. 2539 ระดับปริญญาตรี วิศวกรรมศาสตรบัณฑิต (วศ.บ.) สาขา วิศวกรรมไฟฟ้า (ไฟฟ้ากำลัง) จากมหาวิทยาลัยขอนแก่น เมื่อปีการศึกษา 2544

ประวัติการทำงาน ปัจจุบัน ดำรงตำแหน่งวิศวกร ระดับ 5 แผนกรีเลอร์ 2 กองอุปกรณ์ป้องกัน และรีเลอร์ ฝ่ายก่อสร้างและบำรุงรักษาสถานีไฟฟ้า การไฟฟ้าส่วนภูมิภาค